

وزارة التعليم العالي
MINISTERE DE L'ENSEIGNEMENT SUPERIEUR

2 ex

ÉCOLE NATIONALE POLYTECHNIQUE

DEPARTEMENT

Génie Civil

المدرسة الوطنية المتعددة التقنيات
BIBLIOTHEQUE — المكتبة —
Ecole Nationale Polytechnique

PROJET DE FIN D'ETUDES

S U J E T

Le procédé SCOPE
Calcul et étude d'un
Bâtiment administratif

3 PLANCHES

Proposé par :

S.I.D.E.M

Etudié par :

A. TAAZIBT
A. BOUMAHRAT

Dirigé par :

BOUTEMEUR.

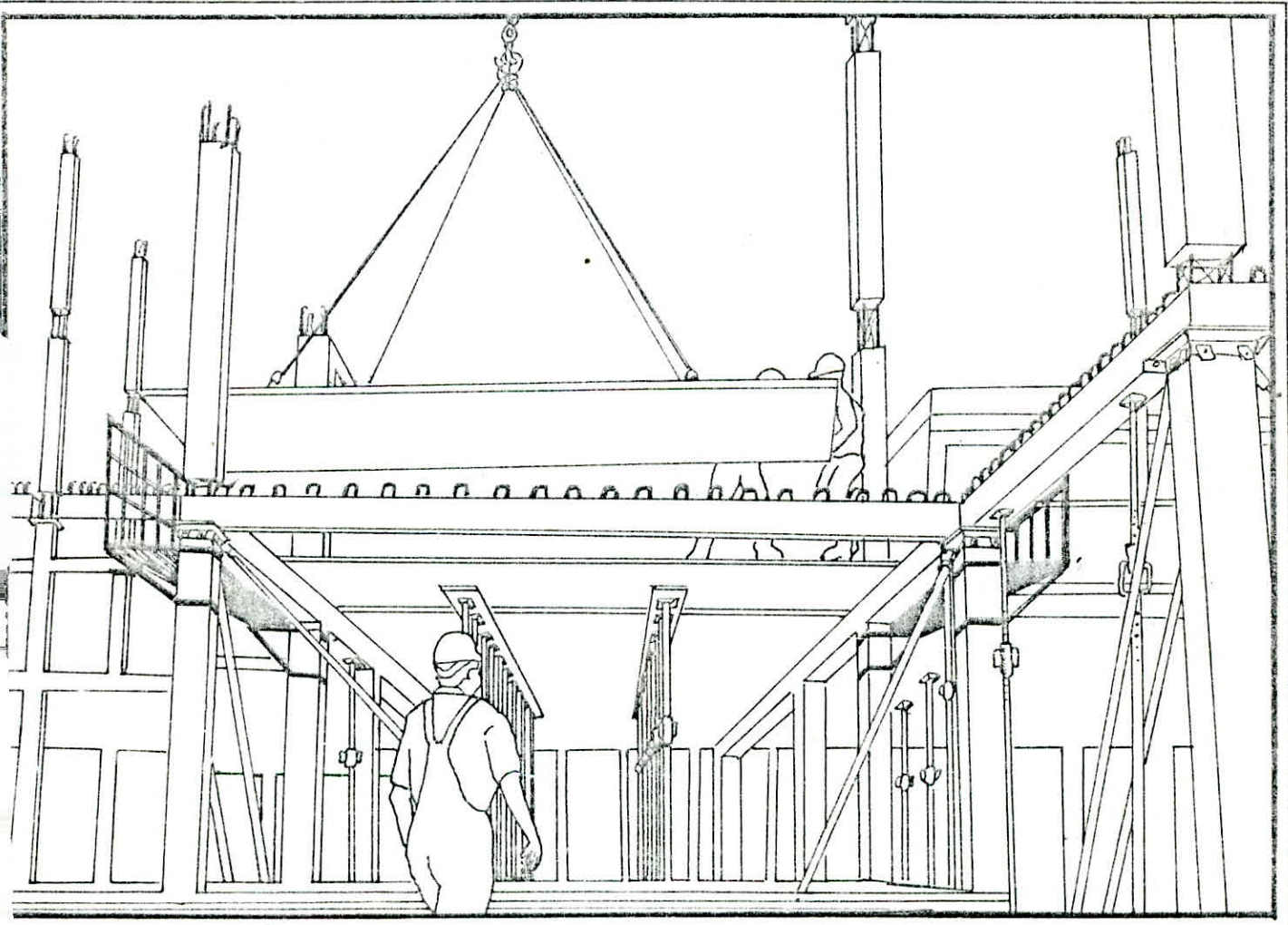
PROMOTION : 88 / 89.

المدرسة الوطنية المتعددة التقنيات
المكتبة —
BIBLIOTHEQUE —
Ecole Nationale Polytechnique

SCOPE

Systèmes Constructibles Opérationnels

CALCUL MISE EN OEUVRE



DEDICACES

Je dédie ce modeste travail à mes chers parents, pour toutes les peines qu'ils se sont données à mon égard

- mon frère
- ma soeur
- Hamida
- mes amis

H.H. Benj

Je dédie ce modeste travail à mes chers Parents qui m'ont aidé dans les moments ultimes.

- à ma chère et unique soeur Hayette.
 - à mes frères : Hnd Said, Abdellah et FÉDÈR-EL-Islam qui n'a pas cessé de me conseiller et de m'apporter son aide psychologique.
 - Mohamed
 - Farida
 - Abdellatif
 - Abdellghani
- Et enfin à tous mes amis d'enfance et camarade de classe depuis mon premier jour scolaire.

J.M.

SOMMAIRE

المدرسة الوطنية المتعددة التقنيات
BIBLIOTHEQUE — المكتبة
Ecole Nationale Polytechnique

Chapitre 1

• Avant propos	1
• Introduction	2
• Présentation de l'ouvrage	3
• Ossature SCOPE	4

Chapitre 2

• Les B.R.E.L et les règlements B.R	7
caractéristiques des matériaux (B.A , BP)	
• Calcul de l'acrotère	12
• Calcul des escaliers	13

Chapitre 3

• Calcul des poteaux SCOPE - liaison poteau-fondation	20
• Calcul des poutres béton armé (préfabriquées)	40
• Calcul des nœuds de liaison	44

Chapitre 4

• Calcul des poutres précontraintes	50
• Déformation des poutres précontraintes	69

Chapitre 5

• Planchers à prédalles	70
• Calcul des prédalles	74
• Prédalles en phase progressive	87
• Déformation des planchers à prédalles	94

Chapitre 6

• Évaluation de la période	97
• Calcul au vent	98
• Calcul au séisme	103
• Combinaison des actions	108
• Ferrailage des voiles	109

Chapitre 7

• Fondations	112
• Longrines	119

Chapitre 8

• Organisation de chantier	120
• Conclusion - perspectives	121

Chapitre 1.

المدرسة الوطنية المتعددة التقنيات
BIBLIOTHEQUE — المكتبة
Ecole Nationale Polytechnique

- *Avant propos*
 - *Introduction*
 - *Présentation de l'auteur*
 - *Ossature SCOPE*
-

AVANT PROPOS

Le projet de fin d'étude que nous présentons, ici, concerne l'étude d'une structure à surcharges modérées (bâtiment à usage de bureaux) à réaliser selon un procédé de préfabrication nouveau dénommé SCOPE.

Cette étude sera présentée non pas comme une note de calcul simple, relative au bâtiment, mais comme une analyse théorique du procédé et de ses applications de manière générale. Notre bâtiment sera alors pris comme exemple de calcul et sera accompagné de détails pratiques complémentaires.

Cette orientation nous paraît nécessaire dans le but de maîtriser (théoriquement et pratiquement) cette nouvelle technique et ne pas se limiter à l'application des recommandations fournis par les documents techniques.

Nous avons de ce fait essayé d'apporter notre contribution à la compréhension de cette technique dans le souci d'aider toute personne (concepteur ou ingénieur) voulant approfondir ses connaissances dans cette nouvelle technique de construction.

Nous remercions vivement, notre promoteur, M^r PERETO, M^r SALOR ingénieurs à SIDEM, M^r ZÉHAL ingénieur à la SAPTA, M^{mme} GUIGOVA, M^{mme} CHIRH et M^r BLOUD pour leur aide et conseils pratiques

• V • H.H. Bouy

INTRODUCTION

Définition et commentaires généraux : Le procédé SCOPE a été mis au point par la Société française Anonyme de Recherche et d'Etude Technique S.A.R.E.T., directeur du groupe PPB et leader en Europe des industries préfabriquantes de composants de structure en béton précontraint, destinés à la construction de bâtiments, d'ouvrages d'art et de profilés.

Plusieurs constructions ont été réalisées par SARET même ou par ses bureaux de liaison en France, Pays-Bas, Allemagne, Grèce ...

Et l'instar des pays du Maghreb, SARET est présente en Algérie depuis 1975, et 5 unités de production de composants PPB¹ ont été réalisées à ce jour.

- 3 usines de production de poutrelles à TIZI GHENIF ; BERROUAGHIA ; HENNAYA avec la E.N.C.C (ex SNNC)
- 1 Usine de production poutres-ponts à ROUIBA avec SAPTA.
- 1 Usine de production de profilés pour la réalisation de bâtiments utilitaires (nouvelle gare routière d'Alger.) à TENES.

Notre bâtiment est le troisième ouvrage réalisé avec le procédé SCOPE après le parking de Bab-El-Oued et le parking du port d'Alger tous deux actuellement en construction.

Le procédé SCOPE se base sur l'assemblage d'éléments constructibles préfabriqués. Contrairement aux tendances de la préfabrication lourde. Alors que la préfabrication lourde va vers l'enrichissement des fonctions du panneau de façade, les composants de gros œuvre SCOPE sont généralement banalisés et indépendants de l'architecture du bâtiment.

Les composants SCOPE présentent également une grande capacité à accueillir les éléments de second œuvre, et permettent une réduction du nombre d'intervenants sur le chantier, toutes choses égales par ailleurs, en fin de compte sur les coûts et sur les délais.

¹. PPB : groupe spécialisé dans la fabrication des poutres en béton précontraint

PRÉSENTATION DE L'OUVRAGE

Notre bâtiment est à usage de bureaux. Il sera implanté dans la région de CHERABA correspondant à la zone sismique II.

Il présente : . 1 rez de chaussée
• 3 étages courants
• 1 cage d'escalier
• 1 vide sanitaire

I. Caractéristiques géométriques des éléments de la structure:

I-1 Ossature:

- Le contreventement est assuré par des voiles plats (refend) en béton armé coulé uniformément sur toute la hauteur du bâtiment.
- Les dimensions en plan sont :
 - Longueur $L = 24,30 \text{ m}$
 - Largeur $l = 9,30 \text{ m}$
- La hauteur totale de l'ouvrage (acrotère compris) : $h = 14,00 \text{ m}$
- La hauteur d'étage : $h_e = 3,25 \text{ m}$.

I-2 Planchers: Tous les planchers (courants + terrasse) sont constitués de pré dalles précontraintes ($e = 5 \text{ cm}$) et d'un hourdis (dalle) coulé sur place ($e = 5 \text{ cm}$).

I-3 Cage d'escalier: L'escalier est du type droit dont la paillasse et le palier sont préfabriqués en bloc cependant les marches seront réalisées en maçonnerie sur chantier.

II. Caractéristique du sol:

Une étude géotechnique du sol a donné à 2,00 m de profondeur une contrainte admissible :

$$\bar{\sigma}_s = 2,5 \text{ bars.}$$

OSSATURE SCOPE

I - Applications : Le procédé de construction par ossature SCOPE permet la réalisation de tous bâtiments à étages (habitations, bureaux, locaux commerciaux, ou industriels) de 1 à 4 niveaux à charges modérées et pouvant supporter des trames voisines de 25 m^2 par poteau. Une étention à R+5 est possible dans certaines conditions.

II - Avantages :

- Grande liberté d'expression architecturale (plan de masse, volume distribution)
- Excellente adaptabilité au mauvais terrains (accidentés, à forte déclivité)
- Très grande rapidité de réalisation du gros-œuvre.
- Economie et facilité de mise en œuvre (y compris par moyenne ou petite entreprise, sous formation spéciale de la main-d'œuvre).
- Excellent rapport Coût / Qualité / Performance.
- Compatibilité avec tous planchers et composants préfabriqués.
- Compatibilité avec tous types de façades, tous équipements et techniques traditionnelles du second œuvre.
- Principe de construction répond aux exigences des années futures (isolant thermique, gaines de ventilation ...)

III Composition :

* Les poteaux : éléments importants de l'ossature SCOPE. Ils seront détaillés dans § suivant.

* Les poutres : Les poutres sont préfabriquées (S.A ou S.P) support de l'ossature SCOPE, elles sont munies d'étriers afin d'assurer une liaison efficace avec le plancher.
Aux abouts, elles se terminent par une réservation de 25 cm dans laquelle des armatures actives dépassent pour assurer l'ancrage de la liaison bétonnée.

* Planchers : Tous les planchers sont compatibles avec les systèmes constructibles SCOPE.
Les montages les plus courants sont les planchers à prédalles (à plus loin).

III. Performances : L'ossature SCOPE permet de réaliser tous types de bâts de (R+1) à (R+S).

Par exemple dans le cas d'une ossature qui n'assure pas à elle seule le contreventement :

* Les poteaux : peuvent reprendre les charges relevant aux surfaces suivantes.

	15 m^2	20 m^2	25 m^2	30 m^2	35 m^2
R+1	20×20	20×20	20×20	25×25	25×25
R+2	20×20	20×20	25×25	25×25	25×25
R+3	20×20	20×20	25×25	25×25	25×25
R+4	25×25	25×25	30×30	30×30	35×35
R+5	25×25	25×25	30×30	35×35	35×35

• Les poutres: Les armatures inférieures traversant les sections d'appuis, dépendant de la largeur des poutres sont au maximum de:

- poutre de base 20 = $4,4 \text{ cm}^2$ H.A.
- " " 25 = $6,0 \text{ cm}^2$ "
- " " 30 = $8,1 \text{ cm}^2$ " ; quelque soit leur hauteur (- h)

• les planchers: Ils doivent être choisis non seulement pour leurs performances mécaniques mais aussi pour ce qu'ils offrent en isolément thermique, acoustique et dans leur possibilité d'organisation du séquentielle chantier.

Remarque: Il est scrupuleux d'observer les prescriptions du RPA pour les dimensions des poteaux, poutres ainsi que pour le ferrailage minimal imposé, sauf pour les zones O (SAHARA).

V. Principe de conception des ouvrages: Pour parvenir à une optimisation des qualités des systèmes constructible SCOPE, il est préférable de concevoir le bâtiment en respectant certaines règles et notices techniques que nous développerons plus loin.

V-1 L'ossature: La trame peut-être quelconque, mais plus, sur un même chantier, les éléments répétitifs sont nombreux, plus on facilitera la réalisation.

A un poteau de 30 cm de côté, il est préférable d'associer une poutre de 30 cm de base etc...

Le nombre de poutres doit-être minimum théoriquement par poteau, pratiquement, le changement de sens, de portée du plancher et les façades imposent d'avoir 3 ou 4 poutre par poteau et parfois plus.

En façade il est conseillé d'avoir une poutre à bague qui clôture le bâtiment et qui réalisera également le coffrage latéral des planches.

V-2 Fondations: Les terrains en pente ou mauvais peuvent retrouver un intérêt avec scope car l'ossature supporte très bien l'adaptation au forte déclivité, et étant légères, les fondations par puits superficiels seront de plus faible section, donc moins chères.

V-3 Matériaux de façades: L'ossature est compatible avec tous les types de façades. Néanmoins, pour profiter au maximum de SCOPE, il sera plus économique de prévoir des façades relativement légères.

V-4 Ossature parasismique: Des dispositions particulières à appliquer,

l'ossature SCOPE peut répondre aux exigences des règles parisiennes (poteaux 20x20 et poutres 20 de base à exclure.)

VII , Types de ossatures SCOPE: Ils sont au nombre de deux (02) :

Type 1 / L'ossature assurant à elle seule la stabilité de l'ouvrage:

Dans ce cas, l'ossature est calculée en hyperstatique, le contreventement est alors assuré par les portiques poteaux-poutres.

Cette solution limite les possibilités de l'ossature : le dimensionnement ne peut pas être fait au stade de l'avant projet sous les vérifications de calcul qui seront exposées plus loin (selon les BAEL).

Type 2 / L'ossature qui n'assure pas le contreventement de l'ouvrage:

Dans ce 2^e cas, le contreventement est alors assuré par les murs séparatifs de logements, les cages d'escalier, les façades, les croix de saint André et finalement par des voiles construits à partir de la base du bâtiment jusqu'à son sommet indépendamment d'autres éléments structuraux.

L'ossature de notre bâtiment est selon le Type 2 c.-à-d n'assurant pas le contreventement où l'on trouve dans l'hypothèse que les charges verticales sont reprises en totalité par les poteaux tandis que les charges horizontales et un pourcentage de charges verticales ne dépassant pas les 20% du poids de la structure seront reprises uniquement par des voiles de contreventement disposés asymétriquement et dans chaque direction principale. De ce fait nous considérons que les nœuds sont quasiment fixes.

Chapitre 2.

- Ses B.R.E.L et les règlements B.A.
 - Caractéristiques des matériaux
 - Calcul de l'ascenseur
 - Calcul des escaliers
-

LES B.A.E.L ET LES REGLEMENTS B.A

Pourquoi un nouveau règlement ?

Le béton armé est aujourd'hui une technique bien connue et maîtrisée. Une succession de Règlements de béton armé en marquait les possibilités et les limites : En 1945 le BA 45, puis en 1960 le BA 60 enfin en 1968 la version CCBA 68 qui est toujours en vigueur, procéder d'un calcul déterministe aux contraintes admissibles, et non d'une analyse de ce qui ne doit pas être dépassé (déformations unitaires, déformation d'ensemble, ouvertures des fissures...). Elles ne permettent donc pas une évaluation logique et correcte du risque qu'il est permis d'accepter.

C'est pourquoi les recherches sur la sécurité des constructions ont donné naissance à de nouveaux principes et de nouvelles méthodes de justification qui consistent :

- à définir les phénomènes que l'on veut éviter.
- à estimer la gravité des risques liés à ces phénomènes.

C'est la base du calcul aux « Etats-Limites ». Les Etats-Limites sont classés en Etats-Limites Ultimes et Etats-Limites de Service, selon la gravité des conséquences de leurs atteintes.

NOTION D'ETAT-LIMITE : Un « Etat-Limite » est un Etat au-delà duquel une condition requise d'une construction, ou d'un de ses éléments n'est plus satisfaite. On distingue :

- Des « ETATS-LIMITES ULTIMES » dont le dépassement entraîne la ruine de la structure en question :
 - Limite de l'équilibre statique.
 - Limite de la résistance de l'un des matériaux.
 - Limite de la stabilité de forme (flambement).

- Des « ETATS-LIMITES DE SERVICE » pour lesquels les conditions de bon fonctionnement ou d'utilisation et de durabilité ont atteint leurs limites :
 - Etat-limite d'ouverture des fissures (pour éviter la corrosion rapide des aciers).
 - Etat-limite de résistance du béton (pour éviter l'apparition d'une fissure parallèle à la fibre neutre).

B.A

CARACTERISTIQUES DES MATERIAUX

I - BETON : Un béton à l'état frais est une pâte d'eau, sable, gravier, ciment et éventuellement d'adjuvants, après durcissement, cette pâte devient une roche (artificielle) prenant la forme du coffrage qui la soutient et dont les caractéristiques sont :

- à la compression : $j = 28$ jours ; f_{c28} est la résistance caractéristique requise.
 $f_{c28} = 25 \text{ MPa} \rightarrow \gamma'_28 = 270 \text{ kg/cm}^2$.
• $j < 28$ jours ; $f_{cj} = 0,685 \cdot f_{c28} \cdot \log(\frac{j}{28})$.
• $j > 28$ jours ; f_{cj} est conventionnellement prise à f_{c28} .

La valeur de calcul à la résistance est obtenue en prenant :

$$f_{bu} = \frac{0,85 f_{cj}}{\gamma_b} \quad \text{où} \quad \gamma_b = 1,5 \text{ état courant} \rightarrow f_{bu} = 14,2 \text{ MPa}$$
$$\gamma_b = 1,15 \text{ état accidentel} \rightarrow f_{bu} = 18,5 \text{ MPa}$$

Rem :

En comparant, on constate que les valeurs caractéristiques f_{c28} sont inférieures d'environ 15% aux valeurs nominales γ'_28 des règles CCBA 68 pour des bétons identiques.

- À la traction : La résistance caractéristiques à la traction du béton à j jours notée f_{tj} est conventionnellement définie par la relation :

$$f_{tj} = 0,6 + 0,06 \cdot f_{cj} \quad (\text{MPa}) \quad \text{avec} \quad f_{cj} \leq 40 \text{ MPa}$$

$$f_{c28} = 25 \text{ MPa} \rightarrow f_{tj} = 2,1 \text{ MPa}$$

* Module d'élasticité longitudinal : noté E , Hooke : $E = \sigma / \epsilon$
sous des contraintes normales (σ) d'une durée d'application inférieure à 24 heures, on peut prendre à j jours :

$$E_{ij} = 11000 \cdot f_{cj}^{1/3} \quad (\text{MPa}) ; \quad E_{ij} = 51000 f_{cj}^{1/3} \quad (\text{bars})$$

$$\text{ex: } f_{cj} = 250 \text{ bars}, \quad E_{ij} = 51000 \cdot 250^{1/3} = 3,21 \cdot 10^5 \text{ bars}$$

$$\text{les CCBA 63 donnent: } E_{ij} = 21000 \sqrt{270 \cdot 1,2} = 3,78 \cdot 10^5 \text{ bars}$$

Rem: si l'on ne dispose pas d'autres valeurs de résistance que celles de f_{c28} , on peut admettre que pour les grandes valeurs de j on a sensiblement $f_{cj} = 1,1 f_{c28}$, le module d'élasticité est alors noté E_i .

* Le coefficient de Poisson ν : $\nu = 1 - \frac{E}{E_i}$

- béton non fissuré : $\nu = 0,2$

- béton fissuré : $\nu = 0$ (E.L.U)

* Composition du béton :

• Béton de chantier.

- CPA 32S dosage 350 kg/m³
- 400 l de sable
- 800 l de gravier
- $c_g \leq 25 \text{ mm}$

• Béton de l'usine

- CPA 55R dosage 400 kg/m³
- 400 l de sable
- 800 l de gravier
- $c_g \leq 15 \text{ mm}$

II - ACIERS : Les aciers utilisés sont :

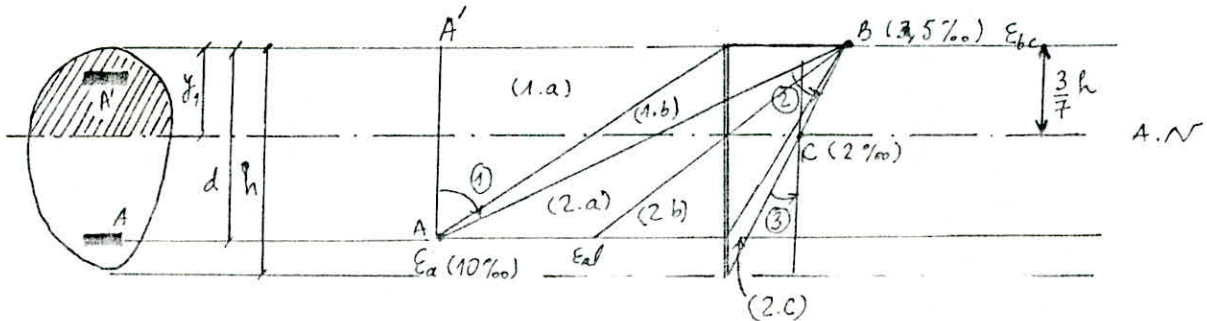
- barres HA $F_{eE} 40$ (type 1) ; $f_e = 400 \text{ MPa}$
- barres RL $F_{eE} 22$; $f_e = 215 \text{ MPa}$
- Treillis soudés TL 50 ; $f_e = 500 \text{ MPa}$

Base de calcul:

A - Hypothèses fondamentales sur les déformations des sections :

- les sections droites restent planes et il n'y a pas de glissement relatif entre les armatures et le béton.
- La résistance à la traction du béton est négligée.
- Le diagramme de déformation des sections est linéaire (E.L.U)
- Le raccourcissement du béton est limité à 2,0% en compression simple et à 3,5% en flexion.

- L'allongement de l'acier est limité à 10 %.
- Des droites matérialisant les diagrammes de déformation passent obligatoirement par l'un des trois pivots A, B et C.



La figure ci-dessus définit 3 régions :

- Région ① - Pivot A : $\epsilon_s = 10\%$ (allongement ultime de l'acier)

- (1-a) : traction simple ou flexion avec traction, l'axe neutre est en dehors de la section, celle-ci est entièrement tendue.
- (1-b) : flexion simple ou composée, l'axe neutre est à l'intérieur de la section, celle-ci comporte une zone tendue et l'autre comprimée.

- Région ② - Pivot B : $\epsilon_{bc} = 3,5\%$ (raccourcissement ultime du béton)

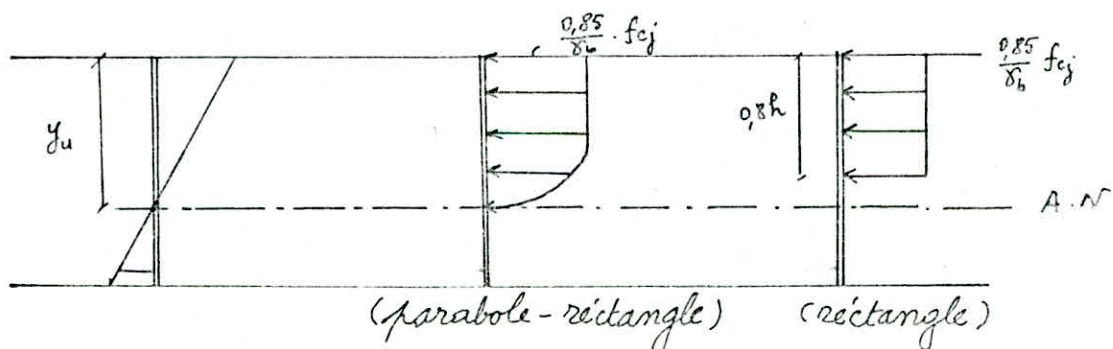
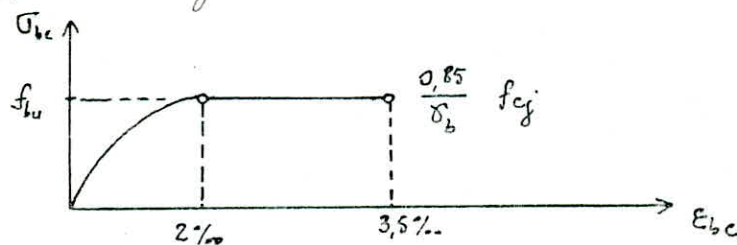
- (2-a) : $\epsilon_{al} \leq \epsilon_s \leq 10\%$
- (2-b) : $0 \leq \epsilon_s \leq \epsilon_{al}$
- (2-c) : Tous les aciers subissent des raccourcissements, une petite partie du béton demeure tendue. L'A.N dans la section.

- Région ③ - Pivot C :

- Section entièrement comprimée, $2\% \leq \epsilon_b \leq 3,5\%$.
- L'A.N est en dehors de la section

B. Données de base concernant les matériaux :

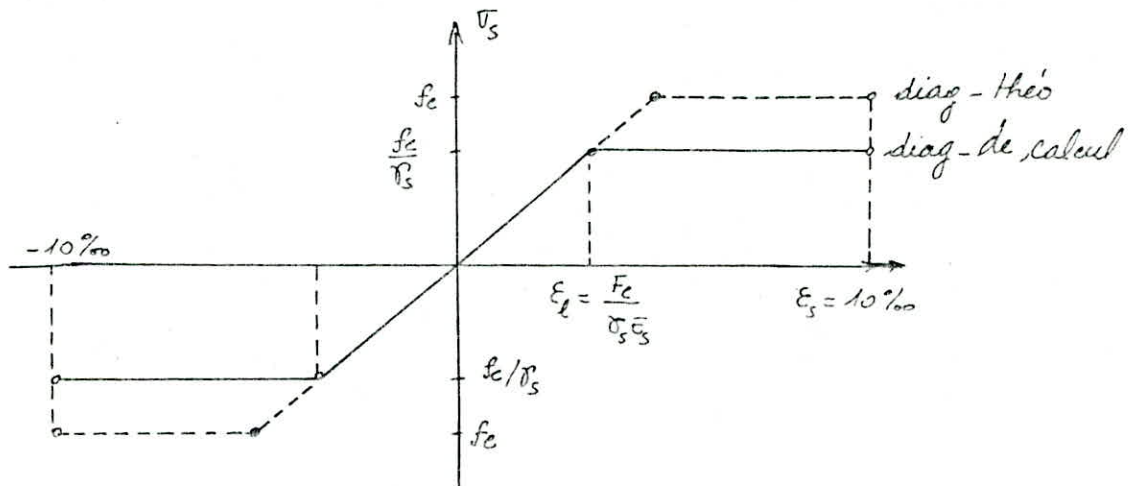
B.1 Distribution des contraintes de compression du béton :
Le diagramme contrainte-déformation du béton est dans tous les cas, celui dit « parabole - rectangle »



Lorsque l'on fait le calcul des forces et celui des moments dans les deux cas de

figure ci-dessous, on s'aperçoit que les résultats sont les mêmes à 1% près. D'où l'intérêt du diagramme rectangulaire, beaucoup plus simple d'emploi.

8-2 Diagramme déformations-contraintes des aciers : Le diagramme à considérer est conventionnellement défini comme suit :



BETON PRECONTRAINTE

1. ARMATURES DE PRÉCONTRAINTE

Poutres - Précont.		Predalles - précontraintes.
Caractéristiques	Toron T12.4 III TBR	H.L.É Ø5 III TBR
Section (A_p)	0,93 cm ²	$0,196 \text{ cm}^2$
Force de Tension Garantie (FTG)	15400 kg	Ap
Force de Rupture Garantie (FRG)	17360 kg	FTG
Relaxation à 1000h (δ_{1000})	2,5 %	
Relaxation à 300h (δ_{300})	3 %	
Relaxation à 16h (δ_{16})	0,75 %	FRG
Coefficient de scellement (η_d)	1,5	2755 kg Tension autorisée
Coefficient de fissuration γ	1,4	1,2 m largeur maxi
longueur de scellement ($l_{s,n}$)	1,00 m	5 cm épaisseur.
Module d'élasticité (E_a)	$1,9 \cdot 10^6$ bars	

2. ARMATURES PASSIVES A HAUTE ADHÉRENCE

• Fe E 40	$d \leq 20$	$\sigma_{eg} = 4120$	bars
	$d > 20$	$\sigma_{eg} = 3920$	bars
• Fe E 50	GRANITEX	$\sigma_{eg} = 4900$	bars

coefficient de fissuration : $\eta = 1,6$

coefficient de scellement : $\eta_d = 1,5$ ou γ_d

3. BÉTON

a- Béton des poutres :

- C'est un béton dosé à 400 kg/m^3 ($EIC = 0,42$)
- Résistance caractéristique en compression au relâchement : $\sigma' = 300 \text{ bars}$
- Valeur caractéristique en traction au relâchement : $\tau = 6 + 0,06 \cdot \sigma' = 24 \text{ bars}$ ($\S. 4.4 . IP2$)
- Résistance caractéristique en compression à 28 jours : $\sigma'_{28} = 420 \text{ bars}$
- Valeur caractéristique en traction à 28 j : $\tau_{28} = 6 + 0,06 \sigma'_{28} = 31,2 \text{ bars}$ ($\S. 4.4 . IP2$)

• Module d'élasticité instantané :

- à la mise en précontrainte, le module du béton est diminué de 30% du fait de l'étuvage.

$$E_{b_1} = 0,7 \cdot 24000 \cdot \sqrt{\sigma'} = 290985 \text{ bars} \quad (\text{PRAD Doc 3, §1.31})$$

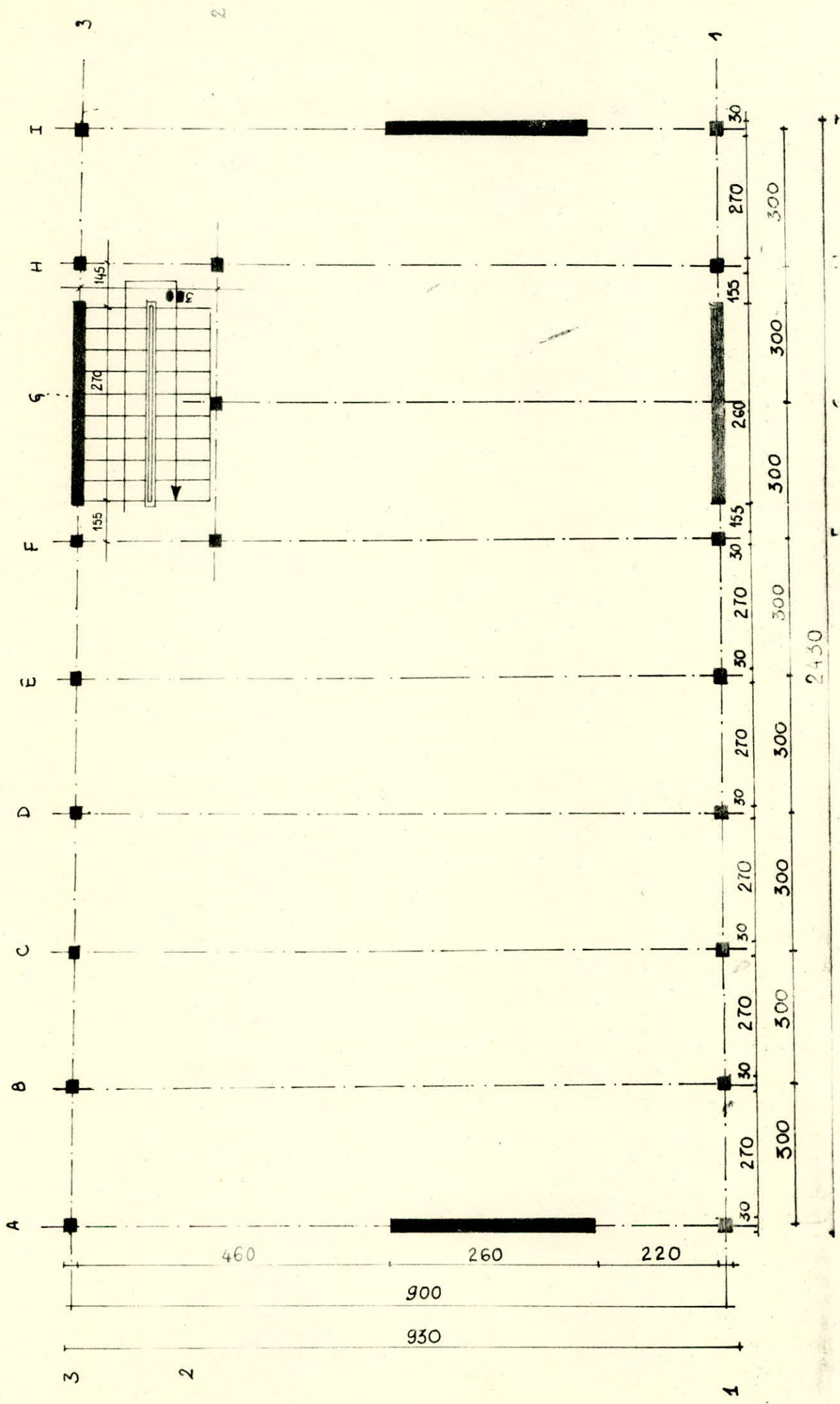
- à 28 jours :

$$E_{b_2} = 24000 \sqrt{\sigma'_{28}} = 492854 \text{ bars} \quad (\S 5 \text{ de l'IP2})$$

- Béton étuvé, 70°C de température maximale dans le béton, 20°C de température minimale dans le béton.

b- Béton de la dalle en béton armé coulé en œuvre :

- c'est un béton dosé à 350 kg/m^3 de ciment CPA
- contrôle strict, $\bar{\sigma}'_{28} = 240 \text{ bars}$, ce qui correspond à un béton de contrainte nominale $\sigma_n' = 270 \text{ bars}$.



CALCUL DE L'ACROTERE

L'acrotère est assimilé à une console encastrée au niveau du plancher terrasse. Elle est soumise à son propre poids et à la surcharge due à la main courante.

$$\begin{aligned} \text{- poids propre : } G &= 0,95 \cdot 0,15 \cdot 2,5 = 0,19 \text{ t/ml} \\ \text{- surcharge } Q &= 0,1 \text{ t/ml} \end{aligned}$$

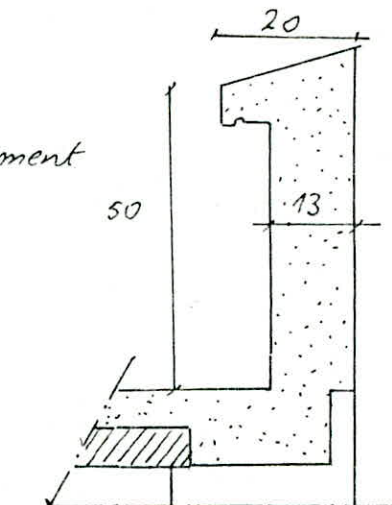
La section dangereuse au niveau de l'enca斯特rement est soumise à une flexion composée.

$$N_u = 1,35 \cdot 0,19 = 0,25 \text{ t/ml}$$

$$M_u = 1,5 \cdot 0,1 \cdot 0,95 = 0,08 \text{ t.m/ml}$$

$$e = \frac{M}{N} = 0,32 \text{ m}$$

$$\frac{h}{6} = \frac{0,15}{6} = 0,025 \text{ m} < e \text{ donc S.P.C}$$



Ferraillage :

$$h = 15 \text{ cm} ; b = 100 \text{ cm} ; f_{bu} = 14,2 \text{ MPa} ; f_{su} = 348 \text{ MPa}$$

$$N = 0,2 \text{ t/ml} ; M = 0,08 \text{ t.m/ml} , f_{c28} = 2,1 \text{ MPa} , f_e = 400 \text{ MPa}$$

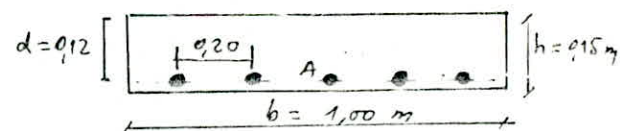
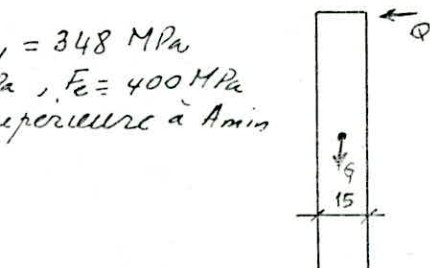
on trouve $A = 0,2 \text{ cm}^2$ qui doit être supérieure à A_{min}

$$A_{min} = 0,23 \frac{b \cdot d \cdot f_{c28}}{f_e} \cdot \frac{e_o - 0,45 \cdot d}{e_o - 0,18 \cdot d}$$

$$e_o = \frac{M_{ser}}{N_{ser}} = \frac{0,05}{0,19} = 0,26 \text{ m}$$

$$A_{min} = 1,25 \text{ cm}^2 \text{ soit : } A = A_{min}$$

on prend : 5T6 / ml (1,41 cm²)



Vérification au séisme : (art. 3.39 RPA). L'acrotère doit résister à la force sismique locale F_p :

$$F_p = Z \cdot I \cdot C_p \cdot W_p \quad \text{où} \quad \left. \begin{aligned} W_p &= 190 \text{ kg} \\ C_p &= 0,8 \text{ (RPA)} \\ ZI &= 0,6 \text{ (RPA)} \end{aligned} \right\} \rightarrow F_p = 91,2 \text{ kg} < 1,5 \cdot Q = 150 \text{ kg}$$

D'où l'acrotère résiste au séisme.

Vérification de l'effort tranchant :

$$\tau_u = \frac{T}{b \cdot d} = \frac{1,5 \cdot 100}{1,00 \cdot 0,12} = 1250 \text{ kg/m}^2 = 0,0125 \text{ MPa}$$

fracturation peu nuisible : $\bar{\tau}_u = \min [0,13 \cdot f_{c28} ; 4 \text{ MPa}] = 3,25 \text{ MPa}$

$\tau_u < \bar{\tau}_u$ vérifié.

CALCUL DES ESCALIERS

1. Introduction : Notre bâtiment comporte un seul type d'escalier intérieur droit à volée + palier préfabriqués posé au cours de l'exécution de l'ouvrage, ceci nous permet :
- la rapidité d'exécution
 - l'utilisation immédiate de l'escalier.
 - l'élegance.

2 - Prédimensionnement :

Relation entre le giron^(q) et la hauteur de la marche (h)

$$\left\{ \begin{array}{l} 2 \cdot h + q = m \quad (1) \\ 60 < m < 65 \quad (2) \end{array} \right. \quad \text{formule de BLONDÉL}$$

$$\left\{ \begin{array}{l} 60 < m < 65 \quad (2) \\ \text{avec : } q = \text{largeur d'une marche} \\ h = \text{hauteur d'une marche} \end{array} \right.$$

$$m = q + 2h = 30 + 2 \cdot 16,2 = 62,4 \text{ cm} \rightarrow (2) \text{ vérifiée.}$$

Donc : calculons le nbre de marches dans une volée

$$g = \frac{L}{n-1} ; \quad h = \frac{H}{n}$$

n : nombre de marches

L : longueur de la ligne de foulée . ($L = 3,41 \text{ m}$)

H : Hauteur à monter . ($H = 1,62^5 \text{ m}$)

(n-1) : nombre de contre marches

$$(1) \text{ devient : } 2H(n-1) + n \cdot L = 63 \cdot n(n-1) \\ 63n^2 - 729n + 325 = 0$$

on trouve $n = 10$ marches.

• Epaisseur de la paillasse : pour éviter une trop grande flexibilité de la paillasse, celle-ci doit avoir au minimum une épaisseur de 10 cm, et limitée par :

$$\frac{l}{30} < e < \frac{l}{20} \quad \text{avec } l = L / \cos \alpha$$

$$tg \alpha = \frac{H}{L} = \frac{162,5}{300} = 0,542 \xrightarrow{\alpha=28^\circ} \cos \alpha = 0,882 , \quad l = \frac{341}{0,882} = 378,04 \text{ cm}$$

$12,6 < e < 18,9$, on prendra $e = 16 \text{ cm}$

La volée et le palier sont coulés solidairement au préalable, les marches seront en maçonnerie afin d'en réduire le poids. L'ensemble sera calculé comme une poutre sur deux appuis

3. Charges et surcharges :

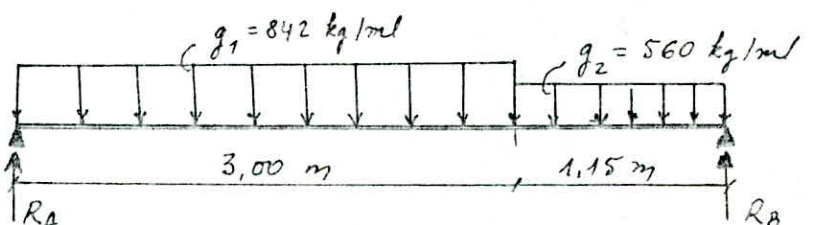
a) volée :

• poids propre de la paillasse	=	$2500 \cdot 0,16 / \cos \alpha = 455 \text{ kg/m}^2$
• poids propre de la marche	=	187 "
• revêtement	=	140 "
• Enduit en sous face	=	20 "
• Garde-corps	=	40 "
<hr/>		
• Surcharges :	$s_1 = 250 \text{ kg/m}^2$	$G_1 = 842 \text{ kg/m}^2$

- poids propre du palier = $2500 \cdot 0,16 = 400 \text{ kg/m}^2$
- Revêtement = 140 "
- Enduit en sous face = 20 "
- surcharges : $s_1 = 250 \text{ kg/m}^2$ $s_2 = 560 \text{ kg/m}^2$

4. Détermination des efforts : soit une bande d'1m de largeur.

* sous g :



$$\sum M_A^{ext} = 0$$

$$\Rightarrow R_B \cdot 4,15 = g_1 \cdot \frac{3^2}{2} + g_2 \cdot 1,15 \cdot 3,575 \Rightarrow R_B = 1467,8 \text{ kg}$$

$$\sum M_B^{ext} = 0$$

$$\Rightarrow R_A \cdot 4,15 = g_1 \cdot 3 \cdot 2,65 + g_2 \cdot \frac{1,15^2}{2} \Rightarrow R_A = 1702,22 \text{ kg}$$

a) Efforts tranchants:

$$0 \leq x < 3,00 \text{ m}$$

$$T(x) = R_A \cdot x - g_1 \cdot x \quad \begin{cases} T(0) = 1702,22 \text{ kg} \\ T(3) = -823,8 \text{ kg} \end{cases}$$

$$3,00 \leq x < 4,15 \text{ m}$$

$$T(x) = R_A - g_2 \cdot 3 - g_2 (x-3) \quad \begin{cases} T(3) = -823,8 \text{ kg} \\ T(4,15) = -1467,8 \text{ kg} \end{cases}$$

b) Moments fléchissants:

$$0 \leq x < 3,00 \text{ m}$$

$$M(x) = R_A \cdot x - g_1 \cdot \frac{x^2}{2} \quad \begin{cases} M_0(0) = 0 \\ M_0(3) = 1317,66 \text{ kg.m} \end{cases}$$

$$3,00 \leq x < 4,15 \text{ m}$$

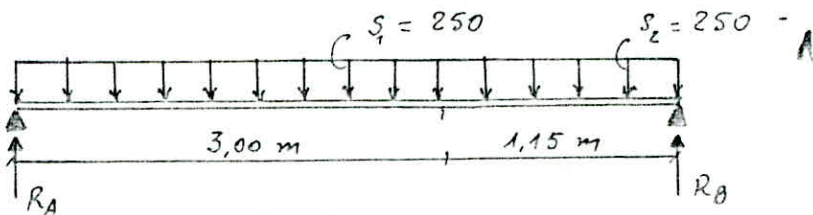
$$M(x) = R_A \cdot x - g_1 \cdot 3 \cdot (x-1,5) - g_2 \frac{(x-3)^2}{2} \quad \begin{cases} M_0(3) = 1317,66 \text{ kg.m} \\ M_0(4,15) = 0 \end{cases}$$

M est max à l'abscisse x tq: $\frac{dM(x)}{dx} = 0$

$$\frac{dM(x)}{dx} = R_A - g_1 \cdot 3 - g_2 (x-3) = 0 \Rightarrow x = 1,53 \text{ m}$$

$$M_{max} = M_0(1,53) = 1702,22 \cdot 1,53 - 842 \cdot \frac{1,53^2}{2} = 1618,88 \text{ kg.m}$$

* sous S :



$$R_A = R_B = \frac{s \cdot l}{2} = 250 \cdot \frac{4,15}{2} = 518,75 \text{ kg.}$$

a) Efforts tranchants:

$$T(x) = R_A - s \cdot x \quad / \quad \begin{cases} T(0) = 518,75 \text{ kg} \\ T(4,15) = -518,75 \text{ kg} \end{cases}; \quad T(3) = -237,25 \text{ kg}$$

$$M(x) = R_A \cdot x - 5 \cdot \frac{x^2}{2} / M_0(4,15) = 407,00 \text{ kg.m}$$

x_0 ? pour M_{\max} :

$$\frac{dM(x)}{dx} = R_A - 5 \cdot x_0 = 0 \Rightarrow x_0 = \frac{518,75}{250} = 2,075 \text{ m}$$

$$M_{\max} = M_0(2,075) = \frac{5 \cdot \ell^2}{8} = \frac{250 \cdot 4,75^2}{8} = 538,2 \text{ kg.m}$$

s'it:

$$\begin{cases} M_{u,\max} = 1,35 M_{0,\max}^6 + 1,5 M_{0,\max}^5 = \underline{2992,79 \text{ kg.m}} \\ M_{0,\max} = M_{0,\max}^6 + M_{0,\max}^5 = \underline{2157,08 \text{ kg.m}} \end{cases}$$

5. Ferrailage: étant donné un semi-enca斯特rement aux extrémités, les moments en travée et à l'appui sont donnés par:

• Travée: $M_t = 0,8 \cdot M_{0,\max}$ $\begin{cases} 0,8 \cdot M_{u,\max} = 2394,23 \text{ kg.m} \\ 0,8 \cdot M_{0,\max} = 1725,66 \text{ kg.m} \end{cases}$

• Appui: $M_a = 0,3 \cdot M_{0,\max}$ $\begin{cases} 0,3 \cdot M_{u,\max} = 897,84 \text{ kg.m} \\ 0,3 \cdot M_{0,\max} = 647,12 \text{ kg.m} \end{cases}$

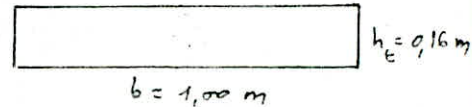
- Calcul de la section d'armatures:

* En travée:

Données: $M_{t,u} = 2394,23 \text{ kg.m}$

$$M_{t,ser} = 1725,66$$

$$d' = 2 \text{ cm} ; d = h_t - d' = 14 \text{ cm}$$



on est dans le cas d'une fissuration peu nuisible donc le calcul se fera à l'E.C.U.

$$\gamma = \frac{M_{t,u}}{M_{t,ser}} = \frac{2394,23}{1725,66} = 1,39$$

$$f_{c28} = 28 \text{ MPa} \rightarrow \epsilon_{bu} = 0,341 \cdot \gamma - 0,1176 = 0,296$$

$$b d^2 f_{cu} = 1,00 \cdot 14^2 \cdot 14,2 \cdot 10 = 27832 \text{ kg.m}$$

$$\epsilon_{bu} = \frac{M_u}{b d^2 f_{cu}} = \frac{2394,23}{27832} = 0,09 \approx 0,1$$

$\epsilon_{bu} = 0,1 < \epsilon_{bu} = 0,296$, donc pas d'aciéros comprimés ($A' = 0$)

aciéro tendu:

$$a \cdot n \rightarrow \alpha = 1,25(1 - \sqrt{1 - 2\epsilon_{bu}}) = 1,25(1 - \sqrt{1 - 2 \cdot 0,1}) = 0,13 < 0,259$$

on est dans le pivot A: $\begin{cases} \epsilon_{bc} < 3,5 \% \\ \epsilon_c = 10 \% \end{cases} ; \epsilon_{bc} = \frac{\alpha}{1 - \alpha} \cdot 10 \cdot 10^3 = 1,5 \%$

bras de levier $\rightarrow z_b = d(1 - 0,4 \cdot \alpha) = 14(1 - 0,4 \cdot 0,13) = 13,27 \text{ cm}$
 $z_b = 13,27 \text{ cm}$.

$$T_s = f_{su} = \frac{f_e}{1,15} = \frac{400}{1,15} = 347,82 \text{ MPa}$$

$$A_{su} = \frac{M_u}{Z_b \cdot f_{su}} = \frac{2394,23 \cdot 10^2}{13,27 \cdot 10 \cdot 347,82} = 5,18 \text{ cm}^2$$

soit : 6 T12 p.m.l ($A_{eff} = 5,65 \text{ cm}^2$)

* sur appui :

$$\text{Données : } M_{ser.a} = 647,12 \text{ kg.m}$$

$$M_{u,a} = 897,84 \text{ "}$$

$$d' = 2 \text{ cm}, d = 14 \text{ cm}$$

$$\gamma = \frac{M_u}{M_{ser}} = \frac{897,84}{647,12} = 1,39 \quad ; \quad \epsilon_{lu} = 0,341 \cdot 1,39 - 0,1776 = 0,3$$

$$\epsilon_{bu} = \frac{M_u}{bd^2 \cdot f_{bu}} = \frac{897,84}{27832} = 0,03 < \epsilon_{lu} \text{ donc pas d'acier comprimé}$$

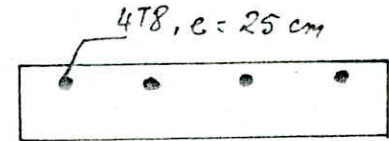
acières tendus :

$$a.n \rightarrow \alpha = 1,25(1 - \sqrt{1-2\epsilon_{bu}}) = 0,04 < 0,259 \rightarrow \text{pivot A} \begin{cases} \epsilon_{bc} < 3,5\% \\ \epsilon_s = 10\% \\ \epsilon_{bc} = 0,4\% \end{cases}$$

$$\text{bras de levier} \rightarrow Z_b = d(1 - 0,4 \cdot \alpha) = 13,78 \text{ cm}$$

$$A_{su} = \frac{M_u}{Z_b \cdot f_{su}} = \frac{897,84 \cdot 10^2}{13,78 \cdot 10 \cdot 347,82} = 1,9 \text{ cm}^2$$

soit 4 T8 ($1,99 \text{ cm}^2$)



6. Verifications : La fissuration est peu nuisible, dans ce cas aucune vérification particulière n'est demandée en dehors des prescriptions générales énoncées précédemment et de la condition de non fragilité.

a - Condition de non fragilité :

$$\rho = \frac{A_{scal}}{b \cdot d} \geq 0,23 \cdot \frac{f_{c28}}{f_c} = 0,23 \cdot \frac{2,1}{400} = 1,207 \cdot 10^{-3}$$

- En travée : $\frac{A_{scal}}{b \cdot d} = \frac{5,65}{100 \cdot 14} = 4,03 \cdot 10^{-3} > \rho \rightarrow \text{section suffisante.}$

- sur appui : $\frac{A_{scal}}{b \cdot d} = \frac{1,99}{100 \cdot 14} = 1,4 \cdot 10^{-3} > \rho \rightarrow \text{section suffisante.}$

b - Effort tranchant :

$$\textcircled{1} \text{ contrainte tangentielle : } \tau_u = \frac{\nu_u}{b_0 \cdot d} = \frac{T_{u,max}}{b_0 \cdot d}$$

$$T_{u,max} = 1,35 \cdot T_{s,max} + 1,5 \cdot T_{s,max} = 1,35 \cdot 1702,22 + 1,5 \cdot 518,75$$

$$\underline{T_{u,max} = 3076,12 \text{ kg.}}$$

$$\tau_u = \frac{3076,12}{100 \cdot 14} = 2,19 \text{ kg/cm}^2$$

fissuration peu nuisible avec sections d'âme droites $\bar{\tau}_u = \min[0,93 \cdot f_{c28}; 4 \text{ MPa}]$
 $\bar{\tau}_u = 3,25 \text{ MPa}$, on a bien que $\tau_u < \bar{\tau}_u$ vérifié

② Condition d'appui :

- $A_s' \geq \frac{1.15 \cdot V_u}{f_c} = \frac{1.15 \cdot 3076.12}{4000} = 0,88 \text{ cm}^2 < 1,99 \text{ cm}^2$

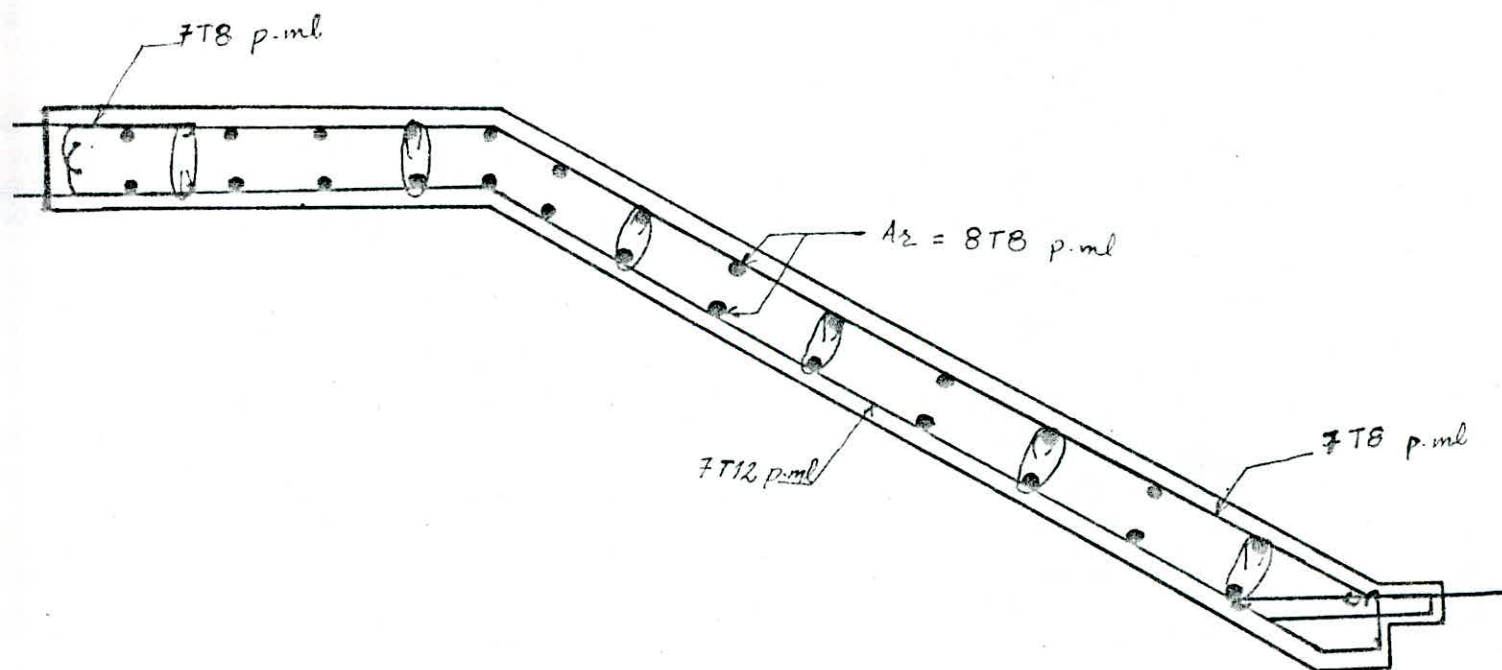
Donc la section trouvée sur appui est suffisante.

- largeur d'appui : $a \geq \frac{3,75 \cdot V_u}{b \cdot f_{c28}} = \frac{3,75 \cdot 3076,12}{100 \cdot 250} = 10,06 \text{ cm}$
or $a_{pot} = 30 \text{ cm}$ vérifiée.

③ Armatures de répartition :

$$\frac{A_s}{4} \leq A_2 \leq \frac{A_s}{2}$$

Nous choisissons des aciers plus économiques, soit $A_2 = \frac{A_s}{4} = \frac{5,65}{4} = 1,41 \text{ cm}^2/\text{ml}$,
des 6 φ 6 suffisent pour assurer un écartement de 17 cm.

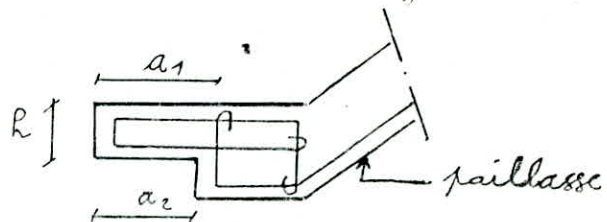


Calcul du béquet: D'après les recommandations du C.T.C., l'épaisseur des béquets ne doit pas être inférieure à 7 cm aussi bien dans les sections d'enca斯特ment que dans les sections d'extrémités. La largeur du béquet ne doit pas être inférieure à 10 cm.

a : portée du béquet

$$a = \max [a_1; a_2 + 3 \text{ cm}]$$

nous prenons $a = 15 \text{ cm}$.



(béquet bas)

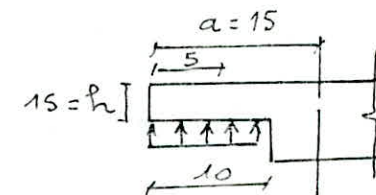
La réaction d'appui (V_u) se transmet sur le béquet sous forme de charge répartie (qui) de valeur :

$$q_u = \frac{V_u}{0,05} \quad \text{avec } V_u = 1,35 (+1467,8) + 1,5 (+518,75) \\ = \frac{2759,65}{0,05} = 551,93 \text{ kN/ml.}$$

Moment max sur le béquet:

$$M_{\max} = M_{\text{encastr}} = M_u = q_u \frac{a^2}{2}$$

$$M_u = 551,93 \cdot \frac{0,15^2}{2} = 2,75 \text{ kN.m}$$



Armatures:

$$\mu_{bu} = \frac{M_u}{bd^2 f_{bu}} = \frac{2,75 \cdot 10^2}{1,3 \cdot 11^2 \cdot 142} = 0,02 < \beta_{bu} = 0,3 \rightarrow \text{pas d'acier comp. } A' = 0$$

$$\alpha = 1,25 (1 - \sqrt{1 - 2\mu_{bu}}) = 1,25 (1 - \sqrt{1 - 2 \cdot 0,02}) = 0,025$$

$$Z_b = d(1 - 0,4 \cdot \alpha) = 11(1 - 0,4 \cdot 0,025) = 10,8 \text{ cm.}$$

$$A_s = \frac{M_u}{Z_b \cdot f_{su}} = \frac{2,75 \cdot 10^2}{10,8 \cdot 3480} = 0,73 \text{ cm}^2$$

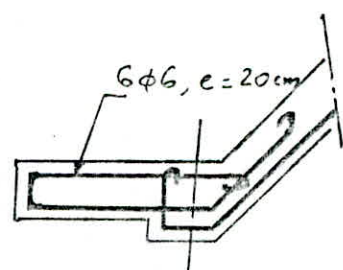
La condition de non fragilité: $\beta = \frac{A_{\text{cal}}}{bd} = \frac{0,73}{130 \cdot 11} = 0,5 \cdot 10^{-3} < 0,23 \cdot \frac{f_{t28}}{f_e} = 1,2 \cdot 10^{-3}$
ce n'est pas donc vérifié.

$A_{\min} = 1,2 \cdot 10^{-3} \cdot 130 \cdot 11 = 1,78 \text{ cm}^2$ donnée par la cond. de non fragilité.

solt: 6 Ø 6 H.A; e = 20 cm

Cisaillement: $V_u = q_u \cdot a = \left(\frac{27,59}{1,3}\right) \cdot 0,15 = 3,18 \text{ kN}$

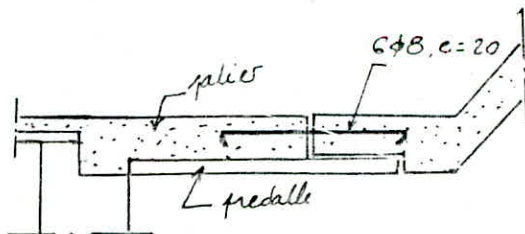
$$\epsilon_u = \frac{V_u}{b \cdot z} = \frac{3,18 \cdot 10^3}{130 \cdot \frac{7}{8} \cdot 15} = 0,23 \text{ bars, ce qui est très faible} \rightarrow \text{vérifié}$$



Liaison paillasse-palier:

Les aciers de liaison devront être au droit des cadres du béquet et devront avoir un diamètre minimum de 8 mm.

les aciers devront être totalement ancrés dans le chainage coulé en place dans la paillasse préfabriquée.



Manutention des Escaliers: Pour le transport et le levage du bloc paillasse + palier, sans marches, on prévoit des crochets en 4 coins aux extrémités de ce bloc. Chaque crochet est constitué d'un rond lisse en forme d'anneau Fe E 24 ou 22.

Pour éviter le risque de rupture au levage, on doit vérifier que les armatures trouvées sont suffisantes. Dans le cas contraire, on adopte le ferrailage au levage donné par M manutention

charges : - P.P de la paillasse : $\frac{2500 \cdot 0,16}{\cos 28^\circ} \cdot 1,3 = 589 \text{ kg/ml}$

• P.P du palier : $2500 \cdot 0,16 \cdot 1,3 = 520 \text{ kg/ml}$

Pour tenir compte de l'effet dynamique au levage
on majore le poids propre de 20 %

$$q = 1,2 \cdot (589 + 520) = 1331 \text{ kg/ml.}$$

$$M_{manut} = q \cdot \frac{l^2}{8} = 1331 \cdot \frac{4,75^2}{8} = 2865,4 \text{ kg.m} > M_u = 2391,23 \text{ kg.m}$$

Donc on ferraille avec M_{manut} :

$$\frac{M_{manut}}{M_u} = \frac{2865,4}{2391,23} = 1,20$$

La section nécessaire en travée est $5,65 \times 1,2 = 6,8 \text{ cm}$ soit FT12 /ml

La section nécessaire sur appui est : FØ8

La section d'armature de répartition dans les deux sections (about, travée) sera aussi majorée par 1,2.

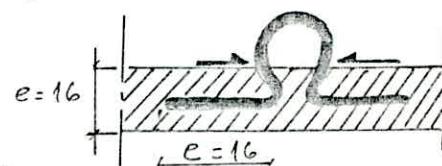
Calcul des armatures constituant les crochets : ces aciers devront résister chacune au quart du poids du bloc majoré de 20 %. Ils seront calculés en traction simple.

$$q = 1331 \text{ kg/ml} \times 4,15 = 5,5 \text{ t.}$$

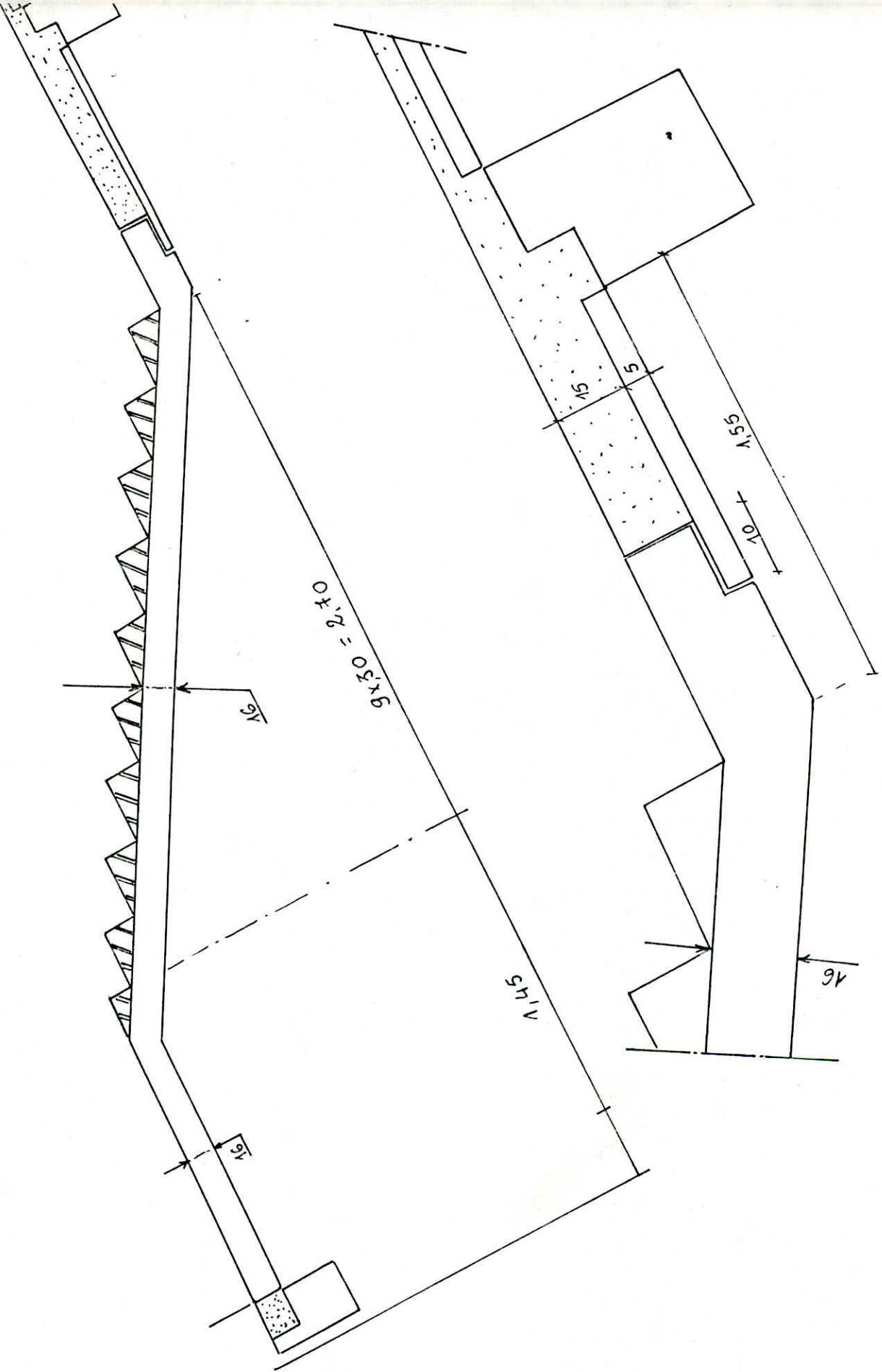
$$N = \frac{q}{4} = \frac{5,5 \text{ t}}{4} = 1,4 \text{ t.}$$

$$A = \frac{N}{f_{su}} = \frac{1,4 \cdot 10^3}{2400/1,15} = 0,67 \text{ cm}^2 \quad \text{soit } 1 \phi 10 \quad (A = 0,78 \text{ cm}^2)$$

Nous adoptons des aciers Ø10 (doux) en crochets,
ces aciers seront ancrés sur une distance
 $e = 16 \text{ cm} = \text{ep du palier}$



Remarque : Dès que la pose est achevée, à l'enlèvement des élingues, on sectionne les crochets.



Chapitre 3.

- Calcul des poteaux MCF
 - Calcul des poutres préfabriquées BR
 - Calcul des nœuds de liaison
-

II . Calcul des poteaux:

- II-1 Généralités: Les poteaux de l'ossature scopo sont préfabriqués sur toute la hauteur du bâtiment de 3 à 4 niveaux.
- Leur section varie selon les descentes de charges : 20x20 ; 25x25 ; 30x30, 35x35.
 - Leur longueur totale peut atteindre 12,00 m (limitation au levage), ils sont de la hauteur de la construction.
 - Leur bétonnage est interrompu au droit de chaque plancher et les aciers principaux sont raidis par un diabolo mécano soudé nécessaire à la manutention.
 - Au droit des noeuds, cette cage d'armatures supplémentaires permet l'assemblage avec les poutres supports de planchers, de façon monolithique.
 - Grâce au procédé armature le rabotage des poteaux est possible et pour la réalisation de constructions de plus de 12,00 m de hauteur.
 - Les poteaux sont scellés au pied selon le procédé Armature ou par encouvrement.

II-2 Prédimensionnement: La section des poteaux soumis à un effort normal de compression doit être justifiée vis-à-vis de l'Etat Limite Ultime de Stabilité de forme conformément à l'article A-4-4 (BAEL).

On est dans le cas où la fissuration est peu nuisible où le risque de corrosion est très faible (nos éléments ne sont pas soumis à des condensats). Dans ce cas, aucune vérification particulière n'est alors demandée en dehors des prescriptions générales énoncées en A45.311 et A45.312 des BAEL et de la condition de non fragilité.

Les poteaux peuvent être considérés comme soumis à une compression quasiment centrale et sont justifiés dans l'hypothèse dans la compression simple menée par application des règles BAEL.

a) Poteaux: on a choisi un seul type de poteaux (30x30) cm². Ses dimensions transversales doivent satisfaire les conditions suivantes (art. 4.2.1.1 RPA 81) :

$$\left\{ \begin{array}{l} \cdot \min(b, h) \geq 25 \text{ cm} \quad \text{en zone I et II} \\ \cdot \frac{1}{3} \leq \frac{b}{h} \leq 3 \\ \cdot \min(b, h) \geq \frac{h}{20} \end{array} \right.$$

on a $b = h = 30 \text{ cm}$ qui satisfont bien les conditions précitées.

b) Poutres en B.A et B.P: on a choisi un seul type des poutres (30x40). Pour les poutres en B.A, les dimensions doivent respecter les valeurs prescrites par l'art. 4.2.3.2 RPI) :

$$\left\{ \begin{array}{l} \cdot b \geq 20 \text{ cm} \quad \text{en zone I et II} \\ \cdot h \geq 30 \text{ cm} \\ \cdot h/b \leq 3 \\ \cdot b_{max} \leq 1,5 \cdot h + b_1 \end{array} \right.$$

Vérifiée.

c) Voiles en B.A de contreventement:

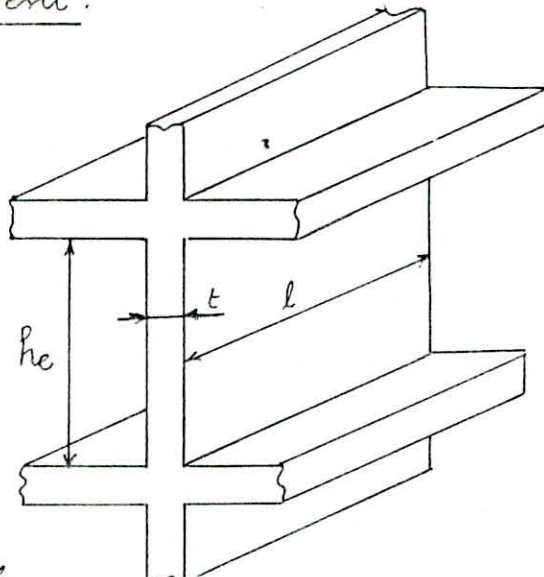
on a pris :

$$h_c = 315 \text{ cm.}$$

$$t = 30 \text{ cm}$$

$$l = 2,60 \text{ m.}$$

qui satisfont bien bien les conditions suivantes en accord avec l'art. 43.1 RPA :



- Ne sont considérées comme voiles de contreventement que si :

$$\begin{aligned} l > \frac{h_c}{2} & \quad \text{et} \quad l > 1,6 \text{ m} \quad \text{vérifiée} \\ l > 5 \cdot t \end{aligned}$$

- L'épaisseur minimale admissible est de 15 cm en zone II. OK!

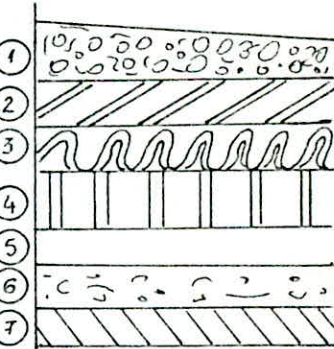
II.3 Descente de charge - Combinaison des actions:

II.3.1) charges verticales:

• Planchers terrasse (non accessible)

.. charges permanentes:

- ① protection en gravillon $0,05 \times 1500 = 75 \frac{\text{kg}}{\text{m}^2}$
- ② Etancheité multicouche = 10 "
- ③ Isolation thermique, phonique ($e=40\text{cm}$) $0,04 \cdot 250 = 10 "$
- ④ Pare vapeur = 2 "
- ⑤ Forme de pente ($e=8\text{cm}$) $0,08 \times 1800 = 144 "$
- ⑥ Dalle en B.A ($e=5\text{cm}$) $125 = 125 "$
- ⑦ Pré-dalle ($e=5\text{cm}$) $125 = 125 "$
- ⑧ Enduit de plâtre ($e=1,5\text{cm}$) $0,015 \cdot 1200 = 18 "$



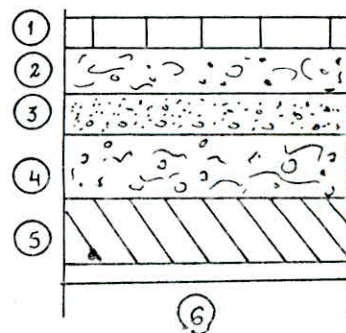
$$G = 509 \text{ kg/m}^2$$

$$\text{.. surcharges} = 100 \text{ kg/m}^2$$

• Plancher étage courant et RDC :

.. charges permanentes :

- ① Revêtement en carrelage ($e = 2 \text{ cm}$) $0,02 \times 1600 = 32 \frac{\text{kg}}{\text{m}^2}$
 - ② Mortier de pose ($e = 2 \text{ cm}$) $0,02 \times 2000 = 40 \text{ "}$
 - ③ Sable ($e = 2,5 \text{ cm}$) $0,025 \times 1500 = 37 \text{ "}$
 - ④ Dalle en BA ($e = 5 \text{ cm}$) $. = 125 \text{ "}$
 - ⑤ Prédalle ($e = 5 \text{ cm}$) $. = 125 \text{ "}$
 - ⑥ Enduit de Platre ($e = 1,5 \text{ cm}$) $0,015 \cdot 1200 = 18 \text{ "}$
 - ⑦ Murs et cloisons $. = 175 \text{ "}$
-
- $g = 627 \frac{\text{kg}}{\text{m}^2}$



.. surcharges : $250 \frac{\text{kg}}{\text{m}^2}$.

• Escalier :

.. charges permanentes :

- ... volée :
 - poids de la paillasse ($e = 16 \text{ cm}$) $\cdot 3,4 = 400 \frac{\text{kg}}{\text{m}^2}$
 - poids des marches (10 marches, $g = 30 \text{ cm}$, $h = 16,25 \text{ cm}$) $= 187 \text{ "}$
 - garde corps $. = 60 \text{ "}$
 - carrelage + mortier de pose $. = 72 \text{ "}$
-
- $g = 668 \frac{\text{kg}}{\text{m}^2}$

- ... palier :
 - revêtement carrelage + mortier $. = 72 \frac{\text{kg}}{\text{m}^2}$
 - Dalle pleine BA ($e = 16 \text{ cm}$) $. = 400 \text{ "}$

.. surcharges : $250 \frac{\text{kg}}{\text{m}^2}$.

$g = 472 \frac{\text{kg}}{\text{m}^2}$

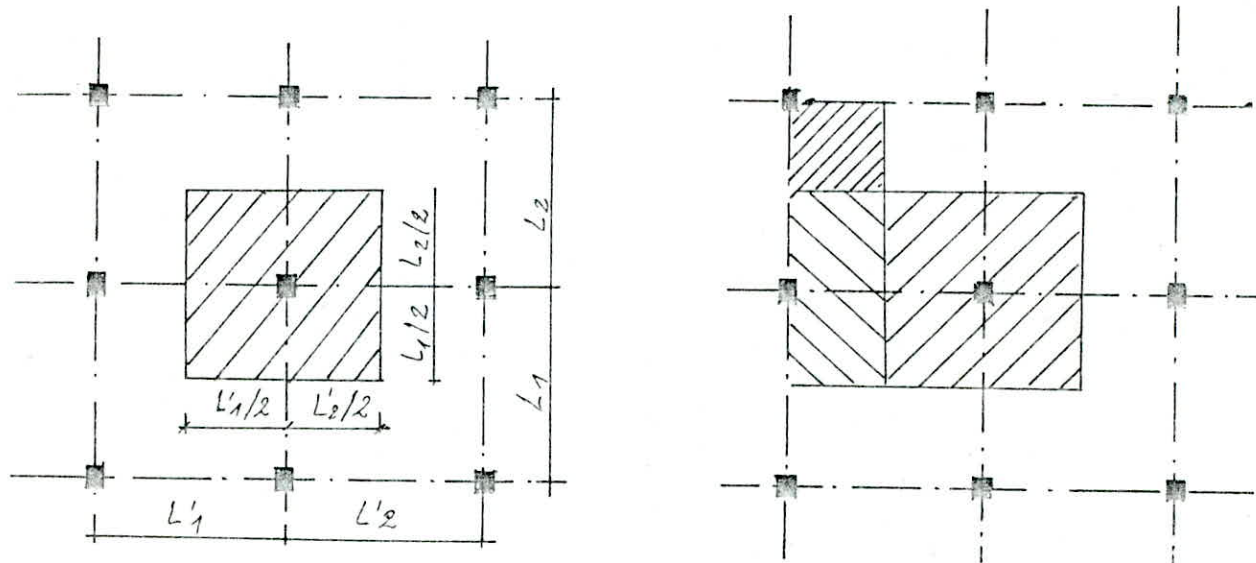
Charges linéaires :

- a) poutre $= 0,30 \times 0,40 \times 2500 = 300 \frac{\text{kg}}{\text{ml}}$
- b) poteaux $= 0,30 \times 0,30 \times 2500 = 225 \frac{\text{kg}}{\text{ml}}$
- c) voiles $= 0,30 \times 3,25 \times 2500 = 2437 \frac{\text{kg}}{\text{ml}}$

Recapitulatif.	Planchers		Escaliers	
	Terrasse	courant + RDC	volée	palier
ch. perma. $G \frac{\text{kg}}{\text{m}^2}$	509	627	668	472
surch. $Q \frac{\text{kg}}{\text{m}^2}$	100	250	250	250

II .3.2) Descente de charge sur un poteau . La descente de charge à un niveau donné du poteau est calculée en tenant compte de son poids propre et de toutes les charges constituées par les divers planchers situées au dessus de ce niveau de plancher.

La charge est évaluée en proportion de la surface de plancher qui peut-être affectée au poteau considéré :



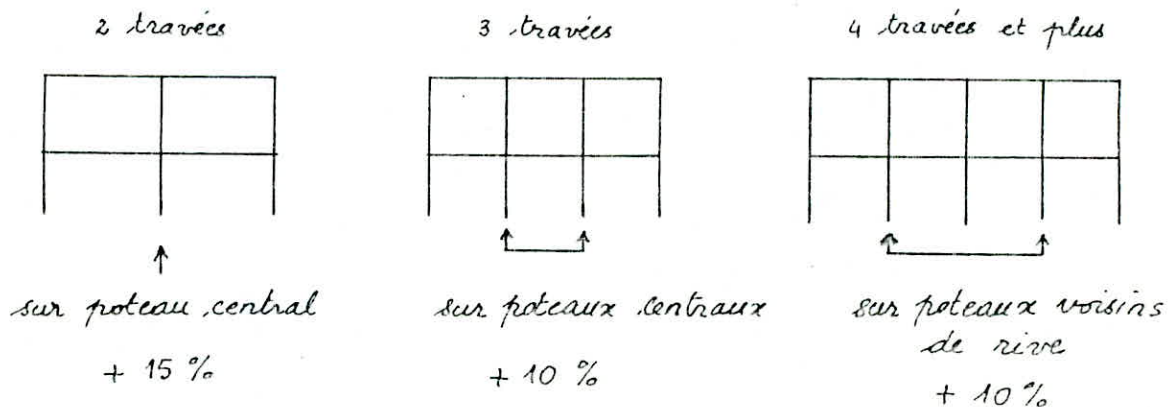
Comme le montrent les schémas ci-dessus, le calcul de la charge de chaque plancher est effectué dans l'hypothèse de la discontinuité des portes qui reportent les charges sur les poteaux.

L'abécédaire de la descente par niveau.

poteaux	surface revenant (m^2)	Étage Courant		Écrasse	
		G (t)	Q (t)	G (t)	Q (t)
(A-1), (A-3)	6,75	6,76	1,69	5,97	0,67
(B-1), (C-1) (B-3), (C-3)	13,5	11,44	3,37	9,85	1,35
(D-1), (D-3) (E-1), (E-3)					
(G-2), (H-2)	13,5	11,44	3,37	9,85	1,35
(F-3)	6,75	6,76	1,69	5,97	0,67
(F-1)	13,5	11,44	3,37	9,85	1,35
(I-1)	9	8,62	2,25	7,56	0,9
(I-3)	4,5	4,9	1,12	4,37	0,45
(H-3)	6,75	6,76	1,69	5,97	0,67
(H-1)	13,5	11,44	3,37	9,85	1,35

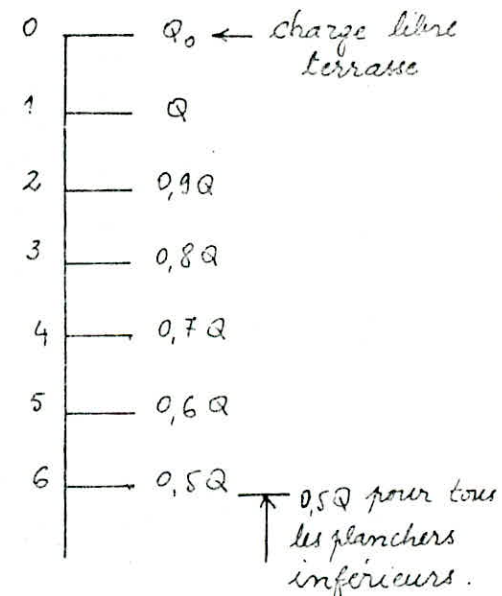
Le portique le plus sollicité est désigné par (1-1), on choisit un poteau intermédiaire.

Pour tenir compte de l'accroissement des réactions d'appui des portes sur les poteaux du à l'effet de continuité des portes, il y a lieu d'appliquer des majorations forfaitaires des descentes de charge (permanentes + libres) pour certains poteaux de l'ossature, selon les indications des schémas suivants



Dégression de la charge libre en fonction du nombre de niveaux :

Niveau	SOUS G (t)	SOUS Q (t)
3 ^e	n_1 9,12 + 10 %	1,35
	n_2 9,85 + 10 %	
	n_3 20,56 + 10 %	4,72 + 10 %
2 ^e	n_4 21,29 + 10 %	5,19
	n_5 32,00 + 10 %	7,75 + 10 %
1 ^e	n_6 32,37 + 10 %	8,52
	n_7 43,44 + 10 %	10,44 + 10 %
	n_8 44,77 + 10 %	11,48
	n_9 54,88 + 10 %	
	n_{10} 55,61 + 10 %	12,79
	n_{11} 66,32	



II - 3.3 Combinaison des actions: des calculs sont menés à l'E.L.U selon les règles B.A.E.L.
Nous appelons :

- N_G = l'effort normal résultant des poids morts et charges permanentes
- N_Q = l'effort normal résultant des charges libres (d'exploitation)

Pour les poteaux non concernés par le contreventement :

$$N_u = 1,35 \cdot N_G + 1,5 \cdot N_Q$$

Recapitulatif des efforts dans les poteaux :

Poteaux	Surface revêtante (m^2)	N_G (t)	N_Q (t)	N_u (t)
A (1, 3) F (3) H (3)	6,75	39,03	6,42	62,3
B (1, 3) C (1, 3) D (1, 3) E (1, 3) ; G (2) H (2) ; F (1) ; H (1)	13,5	66,32	12,79	108,7 (*)
I (1)	9	49,93	8,54	80,21
I (3)	4,5	33,54	4,25	51,65

Vérification de la section transversale des poteaux :

(*) Menons cette vérification pour le poteau le plus sollicité qu'est : (B-1) et qui supporte une charge pondérée de $N_u = 108,7$ t.

Pour cela, on calculera la section d'armature nécessaire A_{snec} et vérifier par la suite qu'elle satisfait la condition suivante :

$$A_{smin} \leq A_{snec} \leq A_{smax}$$

où :

$$A_{smin} = \text{Max} \left[4,41 ; 0,2 \cdot \frac{A_b}{700} \right] \quad \text{avec: } u = \text{périmètre (en m) de la section}$$

$$A_{smax} = 5 \cdot \frac{A_b}{700}$$

$$u = 4 \times 0,3 = 1,2 \text{ m}$$

$$A_b = \text{aire de cette section}$$

$$A_b = 30 \times 30 = 900 \text{ cm}^2$$

$$\text{on trouve : } A_{s\min} = 4,8 \text{ cm}^2.$$

$$A_{s\max} = 45 \text{ cm}^2.$$

$$A_{s\text{néc}} \geq \frac{1}{0,85 \cdot f_{su}} \left[1,1 \cdot \alpha \cdot N_u - A_{b2} \cdot \frac{f_{bu}}{0,9} \right]$$

où : $f_{su} = \frac{f_c}{\gamma_s} = \frac{400}{1,15} = 348 \text{ MPa} \approx 3480 \text{ kg/cm}^2$

$f_{bu} = \frac{0,85 \cdot f_{c28}}{\gamma_b} = \frac{0,85 \cdot 32}{1,5} = 14,2 \text{ MPa} \approx 142 \text{ kg/cm}^2$

$A_{b2} = (30 - 2)^2 = 784 \text{ cm}^2$: section réduite du béton.

• 1,1 indique que plus de la moitié des charges sont appliquées avant 90 jours.

• $\lambda = \frac{l_f}{x}$; $i = \frac{h}{\sqrt{12}} = \frac{0,30}{\sqrt{12}} = 8,66 \cdot 10^{-2}$ (rayon de giration)

$\lambda = \frac{3,25}{8,66 \cdot 10^{-2}} = 37,48$: (Elongement mécanique du poteau)

d'où :

$$\alpha = 1 + 0,2 \left(\frac{37,48}{35} \right) = 1,23 \quad \overbrace{1}^{(\text{coeff tenant compte du flambage})}$$

et :

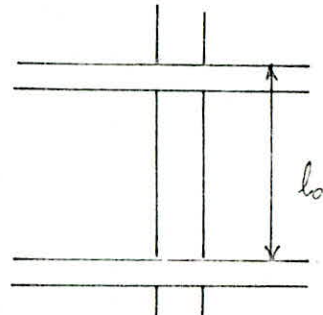
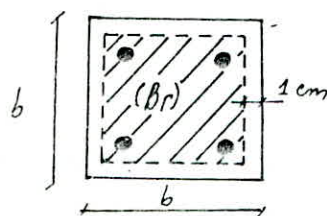
$$A_{s\text{néc}} \geq \frac{1}{0,85 \cdot 3480} \left[1,1 \cdot 1,23 \cdot 108,7 \cdot 10^3 - 784 \cdot \frac{142}{0,9} \right]$$

$$A_{s\text{néc}} \geq 7,56 \text{ cm}^2 \text{ soit } \underline{4T16} \quad (A_{eff} = 8,04 \text{ cm}^2)$$

Conclusion : on a bien que $A_{s\min} < A_{s\text{néc}} < A_{s\max}$ et par conséquent on garde la section $30 \times 30 \text{ cm}^2$ pour tous les poteaux.

II - 4 : Capacité portante des poteaux scope : cette capacité portante est déterminée à l'état limite ultime selon l'art 8.8.4 du BAEZ. Elle est notée P_u .

II - 4.1 Calcul de P_u pour les poteaux scope:



section réduite : $B_r = (b-2)^2$

Élançement : $\lambda = 3,46 \cdot l_c/b$

. $l_c = l_0$ pour les poteaux d'angle et de façade

. $l_c = l_0$ pour les poteaux intérieurs. Lorsque les deux extrémités s'encastrent sur un ressaut de poutres dans les deux directions, il peut éventuellement être pris $l_c = 0,7 \cdot l_0$

Les conditions d'un bon encastrement des poteaux n'étant pas systématiques, nous prendrons dans tous les cas $l_c = l_0$.

. A_s : section totale des aciers

La capacité portante d'un poteau scope est :

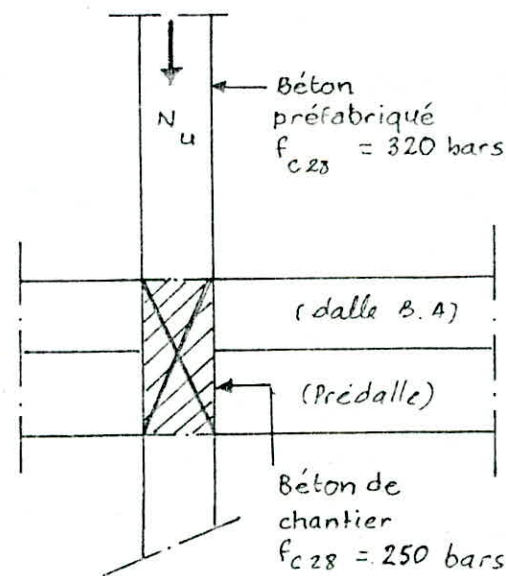
$$P_u = \beta [0,57 \cdot f_{c28} \cdot B_r + 0,67 \cdot f_e \cdot A_s]$$

β est un coefficient égal ou inférieur à 1. Il diminue la capacité portante lorsque l'élançement augmente (prise en compte du flambement)

. si $\lambda \leq 50$ $\beta = \frac{1}{1 + 0,2 (\lambda/35)^2}$

. si $\lambda > 5$ et $\lambda \leq 100$ $\beta = 0,71 \cdot (50/\lambda)^2$

II 4.2 : Vérification des poteaux scope



La technique du poteau scope fait intervenir deux bétons de résistance différentes, comme l'indique le schéma ci-dessus.

Nous appelons P_{u0} la capacité portante des sections situées au niveau du nœud réalisé avec un béton courant de chantier, et P_{u1} la capacité portante des sections courantes du poteau réalisées avec le béton préfabriqué.

Il faut vérifier la double inégalité :

$$N_u \leq P_{u0}$$

$$N_u \leq P_{u1}$$

Les poteaux étant toujours supposés articulés à leurs extrémités, les sections du nœud sont considérées ne pas être affectées par des effets de flambement et P_{u0} est calculée avec $\beta = 1$ et f_{c28} du béton de chantier.

P_{u1} est déterminée avec f_{c28} du béton préfabriqué et β correspondant à l'élancement.

Exemple de calcul: soit le poteau le plus sollicité (B-1) de $30 \times 30 \text{ cm}^2$

$$\text{ où: } N_u = 108,7 \text{ t} ; l_c = l_o = 3,25 \text{ m} ; A = 4T/G = 8,04 \text{ cm}^2$$

Pour le béton préfabriqué: $f_{c28} = 320 \text{ kg/cm}^2$; $\beta = 0,81 = 1/\lambda = 1/1,23$

$$P_{u1} = 0,81 [0,57 \cdot 320 \cdot 784 + 0,67 \cdot 4000 \cdot 8,04] = 133,28 \text{ t}$$

Pour le béton de chantier: $f_{c28} = 250 \text{ kg/cm}^2$; $\beta = 1$.

$$P_{u0} = 1 [0,57 \cdot 250 \cdot 784 + 0,67 \cdot 4000 \cdot 8,04] = 133,26 \text{ t}$$

on a bien:

$$N_u = 108,7 \text{ t} < P_{u1} = 133,28 \text{ t}$$

$$N_u = 108,7 \text{ t} < P_{u0} = 133,26 \text{ t}$$

Pour le reste des poteaux:

poteaux	Section (cm^2)	Section réduite $B_r (\text{cm}^2)$	$l_c = l_o$ (m)	λ	β	N_u (t)	P_{u1} (t)	P_{u0} (t)	Observation
A (1, 3) F (3) H (1)	30×30	784	3,25	37,48	0,81 1	62,3	133,28	133,26	$N_u < P_{u0}$ $N_u < P_{u1}$
B (1, 3) C (1, 3) D (1, 3) E (1, 3) G (2) H (2) F (1); H (1)	30×30	784	3,25	37,48	0,81	108,7	133,28	133,26	"
I (1)	30×30	784	3,25	37,48	0,81 1	80,21	133,28	133,26	"
I (3)	30×30	784	3,25	37,48	0,81 1	51,65	133,28	133,26	"

Remarques: Etant donné la section $(30 \times 30) \text{ cm}^2$ est très répandue dans la construction, Nous avons jugé important de donner ci-après les différents ferrailages utilisés en fonction des capacités portantes des poteaux.

Poteau 30×30

P_u en dan (E. L. U.)

longueur de flambement l_c

		2,60	2,70	2,80	2,90	3,00	3,10	3,20	
4T14	200			105885					4.43
	250			128230					
4T16	200			110815					4.45
	250			133160					
4T20	200			123035					4.38
	250			145380					
4T25	299			141905					4.17
	250		164245		2.96	163560	161765	159955	
4T32	200			175565					3.75
	250		197910	2.80	193795	191715	189615	187495	

f_{c28} du béton de chantier.

II - 5 Ferrailage des poteaux scope :

- Armatures longitudinales : comme nous l'avions déjà calculé au paragraphe (Vérification de la section trans. du II-3.3), nous adoptons.

4T16 ($A_s = 8,04 \text{ cm}^2$) pour tous les poteaux.

- Armatures transversales :

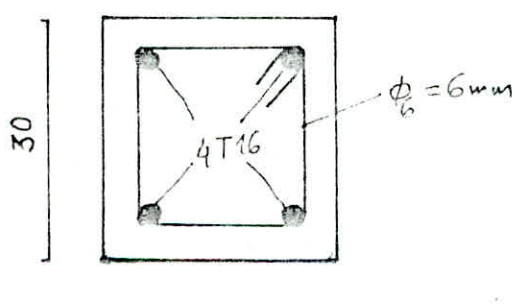
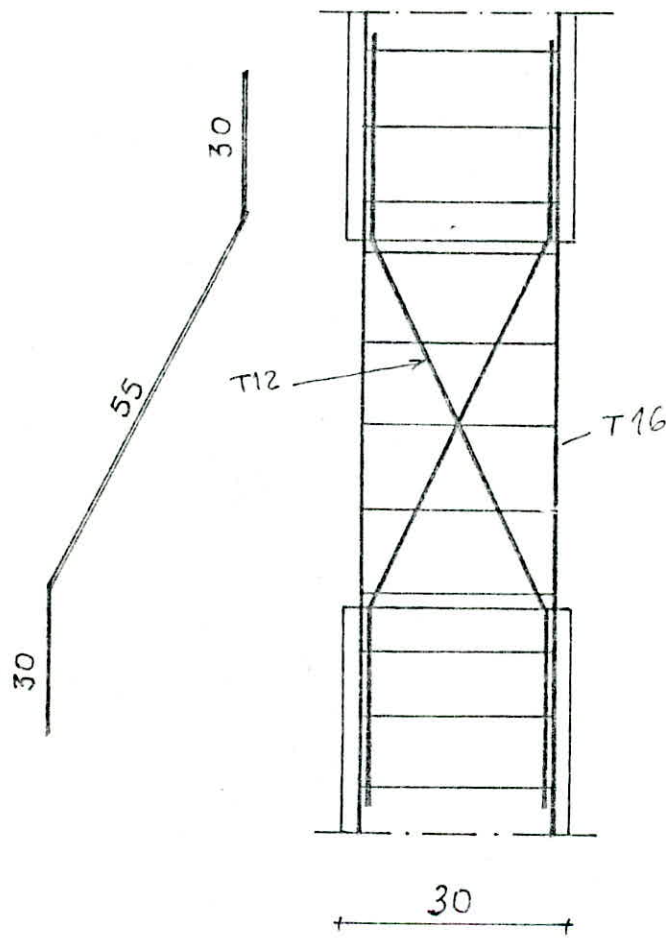
Diamètre : $\phi_t > \frac{\phi_l}{3} = \frac{16}{3} \approx 6 \text{ mm}$ pour les cadres

Espacement des cadres : $t \leq \min \begin{cases} 15\phi_t = 15 \cdot 1,6 = 24 \text{ cm} \\ 40 \text{ cm} \\ a + 10 \text{ cm} = 30 + 10 = 40 \text{ cm} \end{cases}$

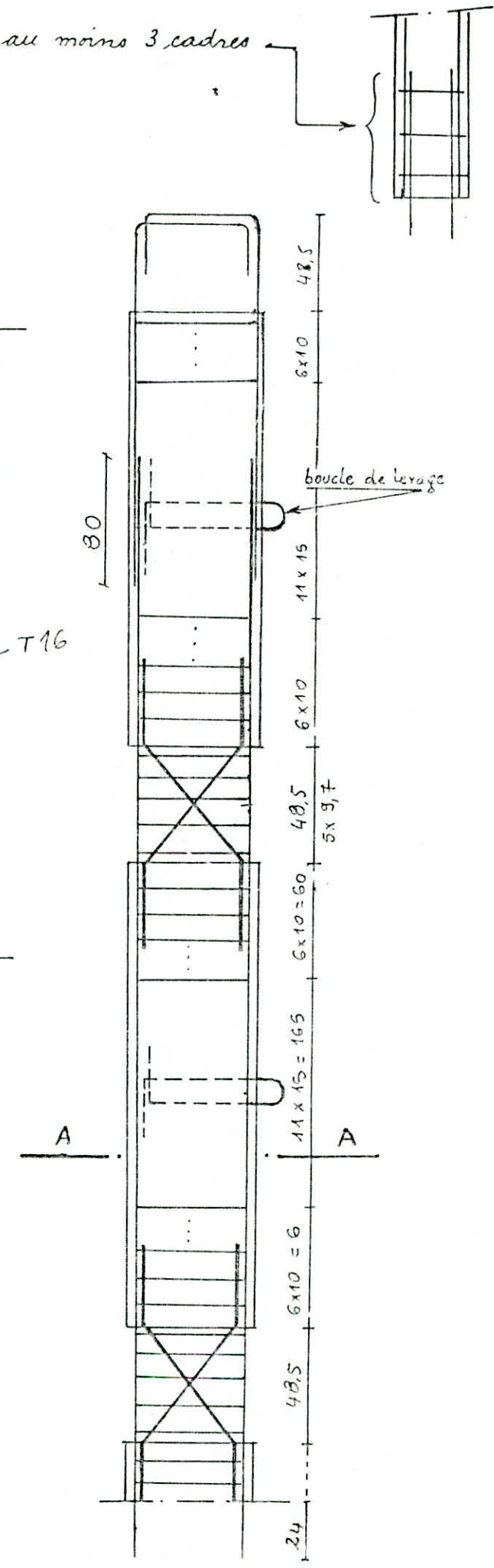
$t_{max} = 25$ cm. en zone courante.

Pour la zone de recouvrement, il faut au moins 3 cadres.

Schemas de ferrailage



COUPE A - A



II - 6 : Liaison des poteaux scope avec les fondations: Les poteaux de notre ouvrage sont reliés aux fondations par le procédé « Armature » :

Les armatures du poteau de diamètre $\phi = 1,6 \text{ cm}$ sont ancrées dans les tubes sur $15 \phi = 15 \cdot 1,6 = 24 \text{ cm}$ selon les prescriptions du procédé armature.

La liaison aux fondations s'établit par recouvrement entre les tubes de diamètre extérieur ϕ_t et les armatures en attente dans les fondations. Ces attentes s'établissent à raison de deux armatures par tube et leur diamètre doit-être tel que :

$$\phi_1 > \frac{\phi}{\sqrt{2}} = \frac{1,6}{\sqrt{2}} = 1,13 \text{ cm}, \text{ on prend } \phi_1 = 1,4 \text{ cm}$$

La longueur de recouvrement entre les armatures ϕ_1 et les tubes doit être la plus grande des deux valeurs suivantes :

$$l_r \geq \max \left\{ \begin{array}{l} 0,34 \cdot \frac{\phi^2}{\phi_t} \cdot \frac{f_c}{\bar{\epsilon}_s} \\ 0,15 \cdot \phi_1 \cdot \frac{f_c}{\bar{\epsilon}_s} \end{array} \right.$$

où :

f_c : la limite élastique des armatures H.A.

$\bar{\epsilon}_s$: la contrainte d'adhérence à l'E.L.U des armatures.

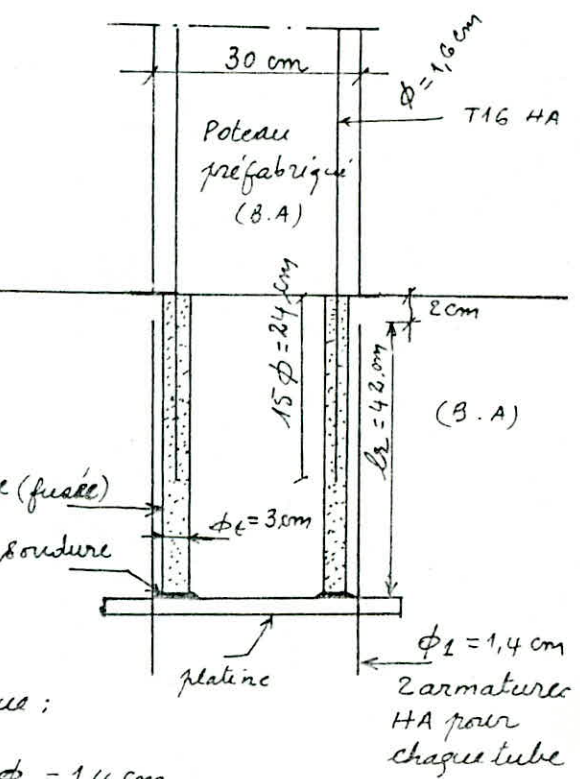
selon l'article A.6.12 du BAEL on trouve : $\bar{\epsilon}_s = 28 \text{ bars}$ si $f_{c28} = 280 \text{ ba}$

$$l_r \geq \max \left\{ \begin{array}{l} 0,34 \cdot \frac{1,6}{3} \cdot \frac{4000}{28} = 41,4 \text{ cm} \\ 0,15 \cdot 1,4 \cdot \frac{4000}{28} = 30 \text{ cm} \end{array} \right. = 41,4 \text{ cm}.$$

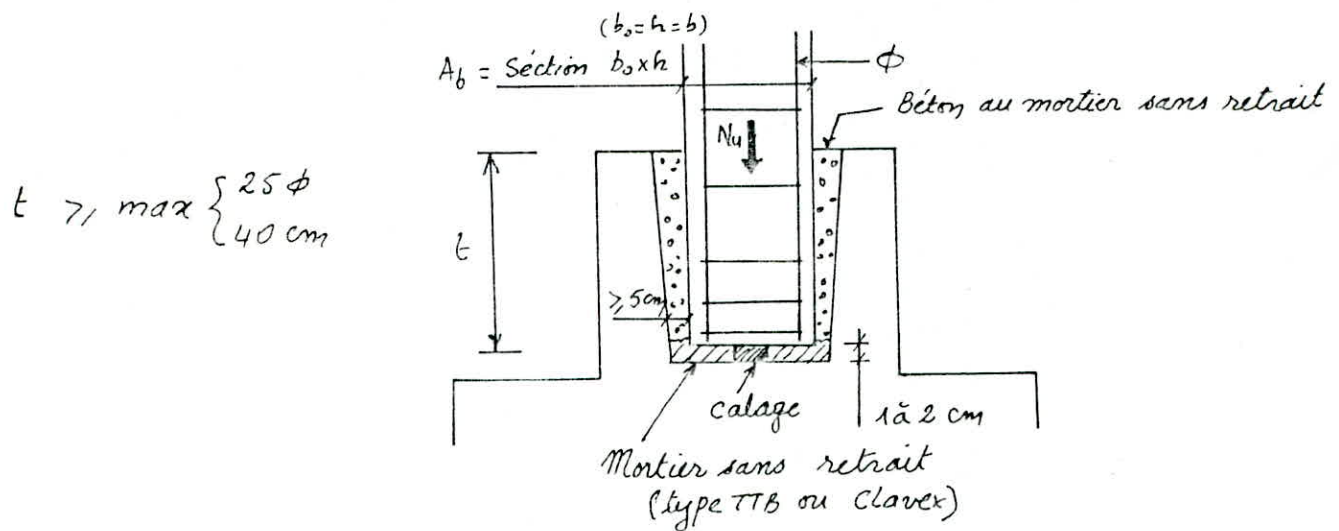
$$l_r = 42 \text{ cm}$$

Remarques:

- De manière pratique lorsque $(l_r + 2 \text{ cm}) = 44 \text{ cm}$ est inférieur à l'épaisseur à l'épaisseur du plancher h on donne en général à ces tubes une longueur égale à h pour faciliter leur pose sur l'arase du massif de fondation.



2. Lorsque b_s est supérieur à h , les tubes doivent être mis en œuvre au moment de la réalisation du dé de fondation.
3. Il existe un autre type de liaison des poteaux scopé avec les fondations, il s'agit de « liaison par fondation à encouvrement »



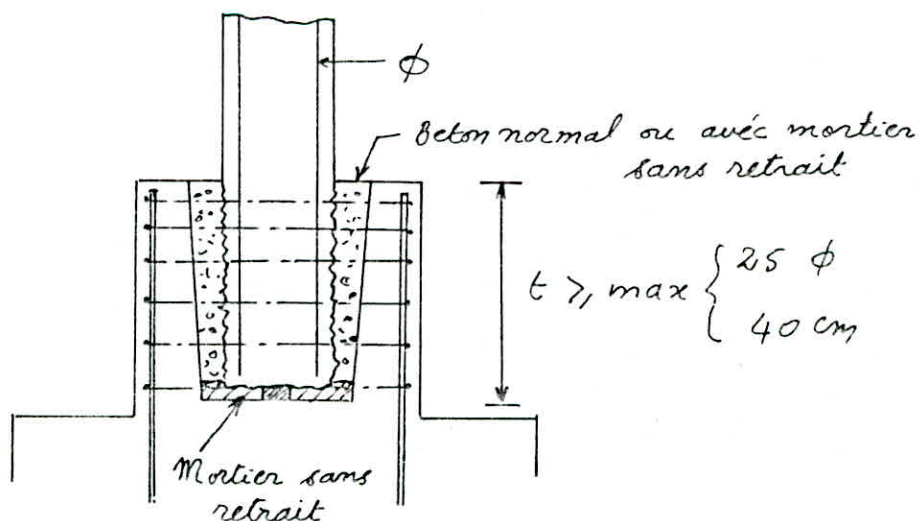
Au niveau du contact en pied de poteau la section est sans acier et fonctionne en compression centrée. À l'état limite ultime on admet :

$$\frac{N_u}{A_b} \leq f_{bu} = \frac{0,85}{1,5} \cdot f_{c28} = 0,57 \cdot f_{c28}$$

f_{c28} : la résistance la plus faible du poteau ou du mortier sans retrait.

Il faudra donc vérifier : $N_u \leq P_u$.

Si cette condition n'est pas vérifiée il y aura lieu d'adopter des dispositions qui permettent la diffusion de l'effort normal le long des faces du poteau selon le principe schématisé ci-après :

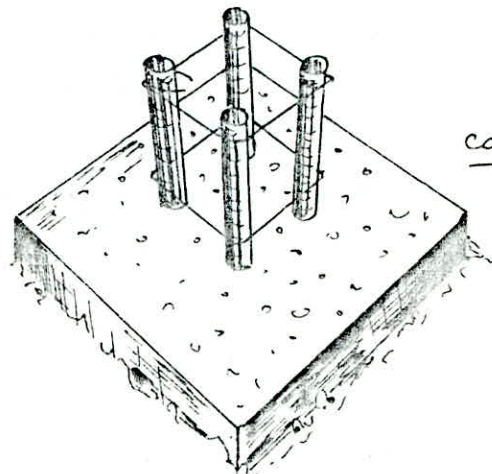
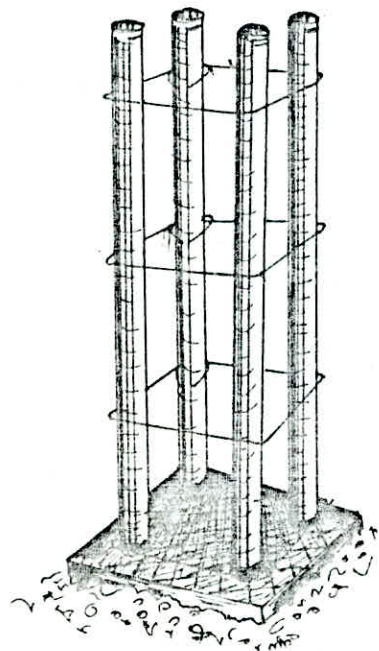


La rugosité des 4 faces en pied peut par exemple être obtenue par la mise en œuvre dans le coffrage d'un métal déployé.

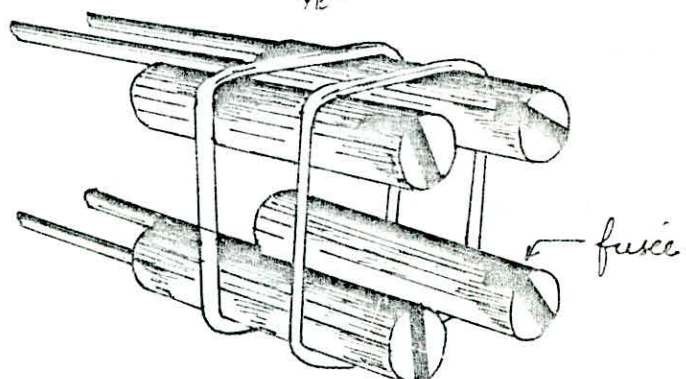
Procédé Armatube: ce procédé peut être utilisé directement à partir des fondations (cas des terrains à forte déclivité).

En général, les tubes sont soudés sur une platine : cette pièce est posée, calée et réglée sur la semelle qui aura été coulée environ 2 cm plus bas que la côte nominale. Comme il n'y a pas de longrines de dallage, on peut utiliser 4 étais classiques par poteau appuyés au sol sur des cales en bois et en tête sur une clorette métallique bridée sur le poteau (4 étais par poteau de § suivant).

Cas (2):
Les 2 cas du scellement
(ARMATUBE):

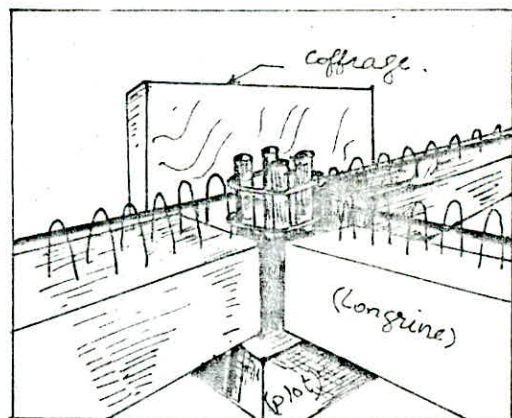


Cas (1):



fusée

- Dans le cas (1) on met en place les tubes de scellement (ARMATUBE) du poteau et on coffre l'espace libre entre les longrines. Après vérification de la position des tubes (entre-axes, alignement), on coule le neud autour des tubes et sur la hauteur des longrines, à l'aide d'un béton de mignonette dosé à 400 kg/m³ CPA 55.



- Dans le cas (2) on nivelle à l'aide de cales l'appui (2 à 3 cm) puis on pose les tubes soudés sur leur platine sur un mortier sans retrait qui sert de scellement provisoire après le réglage des alignements et de la hauteur des tubes.

Important: Avant prise de ce béton, on vérifie une dernière fois la parfaite position des tubes : tolérance 1° aux cotes nominales ± 0 cm en plan, ± 1 cm en hauteur.

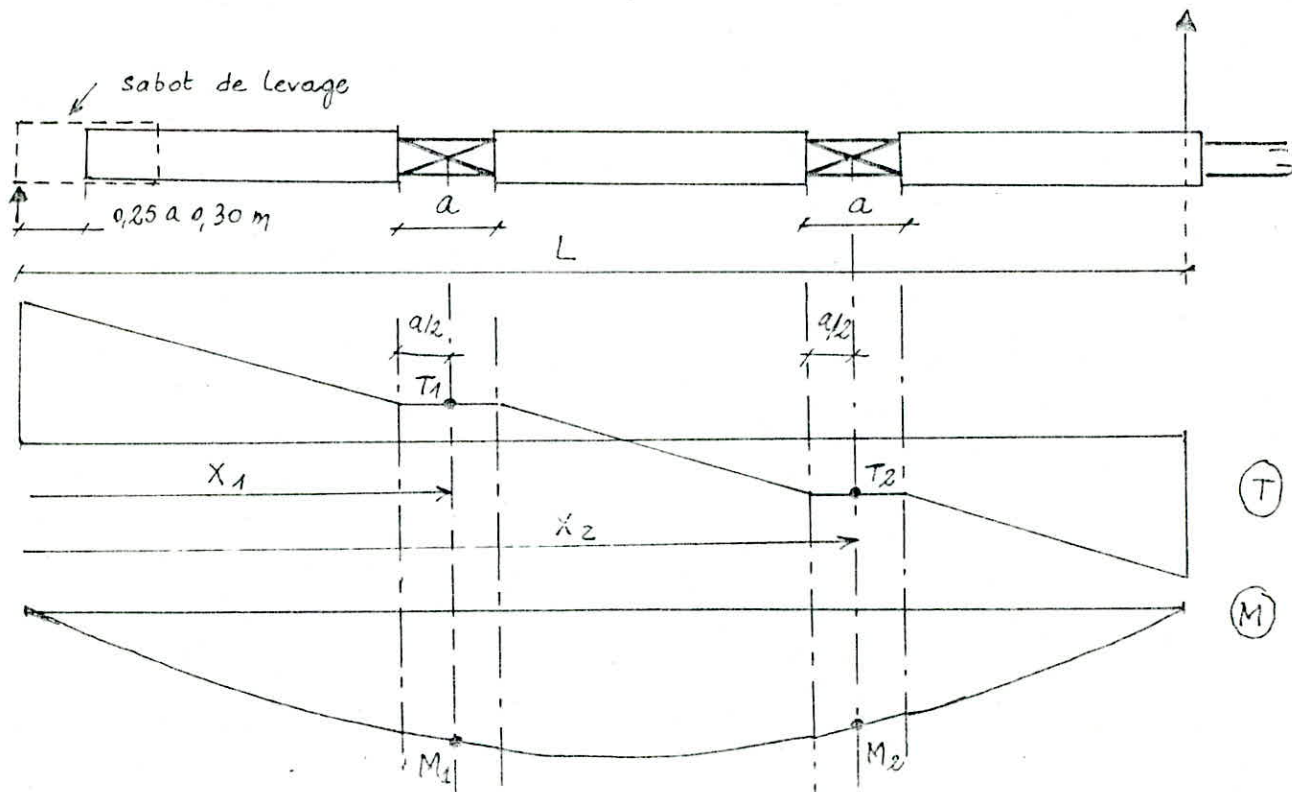
Remarque: Les poteaux de notre ouvrage sont scellés suivant le cas (2).

II - 7. Vérification à la manutention: La vérification à la manutention consiste essentiellement à vérifier le bon dimensionnement des aciers au niveau du diabolo.

Le calcul est réalisé en appliquant les règles des constructions métalliques (CM66). Selon ces règles, la charge de calcul est à pondérer par $4/3$. En outre, nous conservons un coefficient de majoration dynamique égal à $1,2$. Par conséquent, de manière globale, il faut prendre :

$$g_1^* = 1,6 \cdot g_1$$

(g_1 étant le poids au ml du poteau)



Comme l'indique le schéma ci-dessus, il y a lieu de calculer l'effort tranchant et le moment fléchissant aux abscisses x_1, x_2, \dots, x_n correspondant à chaque milieu de diabolo. Ces efforts sont calculés avec $g_1^* = 1,6 \cdot g_1$.

Pour le diabolo n , il faut vérifier les relations suivantes :

- Dans les diagonales : $T_n \leq T_{nu}$

- Dans les membrures : $M_n \leq M_{nu}$

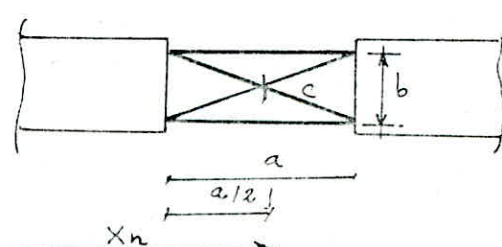
où : T_{nu} et M_{nu} sont respectivement l'effort tranchant et le moment fléchissant résistant à l'E.C.U.

$$T_{nu} = F_d \cdot \frac{4b}{c} \quad ; \quad M_{nu} = F_m \cdot 2b \quad ; \quad c = \sqrt{a^2 + b^2}$$

où : \rightarrow (à mettre en équation) \leftarrow

F_d et F_m sont les efforts à l'E.C.U. en compression pour une barre diagonale ou une barre longitudinale calculée comme suit :

$$F = A \cdot \frac{\sigma_c}{K}$$



- où : A = section de la barre.
 σ_e = limite élastique de l'acier.
 K = un coefficient qui diminue σ_e pour tenir compte des effets de flambement des barres.

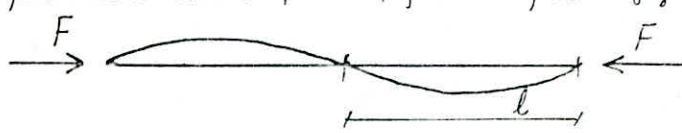
$$K = 0,5 + 0,65 \cdot u + \sqrt{0,42 \cdot u^2 - 0,35 \cdot u + 0,25}$$

avec:

$$u = \frac{\sigma_e}{\sigma_k} \quad ; \quad \sigma_k = \text{contrainte critique.}$$

$$\sigma_k = \frac{\pi^2 E_a}{\lambda^2} \quad ; \quad \lambda = \text{élançement mécanique de la pièce comprimée (poteau)}$$

Pour les cages considérées les essais montrent que les barres sont suffisamment maintenues dans leur partie centrale et que l'on peut adopter la figure suivante:



l = longueur de flambement

$$l = \begin{cases} \frac{a}{2} & \text{pour les membrures} \\ \frac{c}{2} & \text{pour les diagonals.} \end{cases}$$

$$\lambda = \frac{l}{i} = \frac{l}{\sqrt{\frac{I}{A}}} \quad ; \quad I = \frac{\pi \phi^4}{64} \quad = \text{moment d'inertie.}$$

$$A = \frac{\pi \phi^2}{4} \quad = \text{section de la barre.}$$

d'où:

$$\lambda = 4 \frac{l}{\phi}$$

Valeurs de u :

• Pour une barre longitudinale:

$$l = \frac{a}{2} \Rightarrow \lambda = 4 \frac{l}{\phi} = 2 \cdot \frac{a}{\phi}$$

$$u = \frac{\sigma_e}{\sigma_k} = \frac{\sigma_e}{\pi^2 E_a} \cdot \lambda^2 = \frac{\sigma_e}{\pi^2 E_a} \cdot \frac{4 \cdot a^2}{\phi^2} \quad ; \quad \pi^2 \approx 10$$

$$\text{soit: } u = \frac{\sigma_e}{2,5 \cdot E_a} \cdot \frac{a^2}{\phi^2}$$

• Pour une barre diagonale:

$$l = \frac{c}{2} \Rightarrow \lambda = 4 \frac{l}{\phi} = 2 \cdot \frac{c}{\phi} \quad ; \quad c = \sqrt{a^2 + b^2}$$

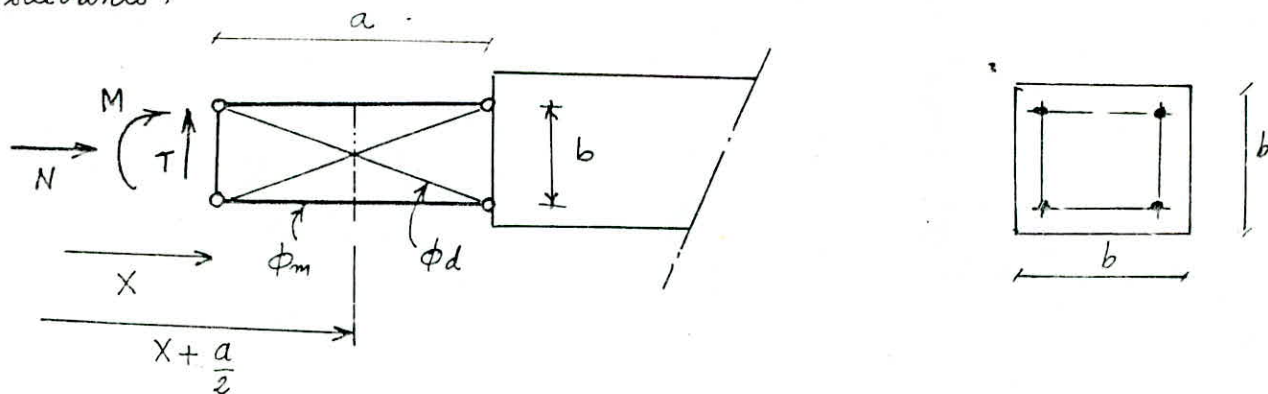
$$u = \frac{\sigma_e}{\sigma_k} = \frac{\sigma_e}{\pi^2 E_a} \cdot \lambda^2 = \frac{\sigma_e}{\pi^2 E_a} \cdot \frac{4 \cdot c^2}{\phi^2} = \frac{\sigma_e}{\pi^2 E_a} \cdot \frac{4 (a^2 + b^2)}{\phi^2}$$

$$\text{soit: } u = \frac{\sigma_e}{2,5 \cdot E_a} \cdot \frac{a^2 + b^2}{\phi^2}$$

E_a = module d'élasticité de l'acier ($E_a = 2 \cdot 10^6$ bars).

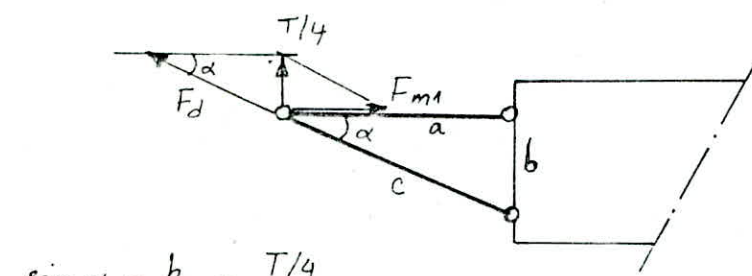
(cours CM66
pièce à parois pleines
soumise à l'compression
centrée).

MISE EN EQUATION: Les efforts agissant sur la cage métallique du diabolo mécano-soudé sont calculés à partir des schémas de calcul suivants :



Les barres sont supposées articulées. L'effort tranchant donne la décomposition d'efforts suivante.

② Les Forces F_d et F_m :



$$\sin \alpha = \frac{b}{c} = \frac{T/4}{F_d}$$

$$\Rightarrow F_d = \frac{T}{4} \cdot \frac{c}{b} = \frac{T}{4} \cdot \frac{\sqrt{a^2+b^2}}{b} \quad \text{et} \quad T = F_d \cdot \frac{4 \cdot b}{c}$$

Dans les diagonales, l'effort de compression (ou de traction) est : F_d .

$$F_d = \frac{T}{4} \cdot \frac{\sqrt{a^2+b^2}}{b}$$

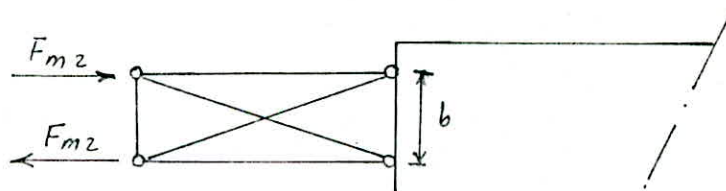
$$\operatorname{tg} \alpha = \frac{b}{a} = \frac{T/4}{F_{m1}} \Rightarrow F_{m1} = \frac{T}{4} \cdot \frac{a}{b}$$

Dans les membrures, l'effort de compression (ou de traction) est : F_m

$$F_{m1} = \frac{T}{4} \cdot \frac{a}{b}$$

Le moment de flexion donne :

$$F_{m2} = \frac{M}{2b} \Rightarrow M = F_m \cdot 2 \cdot b \quad M$$



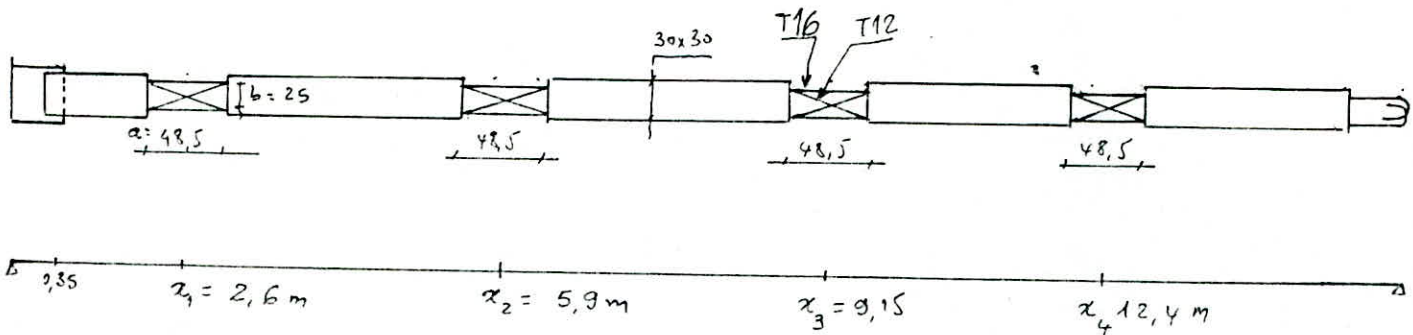
En conclusion, sous l'effet combiné de T et M , F_m sera :

$$F_m = F_{m1} + F_{m2} = \frac{T}{4} \cdot \frac{a}{b} + \frac{M}{2b} = \frac{1}{2b} \left[\frac{T \cdot a}{2} + M \right] = \frac{M'}{2b}$$

avec : $M' = \left[\frac{T \cdot a}{2} + M \right]$ le moment à l'abscisse $x + \frac{a}{2}$ (au milieu de la cage)

si de plus il y a un effort normal N , la sollicitation résultante dans les barres longitudinales (membrures) devient : $F_M = \frac{M'}{2b} + \frac{N}{4}$

EXEMPLE DE CALCUL : soit le poteau (I-1) de section $30 \times 30 \text{ cm}^2$:



cas du diabolo courant :

$$\sigma_c = 4000 \text{ bars} \quad ; \quad a = 48,5 \text{ cm} \\ E_a = 2000000 \text{ bars} \quad ; \quad b = 25 \text{ cm} \quad ; \quad c = \sqrt{a^2 + b^2} = 54,56 \text{ cm}$$

• Pour une barre diagonale : $\mu = \frac{4000}{2,5 \cdot 2,15^6} \cdot \frac{48,5^2 + 25^2}{1,2^2} = 1,65$

• Pour une membrure : $\mu = \frac{4000}{2,5 \cdot 2,15^6} \cdot \frac{48,5^2}{1,2} = 1,30$

$$K_d(\text{diagonale}) = 0,5 + 0,65 \cdot 1,65 + \sqrt{1,14 - 0,58 + 0,25} = 2,47.$$

$$K_m(\text{membrure}) = 0,5 + 0,65 \cdot 1,3 + \sqrt{0,71 - 0,45 + 0,25} = 2,05$$

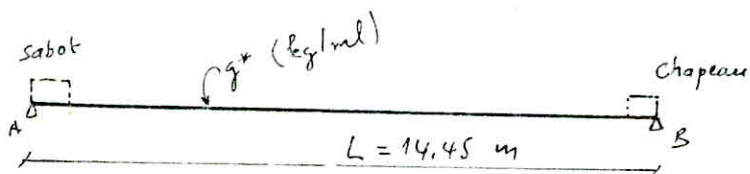
$$F_m = A_m \frac{\sigma_c}{K_m} = 2,01 \cdot \frac{4000}{2,05} = 3921,95 \text{ kg} = 39219,5 \text{ N}$$

$$F_d = A_d \cdot \frac{\sigma_c}{K_d} = 1,13 \cdot \frac{4000}{2,47} = 1829,95 \text{ kg} = 18299,5 \text{ N}$$

$$M_{ru} = F_m \cdot 2,6 = 3921,95 \cdot 2 \cdot 2,5 = 196097,5 \text{ kg} \cdot \text{sm} = 196097,5 \text{ N} \cdot \text{m}$$

$$T_{ru} = F_d \cdot \frac{4b}{c} = 1829,95 \cdot 4 \cdot \frac{25}{54,56} = 3354,01 \text{ kg} = 335401 \text{ N}$$

Schéma statique du poteau lors de la manutention :



$$L = 13,75 + 2 \times \text{Sabot} \cdot l = 13,75 + 2 \times 0,35 \\ L = 14,45 \text{ m}$$

$$g^* = 1,2 \cdot g = 1,2 \cdot 0,3 \cdot 0,3 \cdot 2500$$

$$g^* = 360 \text{ kg/m}$$

$$l_A = l_B = g^* \frac{l}{2} = 360 \cdot \frac{14,45}{2} = 2601 \text{ kg}.$$

$$T_x = g^* \left(\frac{l}{2} - x \right)$$

$$M_x = g^* \frac{l}{2} \cdot x - g^* \frac{x^2}{2} = g^* \frac{x}{2} (l - x) = 18 (14,45 - x) \cdot x$$

Position du diabolo	Valeurs de $\alpha(n)$	$T(z)$ (kg)	$M(z)$. kg.m	$T_x \leq T_{24}$	$M_z \leq M_{24}$	$M_{24} = 1960,97$ (kg.m)
x_1	2,65	1645,2	56286	verified	verified	
x_2	5,9	475,2	30801	"	"	
x_3	9,15	- 694,8	87291	"	"	
x_4	12,4	- 1864,8	45756	"	"	

Conclusion: La manutention est vérifiée pour le ferrailage adopté pour diabolo mécanosoudé qui est 1T12 pour les diagonales et 1T16 pour les membrures.

Vérification des poteaux en phase provisoire (Etalement):

Les vérifications sont à mener sous l'effet du vent appliqué aux poteaux mis en œuvre soutenus par des étais.

S'application des règles N.V pour le cas des pièces isolées conduit à considérer les pressions de vent suivantes sous vent normal en (daN/m^2)

sites	régions	I	II	III
Normal		75	105	135
exposé	X	100	136 (x)	188

La vérification est faite sous vent extrême selon:

$$V_{ext} = 1,75 \cdot V_{nor}$$

T et M sont alors calculés comme précédemment :

Données: $l+3$; poteau 30×30 .
Zone II; site normal

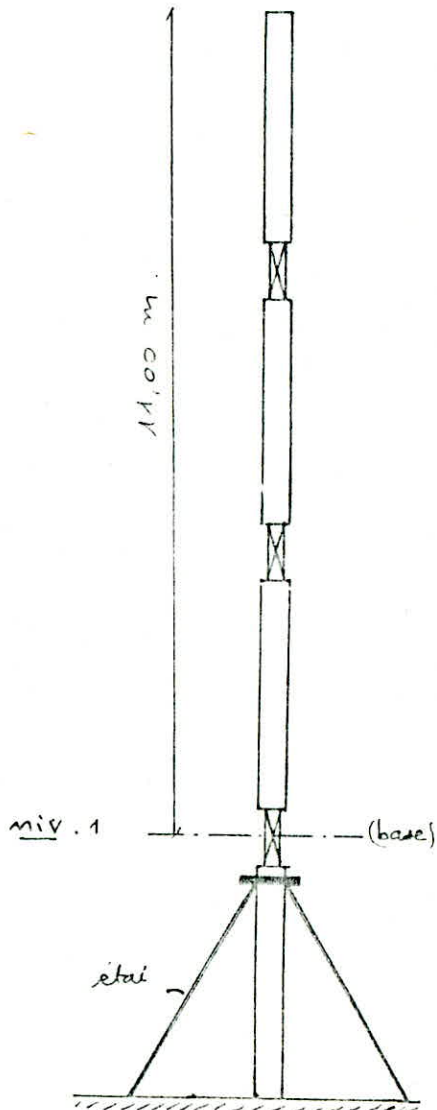
$$q_{ve} = 136 \cdot 0,30 \cdot 1,75 = 71,4 \text{ kg/m}$$

Vérification au niveau 1

- Diagonale . $\phi 12$.

$$T = 71,4 \cdot 11 = 785,4 \text{ kg}$$

$T < T_{24} = 3354,01 \text{ kg}$ (1^{er} tableau) vérifié.



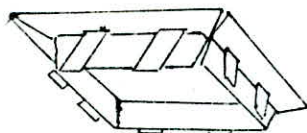
- membrure . $\phi 16$

$$M = 71,4 \cdot \frac{11^2}{2} = 4319,4 \text{ kg.m}$$

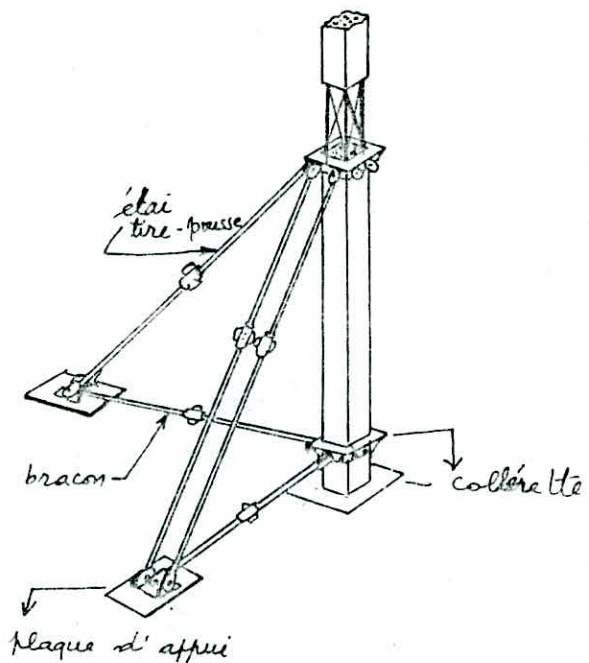
$M < M_{24} = 1960,97 \text{ kg.m}$ (1^{er} tableau) vérifié

Conclusion: La phase provisoire est vérifiée, donc pas de dégât lors de la pose des poteaux.

• Etalement des poteaux :

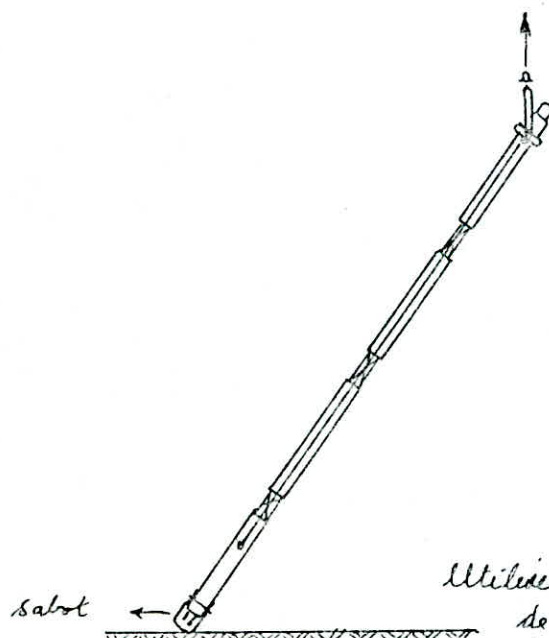


collerette



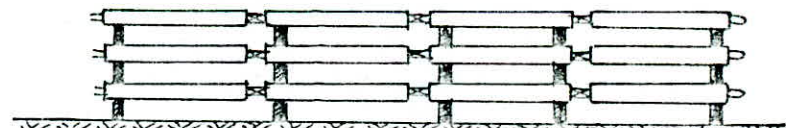
• Levage :

Utiliser le corcan de levage pour lever le poteau.



Utiliser le sabot de protection des aciers bras pour le relevage.

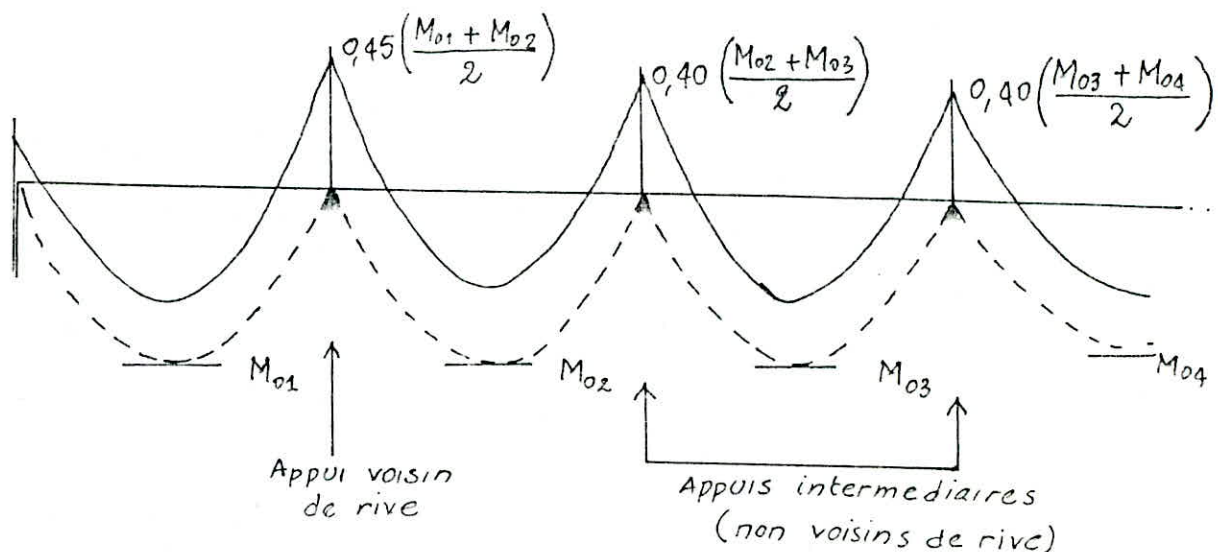
• Transport - manutention - stockage.



CALCUL DES POUTRES B.A

Introduction: Le domaine courant d'emploi de scope correspond au domaine des charges modérées, par ailleurs, les portées des travées sont en général égales ou de même ordre de grandeur. Compte tenu de ces remarques, les traverses seront calculées en poutres continues en négligeant la solidarité avec les poteaux.

Moments aux nœuds sous charges verticales: La valeur des moments sur appui est déterminée parfaitement comme suit : (Méthode parfaitaire)



Sur le poteau de rive (en l'absence de console) il y a lieu de mettre en place des armatures en chapeaux pour un moment parfaitaire égal à $0,15 M_{01}$. Le moment n'est pas pris en compte pour le dimensionnement de la première travée.

Pour les appuis autres que ceux de rive, M_0 est pris égal à la moyenne des moments en appuis libres des travées qui encadrent l'appui considéré.

Ces moments isostatiques sont calculés avec les hypothèses qui suivent :

- Portée entre murs des poteaux.
- Avec la totalité du poids propre, les charges permanentes et les charges libres si la poutre est étayée.
- Avec 60% du poids propre et la totalité des charges permanentes et libres si la poutre est posée sans étai.

Exemple de calcul d'une poutre en B.A préfabriquée:

$$\text{Poids propre} = 300 \text{ kg/ml}$$

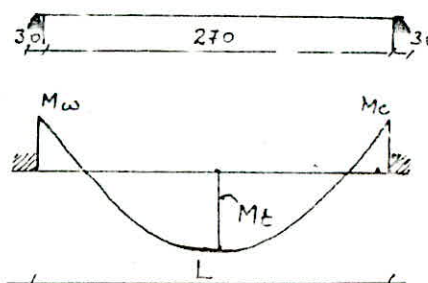
$$\text{Poids des murs} = 175 \text{ "}$$

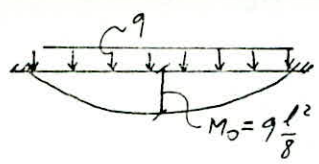
$$\text{Plancher} 25,00 \times 0,1 \times 1,2 = 300 \text{ "}$$

$$G = 775 \text{ kg/ml}$$

$$\text{Surcharges} (1,2) \times 250 \text{ "} = 300 \text{ kg/ml}$$

(largeur de la table)





$$M_o = \begin{cases} M_{o,g} = G \frac{l^2}{8} = \frac{0,775 \cdot 2,7^2}{8} = 0,71 \text{ t.m} \\ M_{o,s} = S \cdot \frac{l^2}{8} = \frac{0,3 \cdot 2,7^2}{8} = 0,27 \text{ t.m} \end{cases}$$

En tenant compte de la continuité :

$$\cdot M(\text{appuis voisin de rive}) = 0,45 \cdot M_o \begin{cases} 0,45 \cdot M_{o,g} = 0,32 \text{ t.m} \\ 0,45 \cdot M_{o,s} = 0,12 \text{ t.m} \end{cases}$$

$$\cdot M(\text{appui intermédiaire}) = 0,40 \cdot M_o \begin{cases} 0,40 \cdot M_{o,g} = 0,28 \text{ t.m} \\ 0,40 \cdot M_{o,s} = 0,108 \text{ t.m} \end{cases}$$

$$\cdot M(\text{appui de rive}) = 0,15 \cdot M_o \begin{cases} 0,15 \cdot M_{o,g} = 0,106 \text{ t.m} \\ 0,15 \cdot M_{o,s} = 0,04 \text{ t.m} \end{cases}$$

④ Ferraillage des poutres: Le calcul des armatures se fera à l'E.L.U, avec une fissuration peu nuisible (flexion simple).

$$M_u = 1,35 \cdot M_g + 1,5 \cdot M_s$$

En travée : le moment M_t en travée doit vérifier :

$$M_t \geq \varphi \cdot M_o - \frac{|M_{u,l}| + |M_{c,l}|}{2}$$

$$M_t \geq \frac{(\varphi + 0,2)}{2} \cdot M_o \quad \text{ou}$$

↑
cas d'une travée
de rive.

↑
cas d'une travée
intermédiaire

avec :

$$\varphi = \frac{G + 1,3 \cdot S}{G + S} \quad \text{et} \quad \varphi \geq 1,05$$

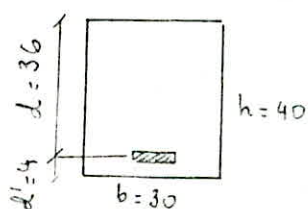
Pour le cas de la poutre ci-dessus : (poutre intermédiaire)

$$\varphi = \frac{775 + 1,3 \cdot 300}{775 + 300} = 1,45$$

$$M_t = \frac{\varphi}{2} \cdot M_o = \frac{1,45}{2} \cdot M_o = \begin{cases} 0,725 M_{o,g} = 0,51 \text{ t.m} = M_{t,g} \\ 0,725 M_{o,s} = 0,19 \text{ t.m} = M_{t,s} \end{cases}$$

$$\left[M_{t,u} = 1,35 \cdot M_{t,g} + 1,5 \cdot M_{t,s} = 0,97 \text{ t.m} \right]$$

$$M_{t,sér} = M_{t,g} + M_{t,s} = 0,51 + 0,19 = 0,70 \text{ t.m}.$$



Données : $f_{c28} = 25 \text{ MPa}$; $M_{t,u} = 0,97 \text{ t.m}$;
 $f_{bu} = 14,2 \text{ N/mm}^2$; $M_{t,sér} = 0,70 \text{ t.m}$;
 $f_c = 400 \text{ N/mm}^2$; fissuration peu nuisible;
 $f_{su} = 348 \text{ N/mm}^2$

$$\gamma = \frac{M_{t,u}}{M_{t,sw}} = \frac{0,9f}{0,70} = 1,38 \rightarrow \mu_{bu} = 0,31$$

$$\mu_{bu} = \frac{M_{t,u}}{bd^2 \cdot f_{bu}} = \frac{0,9f \cdot 10^3}{0,30 \cdot 36^2 \cdot 142} = 0,02 < \mu_{bu} \text{ donc pas d'acier comprimé}$$

Armatures tendues :

$$a.n : \alpha = 1,25(1 - \sqrt{1-2 \cdot \mu_{bu}}) = 1,25(1 - \sqrt{1-2 \cdot 0,02}) = 0,025 < 0,259$$

$$\text{bras de levier: } Z_b = \alpha(1 - 0,4 \cdot \alpha) = 0,36(1 - 0,4 \cdot 0,025) = 0,35$$

$$A_{su} = \frac{M_{t,u}}{Z_b \cdot f_{su}} = \frac{970 \cdot 10^3}{35 \cdot 3480} = 0,8 \text{ cm}^2$$

c'est faible comme section d'armature, on prendra donc le % minimal précisée par le RPA qui est de 3 cm² soit :

3 T 12 ($A_{eff} = 3,39 \text{ cm}^2$) pour toutes les poutres

Condition de non fragilité: (fiss peu nuisible).

$$\begin{aligned} \rho &= \frac{A_{eff}}{bd} = \frac{3,39}{30 \cdot 36} = 2,9 \cdot 10^{-3} \\ 0,23 \cdot \frac{f_{te28}}{f_e} &= 0,23 \cdot \frac{2,1}{400} = 1,21 \cdot 10^{-3} \end{aligned} \left\{ \begin{array}{l} \rho = 2,9 \cdot 10^{-3} > 0,23 \frac{f_{te28}}{f_e} \\ \text{vérifiée} \end{array} \right.$$

Contrainte tangente:

$$T_u = q_u \frac{l}{2} = (1,35 \cdot 6 + 1,5 \cdot 5) \cdot \frac{l}{2} = (1,35 \cdot 775 + 1,5 \cdot 300) \cdot \frac{2,7}{2} = 1497 \cdot \frac{2,7}{2}$$

$$T_u = 2021 \text{ kg.}$$

$$C_u = \frac{T}{b \cdot z} ; z = \frac{\pi}{8} \cdot h = 31,5 \text{ cm}$$

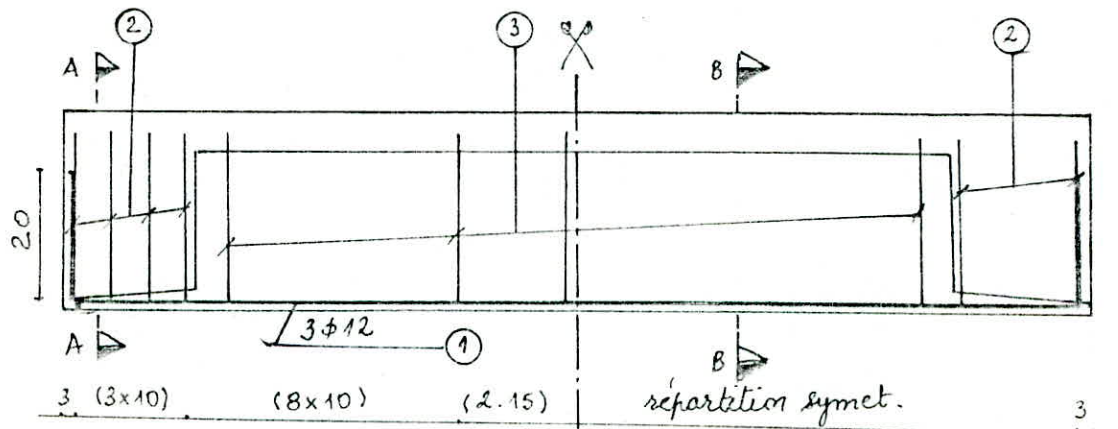
$$C_u = \frac{2021}{30 \cdot 31,5} = 2,14 \text{ kg/cm}^2 \leq \bar{C} = 3,5 \text{ kg/cm}^2 \text{ vérifiée.}$$

Armatures transversales et espacement:

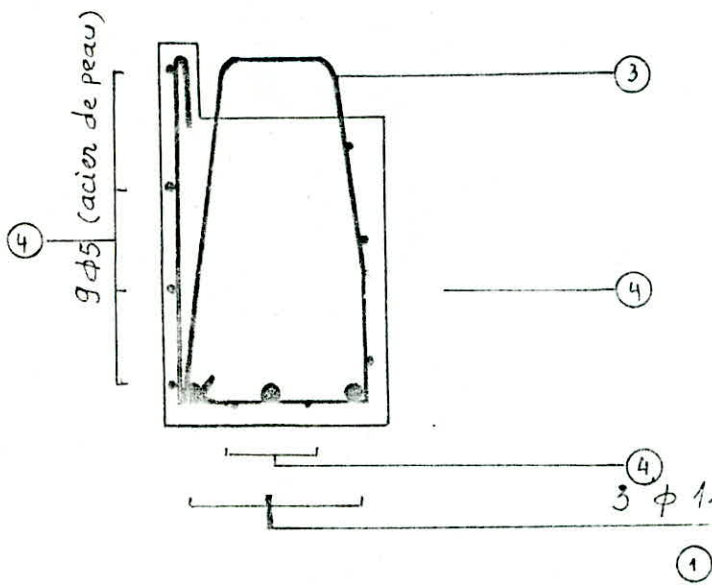
on prend 2 brins $\phi 6$ ($A_t = 0,56 \text{ cm}^2$)

$$s_{t_0} = \frac{0,9 \cdot A_t \cdot f_{su}}{b \cdot (C_u - 0,5)} = \frac{0,9 \cdot 0,56 \cdot 348}{0,30 \cdot (2,14 - 0,5)} < 0$$

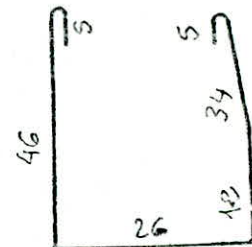
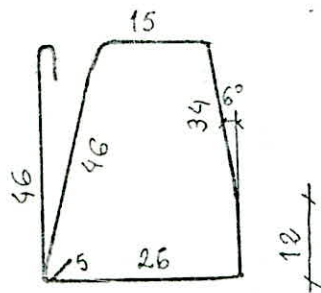
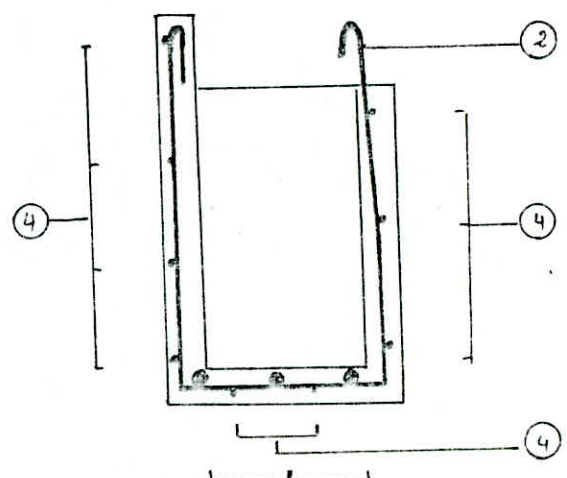
$$\bar{s}_t = \min [0,9 \cdot d, 40 \text{ cm}] = 32,4 \text{ cm.}$$



COUPE B-B



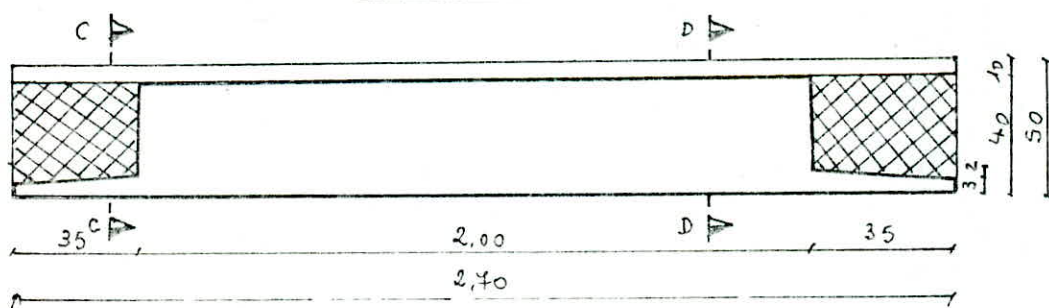
COUPE A-A



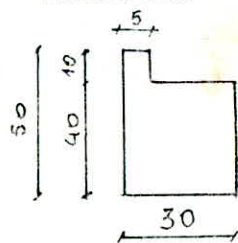
③ 17φ6 L = 1,89

② 4x2 = 8φ6 L. 1,28
 $e = 10$

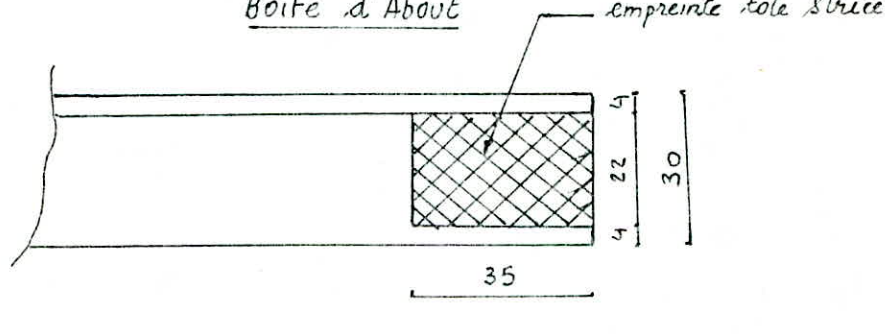
(POUTRE PBA (30 x 40))



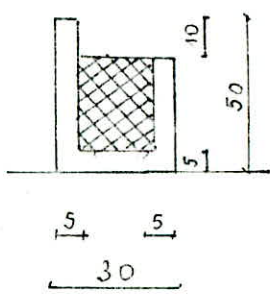
coupe D-D



VUE EN PLAN
Boîte d'About



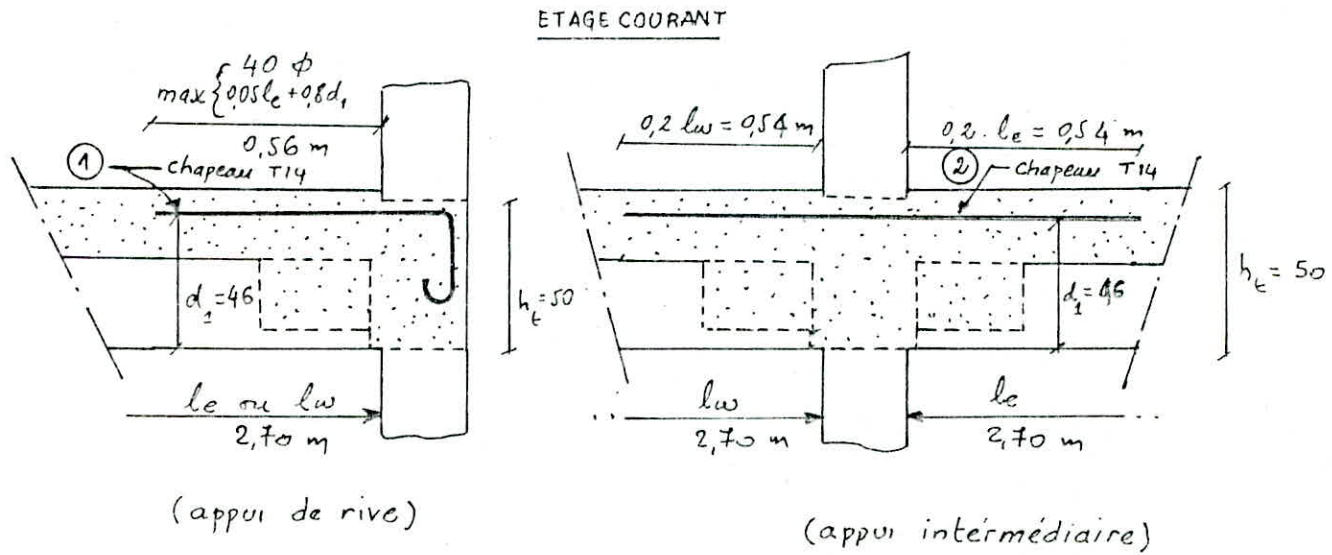
coupe C-C



Ferraillage des nœuds et disposition des armatures:

1) Calcul des chapeaux:

a - Longueur des chapeaux: (§ schemas ci-dessous); Les longueurs indiquées ne valent que lorsque le rapport des portées qui encadrent l'appui reste compris entre 0,8 et 1,25



(appui de rive)

(appui intermédiaire)

b - Les sections d'armatures des chapeaux: Elles sont calculées en appliquant les règles BAEL.
Le moment à l'E.L.U est pris égal à : $M_u = \gamma \cdot M$
où : M = moment sur appui calculé selon le § précédent.

$$\gamma = \frac{1,35 \cdot G + 1,5 \cdot Q}{G + Q} ; \text{ Dans le cas courant } \gamma = 1,4 .$$

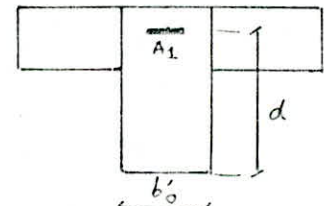
La section est égale à : $A_1 = \frac{M_u}{S \cdot d_1 \cdot f_{e1}/1,15}$

où :

$$\mu = \frac{1,76 \cdot M_u}{b'_0 \cdot d_1^2 \cdot f_{c28}} ; f_{c28} = 25 \text{ MPa}$$

$$d_1 = 46 \text{ cm}$$

$$b'_0 = 30 \text{ cm}$$



$$\delta = 1 - 0,6 \cdot \mu$$

Récapitulatif pour les poutres en B.A.: $\mu = 0,018 \cdot M_u$

Moment sur appui	Sens longitudinal						A_1 (cm²)
	M_{ul} (kNm)	M_{ser} (kNm)	γ	$M_u = \gamma M$	μ	δ	
Voisin de rive	0,612	0,44	1,39	0,61	0,01	0,99	0,39
Intermédiaire	0,54	0,388	1,39	0,54	0,09	0,994	0,34
Rive	0,203	0,146	1,39	0,20	0,04	0,997	0,13

sens transversal							
Moment sur appui	M_{ul} (t.m)	M_{asr} (t.m)	γ'	$M_u = \gamma' M$	b_t	s	$A_1 \text{ cm}^2$
Rive ① est	0,485	0,349	1,39	0,67	0,012	0,993	0,39
Rive ② west	0,485	0,349	1,39	0,67	0,012	0,993	0,39

Nœuds des poutres Précontraintes :

$$q = 0,62F \text{ t/m}^2$$

$$\alpha = 0,250 \text{ t/m}^2$$

$M_{OR} = 25332,5 \text{ kg.m}$ (moment isostatique à mi-travée, 4 g poutres précontr.)

• section d'armatures des chapeaux : A_1

$$\gamma' = \frac{1,35 \cdot q + 1,5 \cdot \alpha}{q + \alpha} = \frac{1,35 \cdot 62F + 1,5 \cdot 250}{62F + 250} = 1,39$$

$$M_e = M_w = 0,15 M_{OR} = 3799,81 \text{ kg.m}$$

Moment (t.m)	γ'	$M_u = \gamma' M_{OR}$	b_t	s	A_1
3799,81	1,39	5281,82	0,058	0,964	3,42

soit 2 T16 ($A_1 = 4,02 \text{ cm}^2$) en chapeaux

• section d'armatures d'ancre : A_2 .

$$A_2 = \max \begin{cases} 1,5 \text{ cm}^2 \\ b_0 \cdot h_t / 800 = \frac{30 \cdot 50}{800} = 1,87 \text{ cm}^2 \end{cases}$$

$$\text{RPA} \rightarrow A_{\min} = 3,08 \text{ cm}^2$$

soit 2 T14 ($A_2 = 3,08 \text{ cm}^2$)

Vérification de la condition de non-fragilité :

$$\begin{aligned} S &= \frac{A_{scal}}{b \cdot d} > 0,23 \quad \frac{f_{t28}}{f_e} = 1,2075 \cdot 10^3 \\ S &= \frac{0,39}{46 \cdot 30} = 2,8 \cdot 10^{-4} < 0,23 \cdot \frac{f_{t28}}{f_e} \end{aligned} \quad \left. \right\} \text{non vérifiée.}$$

Donc la section trouvée est insuffisante. On adoptera le ferrailage minimal préconisé par le RPA relatif à l'assemblage poteau-poutre 8A qui est $A = 3 \text{ cm}^2$;

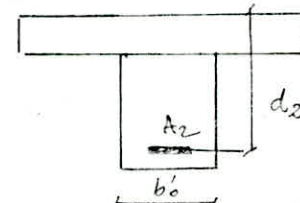
soit R T 14 ($A_{eff} = 3,08 \text{ cm}^2$)

Équilibre de la bieille d'appui

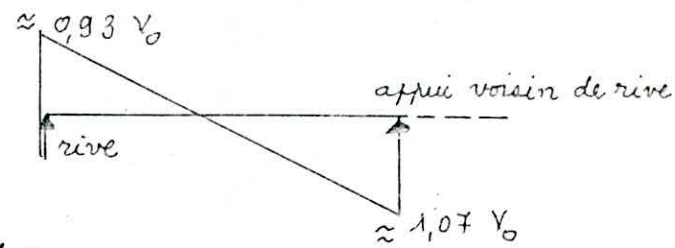
1) Vérification du cisaillement : Dans la section d'appui il faut vérifier :

$$C_u = \frac{V_u}{b'_s \cdot d_2} \leq \min \left\{ \begin{array}{l} 0,13 \cdot f_{c28} \\ 40 \text{ bars} \end{array} \right.$$

Les réactions d'appui doivent tenir compte des effets de la continuité et sont à considérer comme suit :



Travée de rive \rightarrow



Travée intermédiaire \rightarrow



V_0 : l'effort tranchant isostatique de la travée considérée.
Le calcul de la section est effectué à l'E.L.U en considérant un effort tranchant :

$$V_u = \bar{\gamma} \cdot V \quad ; \quad \bar{\gamma} = 1,39 \text{ coeff de pondération}$$

$$V_0 = q \frac{l}{2} = \frac{1,075 \times 2,7}{2} = 1,45 \text{ t.} (= V)$$

$$V_u = \bar{\gamma} \cdot V = 2,01 \text{ t.}$$

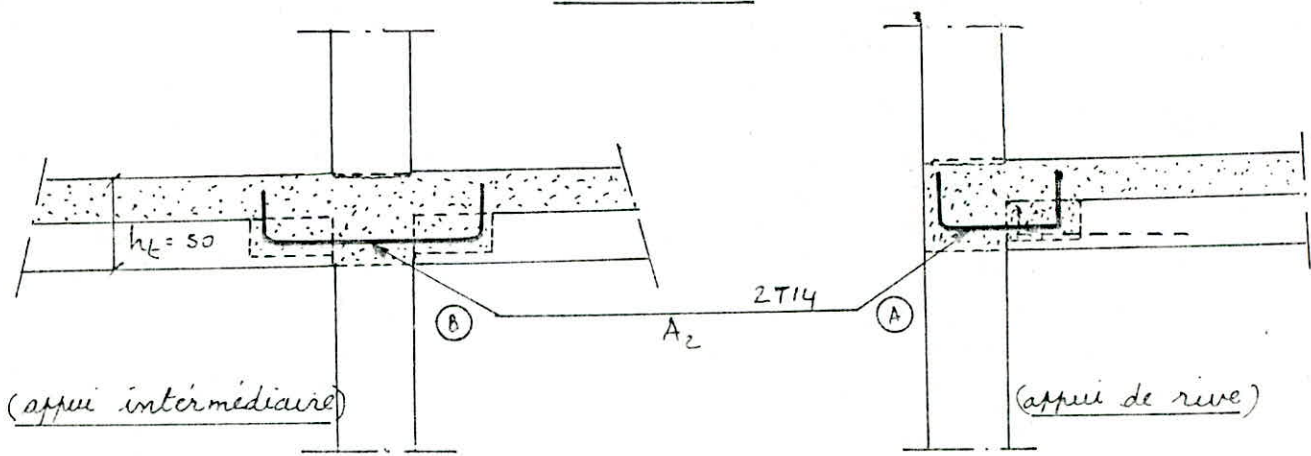
$$C_u = \frac{V_u}{b'_s \cdot d_2} = \frac{2,01 \cdot 10^3}{30 \times 46} = 1,46 \text{ bars} < \bar{\gamma} = 32,5 \text{ bars. ok!}$$

2) Armatures d'ancrage : ces armatures doivent équilibrer la bieille d'appui. Elles sont mises en recouvrement avec les armatures en attente dans les réservations d'about des poutres. Les dispositions constructives qui en résultent sont définies par les plans d'exécution. La section déterminée par le calcul ne doit pas excéder :

- pour une poutre de 30 cm de base : $8,1 \text{ cm}^2$.

Remarque : • poutre de 20 cm de base : $A = 4,4 \text{ cm}^2$
• poutre de 25 cm de base : $A = 6,0 \text{ cm}^2$

ETAGE COURANT



Les armatures d'ancrage sont calculées à partir du ferrailage minimum préconisé par le règlement scope qui est :

$$A_2 \geq \max \left\{ \frac{1.5 \text{ cm}^2}{b' \cdot h_t / 800} = \frac{30.50}{800} = 1.87 \text{ cm}^2 \right.$$

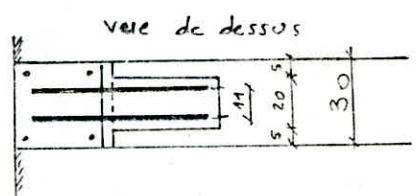
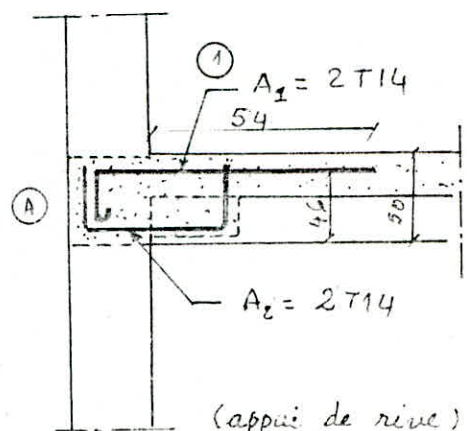
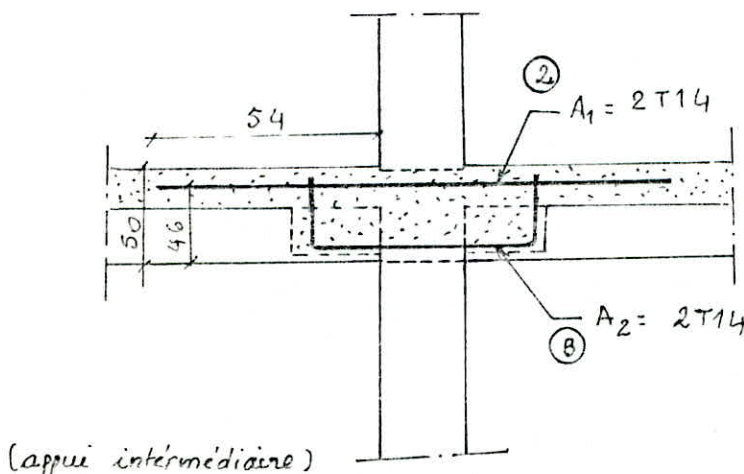
Par ailleurs le RPA nous donne un ferrailage minimal pour les chapeaux ainsi que pour les armatures d'ancre à niveau de la jonction poteau-poutre (nœud) de 3 cm^2

80t 2 T14 ($A_{eff} = 3,08 \text{ cm}^2$)

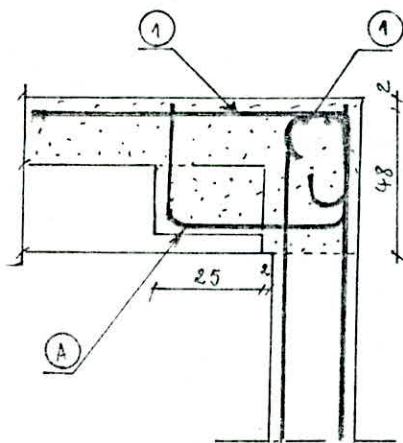
3. Disposition du ferrailage final du nœud :

- ① chapeau avec crochet.
 - ② chapeau sans crochet.

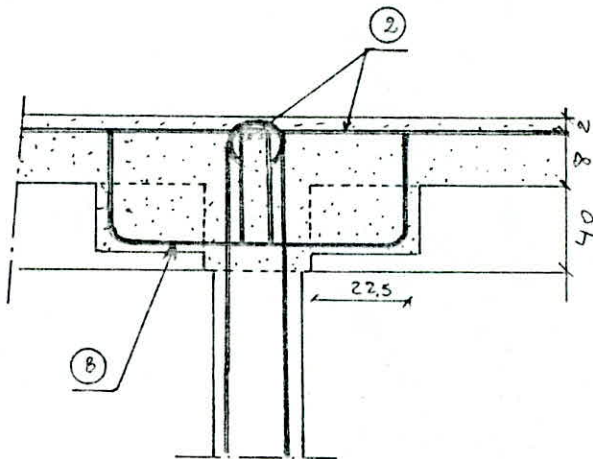
ETAGE COURANT



TERRASSE

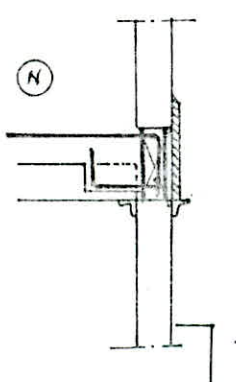


(rive)



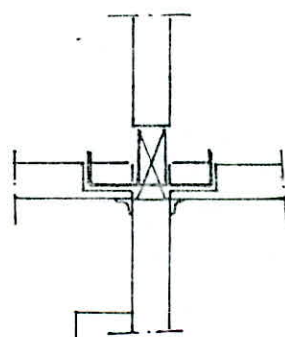
(intermédiaire)

⑩ 



mise en place des aciers de recouvrement plus chapeaux (et étriers dans le cas de poutres à bêquet)

(rive)

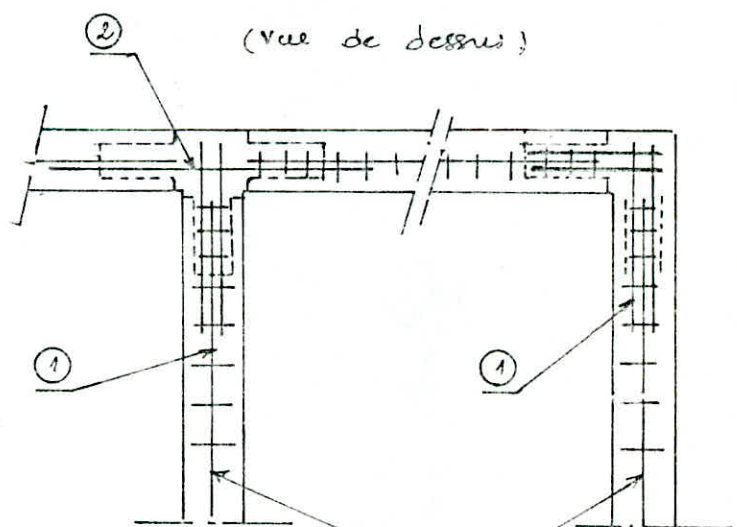


mise en place des aciers bas de recouvrement

(intermédiaire)

CHAINAGE

(vue de dessus)

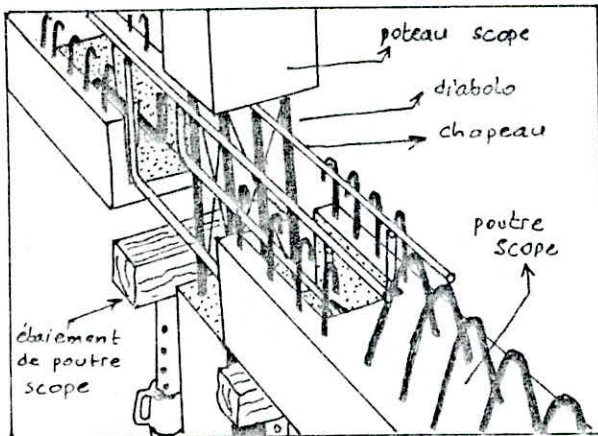


1 T10 filant
à l'intérieur des étriers

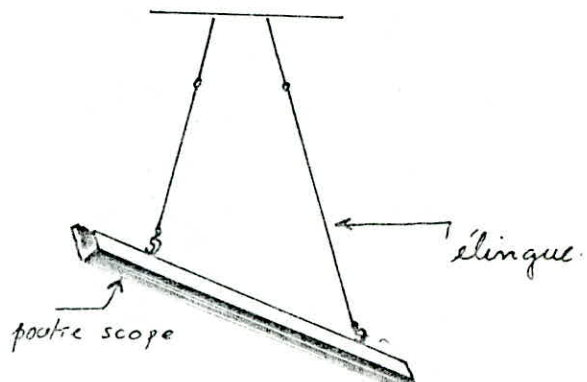
⑩ Les étriers de bâti d'abut de poutres à bêquet sont à placer avant tout coulage béton.

⑩ En rive les chapeaux sont également à placer avant tout coulage béton.

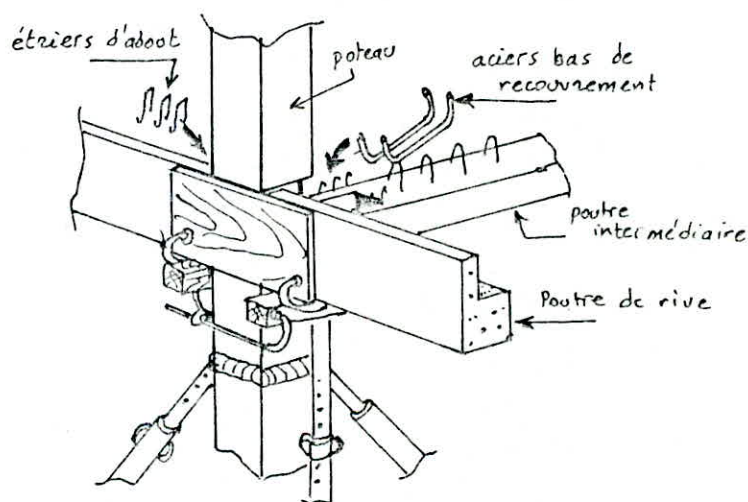
Mise en œuvre des poutres d'étage :



Les poutres scope sont posées sur des étais simples ou sur des collerettes.



L'angle entre les élingues et la poutre doit être supérieur à 60°.



(coulage des nœuds)

Chapitre 4.

- Calcul des autres précontraintes
 - Déformation des g.g
-

CALCUL DES POUTRES PRECONTRAINTE

1. Généralités sur le béton précontraint: La résistance du béton à la traction est très médiocre de l'ordre de 1/12^e de sa résistance à la compression. Dans la technique de B.A., on y remédie à ce défaut en disposant dans toutes les zones tendues des armatures d'acier dirigées suivant la direction des forces de traction et capables d'y résister cependant le béton ainsi obtenu présente plusieurs inconvénients qui en limitent l'emploi:

- La fissuration inévitable du béton tendue au niveau de l'enrobage.
- La corrosion des armatures décorvertes après fissuration au niveau de l'enrobage.
- Le béton armé est lourd, ce qui constitue un handicap pour les éléments de grandes portée.

Il est donc logique de chercher à utiliser à plein la résistance du béton en le comprimant à l'avance de façon que la variation des contraintes au niveau de la zone tendue ne provoque qu'une décompression du matériau.

2. Précontrainte et sécurité: Pour la plupart des éléments en B.A., les contraintes sont proportionnelles aux actions si bien que si les contraintes de béton et de l'acier sont limitées à une fraction 1/k de la contrainte ultime du matériau, l'on peut dire que l'élément considéré présente un coefficient de sécurité égal à k.

Pour le béton précontraint en revanche, les contraintes se déduisent en général de la différence de sollicitation agissant en sens contraire, il en résulte que la limitation de la contrainte à une fraction de la contrainte ultime ne suffit pas à garantir un élément en B.P. vis-à-vis d'un dépassement accidentel des actions. Il est donc nécessaire d'effectuer une vérification directe de la sécurité sous les sollicitations Ultimes.

3. Avantages et Inconvénients: Par rapport au B.A., le B.P. présente des avantages et inconvénients.

- Ses qualités et les résistances de l'acier sont utilisées d'une façon plus rationnelle, le béton précontraint permet de diminuer le poids propre et de réduire les sections en "T" ou en "I". La diminution du poids propre peut aller au delà de 30% / B.A. L'utilisation des aciers Haute Limite d'Élasticité (H.L.E) amène une réduction de 40 à 50% sur la quantité des armatures.
- La précontrainte évite des fissures dans le béton.
- Les éléments ont une rigidité plus importante et les flèches sont très petites, ceci est dû à l'absence des fissures et la formation de contre-flèches.
- Ces avantages offrent aux structures l'utilisation du B.P. dans les cas des éléments de grandes portées (jusqu'à 150 m), ce qui les rend concurrentiels des structures métalliques.
- Ils sont moins chers que le B.A. du point de vue quantité de béton et d'acier.

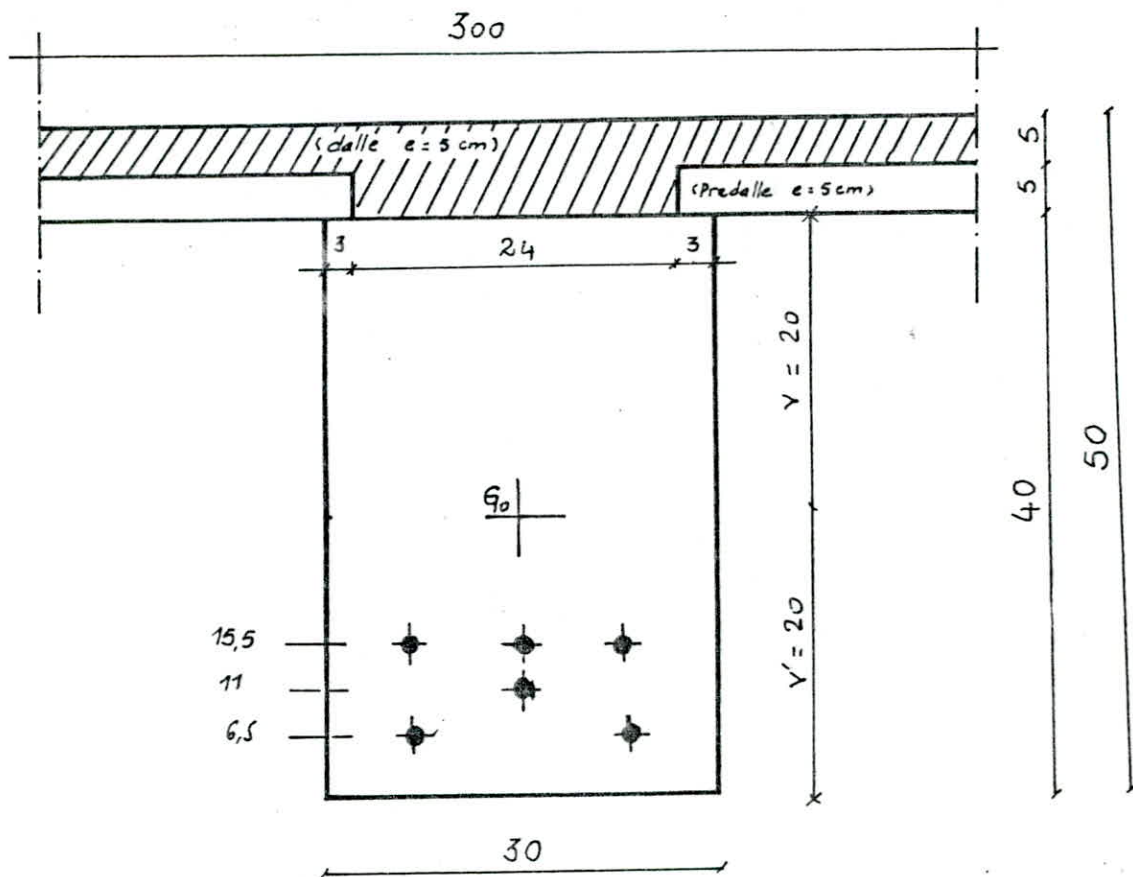
Quant aux Inconvénients, on cite :

- Le B.P. ne tolère la médiocrité; Un béton de mauvaise qualité est automatiquement pénalisé lors de la mise en tension (fissuration, rupture).
- Utilisation d'une main d'œuvre très qualifiée.
- Utilisation de matériaux spéciaux.

Fin d'éviter des poteaux au centre de la construction et de limiter la retombée des poutres sur une longueur de 9,50 m, on a opter pour des poutres précontraintes sur la largeur du bâtiment.

CARACTÉRISTIQUES GÉOMÉTRIQUES DE LA SECTION DROITE

I. Caractéristiques de la poutre seule :



B = Section de la poutre.

I = Inertie de la poutre.

V = Distance de la fibre neutre à la fibre supérieure de la poutre.

V' = Distance de la fibre neutre à la fibre inférieure de la poutre.

E = Excentricité des câbles de précontrainte à mi-travée.

Z = Bras de levier du couple élastique.

I/V = Module d'inertie à la fibre supérieure.

I/V' = Module d'inertie à la fibre inférieure.

Remarque : Toutes ces caractéristiques sont calculées avec $n=0$ et $n=4$ (III)

II Association poutre - Hourdis : Les deux bétons (celui des poutres et celui du Hourdis), ayant des modules d'élasticité différents, il devrait être tenu compte d'un coefficient d'équivalence (n). Par simplification, et ceci dans le sens de la sécurité nous prendrons $n=1$.

III Section Homogénéisée : Dans le calcul des sections résistantes pour la justification des contraintes normales, il est tenu compte des armatures longitudinales. La section des armatures est alors multipliée par n . $n = E_a / E_{ie}$.

III-1 Action de la précontrainte et du poids propre : Calcul en section nette (béton seul) ; $n=0$

III-2 Coulage de la dalle à $j=20$ jours :

$$\sigma_{20}' = 380 \text{ bars pour le béton de la poutre} ; \\ E_{ie} = [0.7 + \frac{0.3(j-1)}{28}] \cdot 24000 \sqrt{\sigma_{20}'} = 0.91 \cdot 24000 \sqrt{380} = 425000 \text{ bars}$$

$$n = \frac{Ea}{42500} = 4,5 \rightarrow n = 4$$

III-3 Action finale des charges permanente : $n=0$

III-4 Action des charges intermittentes (exploitation) : $n = \frac{Ea}{24000\sqrt{O_{25}}} = 3,85 \rightarrow n=4$

A - Caractéristiques de la poutre seule :

- centre de gravité des armatures actives (D') : $\frac{1 \times 11}{2 \times 6,5} = \frac{11}{13} \text{ cm}$
 $\frac{3 \times 15,5}{6} = \frac{46,5}{70,5} \text{ cm}$
 on a 6 fils T 12,4 . III.

$$D' = \frac{70,5}{6} = 11,75 \text{ cm.}$$

$$\text{épaisseur fictive} : e_m = \frac{8}{P/2} = \frac{2 \times 1200}{140} = 17,14 \text{ cm.}$$

1°). Caractéristiques avec $n=0$ (béton seul) :

$$B = 30 \times 40 = 1200 \text{ cm}^2.$$

$$V = V' = 40/2 = 20 \text{ cm.}$$

$$I = \frac{bh^3}{12} = \frac{30 \cdot 40^3}{72} = 16 \cdot 10^4 \text{ cm.}$$

$$E = V' - D' = 20 - 11,75 = 8,25 \text{ cm.}$$

$Z = I/S^*$ avec S^* : moment statique au niveau de la fibre neutre.

$$S^* = 30 \cdot (40 - 20) \cdot \left(\frac{40}{2} - \frac{40-20}{2} \right) = 6000 \text{ cm}^3$$

$$Z = \frac{16 \cdot 10^4}{6000} = 26,67 \text{ cm.}$$

$$I/V = I/V' = \frac{16 \cdot 10^4}{20} = 8 \cdot 10^3 \cdot \text{cm}^3.$$

2°). Caractéristiques homogénéisées avec $n=4$ (béton + acier) :

$$B = 1200 + 6 \cdot (4 \cdot 0,93) = 1222,32 \text{ cm}^2$$

$$V' = \frac{1200 \cdot 20 + (4 \cdot 6 \cdot 0,93) \cdot 11}{1200 + 4 \cdot (6 \cdot 0,93)} = 19,85 \text{ cm.}$$

$$V = h - V' = 40 - 19,85 = 20,15 \text{ cm.}$$

$$I = 16 \cdot 10^4 + 1200 (20 - 19,85)^2 + \begin{cases} 1 \cdot 0,93 \cdot (19,85 - 11)^2 \cdot 4 & = 291,36 \\ 2 \cdot 0,93 \cdot (19,85 - 6,5)^2 \cdot 4 & = 1326,00 \\ 3 \cdot 0,93 \cdot (19,85 - 15,5)^2 \cdot 4 & = 211,00 \end{cases} = 1828,36$$

$$I = 161859,00 \text{ cm}^4$$

$$E = V' - D' = 19,85 - 11,75 = 8,10 \text{ cm}$$

$$S^* = 30 \cdot \frac{19,85^2}{2} + \begin{cases} 1 \cdot 0,93 \cdot (19,85 - 11) \cdot 4 & = 32,92 \\ 2 \cdot 0,93 \cdot (19,85 - 6,5) \cdot 4 & = 99,32 \\ 3 \cdot 0,93 \cdot (19,85 - 15,5) \cdot 4 & = 48,55 \end{cases} = 180,79$$

$$S^* = 6085,0 \text{ cm}^3.$$

$$Z = \frac{161859,00}{6085,0} = 26,6 \text{ cm.}$$

$$I/V = \frac{161859,0}{20,15} = 8032,7 \text{ cm}^3$$

$$I/V' = \frac{161859,0}{19,85} = 8154,0 \text{ cm}^3$$

B - Caractéristiques de la section Complète (poutre + dalle) :

1°) Caractéristiques avec $n=0$ (béton seul):

$$B = 1200 + (300 \cdot 5) + (24 \cdot 5) = 2820 \text{ cm}^2$$

$$V' = \frac{(300 \cdot 5) \cdot (50 - 2,5) + (24 \cdot 5) \cdot (50 - 7,5) + (30 \cdot 40) \cdot 40 / 2}{2820} = 35,58 \text{ cm.}$$

$$V = 50 - 35,58 = 14,42 \text{ cm.}$$

$$I = \frac{300 \cdot 5^3}{12} + (300 \cdot 5) \cdot (47,5 - 35,58)^2 = 216254,6$$

$$+ \frac{24 \cdot 5^3}{12} + (24 \cdot 5) \cdot (42,5 - 35,58)^2 = 5996,4$$

$$+ \frac{30 \cdot 40^3}{12} + (30 \cdot 40) \cdot (20 - 35,58)^2 = 451283,7$$

$$\underline{\underline{I = 673534,7 \text{ cm}^4}}$$

$$E = V' - D' = 35,58 - 11,75 = 23,83 \text{ cm.}$$

$$S^* = (300 \cdot 5) \cdot (47,5 - 35,58) + (24 \cdot 5) \cdot (42,5 - 35,58) + \frac{30 \cdot (40 - 35,58)^2}{2}$$

$$S^* = 19003,4 \text{ cm}^3$$

$$Z = \frac{673534,7}{19003,4} = 35,44 \text{ cm}$$

$$I/V = \frac{673534,7}{14,42} = 46708,4 \text{ cm}^3 ; I/V' = \frac{673534,7}{35,58} = 18930 \text{ cm}^3$$

2°) Caractéristiques homogénéisées avec $n=4$ (béton + Acier):

$$B = 2820 + 4 \cdot (6 \cdot 0,93) = 2842,32 \text{ cm}^2$$

$$V' = \frac{2820 \cdot 35,58 + (4 \cdot (6 \cdot 0,93)) \cdot 11}{2820 + 4 \cdot (6 \cdot 0,93)} = 35,39 \text{ cm.}$$

$$V = 50 - 35,39 = 14,61 \text{ cm.}$$

$$I = 673534,7 + 2820(35,39 - 35,58)^2 + \begin{cases} 1 \cdot 0,93 \cdot (35,39 - 11)^2 \cdot 4 & = 2212,92 \\ 2 \cdot 0,93 \cdot (35,39 - 6,5)^2 \cdot 4 & = 6209,66 \\ 3 \cdot 0,93 \cdot (35,39 - 15,5)^2 \cdot 4 & = 4415,0 \end{cases} = 12837,6$$

$$I = 686474,0 \text{ cm}^4$$

$$E = V' - D' = 35,39 - 11,75 = 23,64 \text{ cm.}$$

$$S^* = 30 \cdot \frac{35,39^2}{2} + \begin{cases} 1 \cdot 0,93 \cdot (35,39 - 11) \cdot 4 & = 90,73 \\ 2 \cdot 0,93 \cdot (35,39 - 6,5) \cdot 4 & = 214,94 \\ 3 \cdot 0,93 \cdot (35,39 - 15,5) \cdot 4 & = 221,97 \end{cases}$$

$$S^* = 19314,4 \text{ cm}^3 = 527,64$$

$$Z = \frac{686474,0}{19314,4} = 35,54 \text{ cm}$$

$$I/V = \frac{686474,0}{14,61} = 46986,6 \text{ cm}^3$$

$$I/V' = \frac{686474,0}{35,39} = 19397,4 \text{ cm}^3$$

RECAPITULATION DES RESULTATS

	cm	cm ²	cm	cm	cm ⁴	cm	cm ³	cm	cm ³	cm ³	
	D'	B	em	V'	V	I	E	S*	Z	I/V	I/V'
poutre seule	N=0	/	1200	17,14	20	20	$16 \cdot 10^4$	8,25	6000	26,67	$8 \cdot 10^3$
	N=4	11,75	1222,32	"	19,85	20,15	161859,00	8,10	6085,0	26,60	8032,70
poutre complète	N=0	/	2820	"	35,58	14,42	673534,70	23,83	19003,4	38,44	46708,4
	N=4	11,75	2842,32	"	35,39	14,61	686474,0	23,64	19314,4	35,54	46986,6

Hypothèses relatives au retrait et au fluage du béton de la poutre:

- Retrait de la poutre: Le retrait du béton est un raccourcissement de celui-ci dans le temps sous l'effet de divers facteurs. Pour des conditions climatiques constantes ou peu variables, la valeur relative du retrait en fonction du temps est: $\epsilon_2 \cdot r(t)$ où ϵ_2 : retrait final du béton.
 - $r(t) = \frac{t}{t + 9 \cdot r_m}$
 - $r(t)$: fonction du temps
 - t : âge du béton en jours.
 - r_m : rayon moyen.

Ex: Etamage diminue le retrait total de 20% (cas des poutres PPE)

$$\epsilon_2 = 0,8 (K_b \cdot K_c \cdot K_{c1} \cdot K_p) \quad (\S 1 \text{ IP2})$$

- où:
- K_b : dépend de la composition du béton et du rapport E/C. Pour un béton dosé à 400 kg/m³ et E/C = 0,42 on a: $K_b = 1$. ($\S 1.1$ IP2)
 - K_c : dépend des conditions climatiques. Pour une humidité relative de 70% on a $K_c = 27,5 \cdot 10^{-5}$ ($\S 1.2$ IP2)
 - K_{c1} : dépend de l'épaisseur fictive em. Pour em = 17,74 cm on a: $K_{c1} = 0,72$ ($\S 1.3$ IP2)
 - K_p : dépend du pourcentage d'humidité. ($\S 1.4$ IP2)

$$K_p = \frac{1}{1 + n \cdot \omega} ; \omega = \frac{A}{B} = \frac{6 \cdot 0,93}{1200} = 0,004$$

$n = 20$ en regard à l'influence du fluage

$$K_p = 0,9$$

sont: $\epsilon_2 = 0,8 (1 \cdot 27,5 \cdot 10^{-5} \cdot 0,72 \cdot 0,9) = 1,32 \cdot 10^{-4}$

- Fluage de la poutre: Le fluage du béton est un raccourcissement de celui-ci dans le temps sous l'effet d'une contrainte permanente.

$$\epsilon_{fl} = \frac{\sigma'_b}{E_{ij}} \cdot K_{fl} \cdot r(t) \quad (\S 2 \text{ IP2})$$

$$K_{fl} = K_b \cdot K_c \cdot K_d \cdot K_{ez}$$

$$K_b = (\text{idem retrait}) = 1$$

$$K_c = \text{dépend des conditions climatiques. Pour } 70\% \text{ d'humidité on a:}$$

$$K_c = 2,3 \quad (\S 2.2 \text{ IP2})$$

- K_d = dépend du durcissement du béton à la mise en charge (§ 2.3 IP2)
- à la mise en précontrainte à 1 jour réel sur un béton étuvé, correspond un âge de 7 jours fictifs sur un béton normal (non étuvé) et on a :
- $K_d(7\text{ jours}) = 1,4$.
- au coulage de la dalle, à 20 jours réels correspond un âge fictif de 23 jours et on a : $K_d(23\text{ jours}) = 1,1$

K_{e_2} = dépend de l'épaisseur fictive e_m : $K_{e_2} = 0,76$.

soit :

$$\begin{cases} K_{fe}(7) = 1 \cdot 2 \cdot 3 \cdot 1,4 \cdot 0,76 = 2,45 \\ K_{fe}(23) = 1 \cdot 2 \cdot 3 \cdot 1,1 \cdot 0,76 = 1,92 \end{cases}$$

I - Pertes sur banc : (de longueur 66 m)

I-1) Tension Initiale : σ_{P_0}

(§ 12.1.2 de l'IP2)

$$\sigma_{P_0} \leq \min \left[\begin{array}{l} 0,85 \times FRG = 0,85 \times 17360 = 14756 \text{ dan} \\ 0,95 \times FTG = 0,95 \times 15400 = 14630 \text{ dan} \end{array} \right]$$

d'où : $\sigma_{P_0} = 14630 \text{ dan}$.

I-2) Perte d'ancrage : Il s'agit de la perte de tension qui résulte du tassement éventuel de l'ancrage (rentrée des clavettes) et le glissement éventuel de l'armature par rapport à son ancrage lors du blocage de celui-ci sur les têtes d'ancrage sur le banc, cette somme est appelée $\Delta \sigma_a$. Le raccourcissement relatif de l'armature après le blocage de la clavette est ($\Delta fl = g/l$) et la perte correspondante est :

$$\Delta \sigma_a = E_a \cdot \frac{g}{l} \cdot A_p \quad (\text{§ 12.2.2 IP2})$$

On fixe $g = 5 \text{ mm}$ en moyenne.

$$\Delta \sigma_a = 1,9 \cdot 10^6 \cdot \frac{0,005}{66} \cdot 0,93 \quad \text{d'où} \quad \Delta \sigma_a = 133,8 \text{ dan.}$$

I-3) Perte par relaxation sur banc : c'est la perte relative de tension que subit au cours du temps à une température de 20%, une éprouvette de longueur l soumise à une charge initiale P_0 . Le temps entre la mise en tension des armatures et la mise en précontrainte des poutres est d'environ 16 heures. Pendant cette période une partie de la relaxation s'effectue, appelée $\beta_{16} = 75\%$. (§ 12.2.4 IP2)

$$\Delta \sigma_r = (\sigma_{P_0} - \Delta \sigma_a) \cdot \frac{\beta_{16}}{100} = (14630 - 133,8) \cdot \frac{0,75}{100}$$

$$\Delta \sigma_r = 108,7 \text{ dan}$$

I-4) Perte par retrait instantané sur banc :

$$\Delta \sigma_2 = \gamma(t) \cdot \varepsilon_2 \cdot E_a \cdot A_p = 0,2 \cdot 1,32 \cdot 10^9 \cdot 19 \cdot 10^{-6} \cdot 0,93 = 46,65 \text{ dan}$$

soit : $\Delta \sigma_2 = 47 \text{ dan}$

I - 5) Perte thermique: Du fait de l'échauffage, les armatures et le béton vont se dilater. Les coefficients de dilatation thermique de l'acier et du béton sont égaux entre-eux et valent $\alpha = 10^{-5}$ par degré Centigrade.
La perte de tension est :

$$\Delta \sigma_{\theta} = \frac{\Delta L}{L + \Delta L} \cdot E_a \cdot A_p \approx \frac{\Delta L}{L} \cdot E_a \cdot A_p \quad \text{avec } \Delta L = \alpha \cdot \Delta \theta \cdot L$$

$$\Delta \sigma_{\theta} = \alpha \cdot \Delta \theta \cdot E_a \cdot A_p = 10^{-5} \cdot (70 - 20) \cdot 1,9 \cdot 10^6 \cdot 0,93$$

$$\Delta \sigma_{\theta} = 883,5 \text{ daN}$$

Tension avant relâchement : σ_i

$$\sigma_i = \sigma_{p_0} - (\Delta \sigma_a + \Delta \sigma_p + \Delta \sigma_r + \Delta \sigma_{\theta}) = 14630 - (133,8 + 108,7 + 47 + 883,5)$$

$$\sigma_i = 13457 \text{ daN}$$

II Pertes Instantanées: Le calcul se fait avec la longueur de la poutre.

II - 1) La longueur d'établissement de la précontrainte: le

$$l_e = \sqrt{(0,8 \cdot l_m)^2 + (h_p)^2} \quad (\S 34.2 IP2)$$

où : l_m = longueur de scellement ($l_m = 1,00 \text{ m}$)

h_p = distance du Cdg des armatures de précontrainte à la fibre la plus éloignée.

$$l_e = \sqrt{(0,8 \cdot 1,00)^2 + (0,4 - 0,1175)^2} = 0,748 \text{ m}$$

II - 2) de Moment dû au poids propre de la poutre : M^*

$$M^* = q_s \frac{l_e(l - l_e)}{2} = 300 \cdot \frac{0,748(8,7 - 0,748)}{2} = 892,21 \text{ daN.m.}$$

Le calcul de la perte par déformation instantanée est fait par un calcul itératif et vaut :

$$\Delta \sigma_i(l_e) = \sigma'_{bj} \frac{E_a}{E_{ij}} \cdot A_p$$

où :

σ'_{bj} : contrainte de compression finale au niveau du Cdg des armatures due à la précontrainte et à la décompression due au poids propre de la poutre.

$$E_{ij} = 0,7 \cdot 24000 \sqrt{\sigma'_{j=28}} = 0,7 \cdot 24000 \sqrt{270} = 2,8 \cdot 10^5 \text{ bars.}$$

$\sigma'_{j=28} = 270 \text{ bars}$: contrainte caractéristique du béton à la mise en précont.

$$\text{soit : } \Delta \sigma_i(l_e) = \frac{1,9 \cdot 10^6}{2,8 \cdot 10^5} \cdot 0,93 \cdot \sigma'_{bj} = 6,3 \cdot \sigma'_{bj}$$

Après plusieurs itérations, nous prendrons la bonne valeur :

- perte estimée = 584 dan
- Tension probable: $P = 13457 - 584 = 12873,0$ dan.

- Précontrainte au C de g des armatures actives:

$$\sigma_b' = \frac{n \cdot P}{B} + \frac{(n \cdot P) \cdot E^2}{I} = \frac{6 \cdot 12873}{1200} + \frac{6 \cdot 12873 \cdot 8,25^2}{16 \cdot 10^4}$$

$$\sigma_b' = 64,36 + 32,86 = 97,22 \text{ bars}$$

- Contrainte due au poids propre de la poutre :

$$\sigma_b^{**} = - \frac{M^* \cdot E}{I} = - \frac{89221 \cdot 8,25}{16 \cdot 10^4} = - 4,60 \text{ bars.}$$

- Contrainte de compression résiduelle :

$$\sigma_{bj}' = 97,22 - 4,6 = 92,62 \text{ bars}$$

d'où la perte instantanée : $\Delta \sigma_i = 6,3 \cdot 92,62 = 583,51 \approx 584$ valeur estimée donc la tension probable au relâchement est :

$$P = 12873,0 \text{ dan}$$

II - 3) Valeurs caractéristiques des tensions à $l_c = 0,836 \text{ m}$ de l'abut

$$P_1 \text{max} = 1,02 \cdot \sigma_b - 0,8 \cdot \Delta \sigma_p (l_c)$$

$$P_2 \text{min} = 0,98 \cdot \sigma_b - 1,2 \cdot \Delta \sigma_p (l_c)$$

D'où les précontraintes max et min après mise en précontrainte :

$$P_1 \text{max} = 1,02 \cdot 14630 - 0,8 \cdot (133,8 + 108,7 + 47 + 883,5 + 584) = 13517 \text{ dan}$$

$$P_2 \text{min} = 0,98 \cdot 14630 - 1,2 \cdot (133,8 + 108,7 + 47 + 883,5 + 584) = 12229 \text{ dan}$$

II - 4) Contrainte dans le béton due à la précont à l_c :

• Précontrainte max :

- Fibre supérieure : $n_o = \frac{n \cdot P_1 \text{max}}{B} - \frac{n \cdot P_1 \text{max}}{I/V} \cdot E$

$$n_o = \frac{6 \cdot 13517}{1200} - \frac{6 \cdot 13517}{8000} \cdot 8,25$$

$$n_o = 67,58 - 83,64 = -16,06 \text{ bars}$$

- Fibre inférieure : $n'_o = 67,58 + 83,64 = +151,22 \text{ bars}$

$$n'_o = +151,22 \text{ bars}$$

• Précontrainte min :

- Fibre supérieure : $n_o = 61,14 - 75,66 = -14,52 \text{ bars}$

- Fibre inférieure : $n'_o = 61,14 + 75,66 = +136,8 \text{ bars}$

III Pertes différences à l'abscisse $x = 0,748 \text{ m}$:

- à $l_e = 0,748 \text{ m}$ ou à $x = l_e = 0,748 \text{ m}$
- portée de la poutre entre appuis = $8,70 \text{ m}$

III-1) Sur poutre seule au stockage:

- Retrait: total = $E_r \cdot E_a \cdot A_p = 1,32 \cdot 10^4 \cdot 19 \cdot 10^5 \cdot 0,93 = 233$
- déjà effectué sur banc = 47

soit perte par retrait différé = $233 - 47 = 186 \text{ dan}$.

b. Relaxation différée:

$$\Delta \sigma_f(x) = \max \left[\frac{\frac{2,4 \cdot 6000}{100} \times \frac{\sigma_p(x) - 0,55 \cdot F_{Rg}}{0,25 \cdot F_{Rg}} \cdot \sigma_p(x)}{\frac{2,5 + 3000}{100} \times \frac{\sigma_p(x) - 0,55 \cdot F_{Rg}}{0,25 \cdot F_{Rg}} \cdot \sigma_p(x)} \right]$$

avec: $\sigma_p(x)$ = tension dans le câble après mise en précontrainte à l'abscisse $x = 0,748 \text{ m}$

$$\Delta \sigma_f(x) = \frac{2,4 \cdot 2,5}{100} \cdot \frac{12873 - 0,55 \cdot 17360}{0,25 \cdot 17360} \cdot 12873 = 592 \text{ dan}$$

c. Fluage: Cette perte est évaluée par un calcul itératif. Cependant les pertes par retrait, fluage et relaxation étant concomitantes, cela est tenu en compte en affectant les pertes différences d'un terme correcteur appelé "terme de concomitance" qui est de la forme:

$$\Delta \sigma = \frac{\Delta \sigma_f (\Delta \sigma_r + \Delta \sigma_{fl})}{\sigma_p(x) - 0,55 F_{Rg}} ; \Delta \sigma_{fl} ?$$

Le calcul itératif nous a donné après simplification la valeur estimée suivante:

$$\Delta \sigma_{fl} = 841,0 \text{ dan.}$$

- Terme de concomitance: $\Delta \sigma_c = \frac{592(186 + 841,0)}{12873 - 0,55 \cdot 17360} = 182,80 \text{ dan}$
- précontrainte au Cdg des aciers: $\sigma_b' = 92,62 \text{ bars}$ (déjà calculée)
- Moment dû au poids propre de la poutre: $M_x = 892,21 \text{ dan.m}$ (n° 1)
- Variation de précontrainte: $\Delta \sigma^* = \frac{-(\sum \text{pertes différences} - \Delta \sigma)}{\text{tension probable}} \cdot \sigma_b'$

$$\Delta \sigma^* = - \frac{592 + 186 + 841 - 182,8}{12873} \cdot 92,62 = -10,33 \text{ bars}$$

- Contrainte due au poids propre: $\sigma' = -\frac{M \cdot E}{I} = -\frac{89221 \cdot 8,25}{16 \cdot 10^4} = -4,6 \text{ bars}$

soit la contrainte résiduelle σ_{bj}' :

$$\sigma_{bj}' = \sigma_b' + \sigma' + \Delta \sigma^* = 92,62 - 4,6 - 10,33$$

$$\sigma_{bj}' = 77,69 \text{ bars.}$$

$$\varepsilon_{fl} = 0,7 \cdot K_{fl(7)} \cdot r(t) \cdot \frac{\sigma'_{bj}}{E_y} = 0,7 \cdot 2,45 \cdot 1 \cdot \frac{1}{2,8 \cdot 10^5} \sigma'_{bj}$$

$$\varepsilon_{fl} = 6,925 \cdot 10^6 \cdot \sigma'_{bj} = 6,528 \cdot 10^6 \cdot 77,69 = 4,76 \cdot 10^4$$

$$\Delta \sigma_{fl} = \varepsilon_{fl} \cdot E_a \cdot A_p = 4,76 \cdot 10^4 \cdot 1,9 \cdot 10^6 \cdot 0,93 = 84,109 \text{ bars} \approx \text{valeur estimée.}$$

La durée du stockage des poutres étant en moyenne de 20 jours, les pertes de cette phase représentent 38% des pertes totales.

$$\Delta \sigma_{diff} = 0,38 \cdot (\Delta \sigma_r + \Delta \sigma_p + \Delta \sigma_{fl} - \Delta \sigma) = 0,38 \cdot 1330,12 = 545,8 \text{ dan}$$

donc la tension avant coulage est = 12873 - 545,8 = 12327,20 dan
Et les valeurs caractéristiques au stockage seront :

- Perte différée max = $1,2 (\Delta \sigma_r + \Delta \sigma_p + \Delta \sigma_{fl} - \Delta \sigma) \cdot 0,38 = 1,2 \cdot \Delta \sigma_{diff, stock}$
 $= 1,2 \cdot (186 + 592 + 841 - 182,8) \cdot 0,38 = 1,2 \cdot 545,8$
 $= 655 \text{ dan.}$

- Perte différée min = $0,8 \cdot \Delta \sigma_{diff} = 0,8 \cdot 545,8 = 436,64 \text{ dan.}$

D'où les contraintes dans le béton en fibres supérieure et inférieure :

a- perte de précontrainte max :

- Fibre sup : $\eta_o = -n \cdot P_{max} \left(\frac{1}{8} - \frac{E}{I_{1/V}} \right) = -6,655 \cdot \left(\frac{1}{1200} - \frac{8,25}{8000} \right) = +0,78 \text{ bars}$

- Fibre inf : $\eta'_o = -n \cdot P_{min} \left(\frac{1}{8} + \frac{E}{I_{1/V}} \right) = -6,655 \cdot \left(\frac{1}{1200} + \frac{8,25}{8000} \right) = -7,32 \text{ bars}$

b- perte de précontrainte min :

- Fibre sup : $\eta_o = +0,78 \cdot \frac{436,64}{655,0} = +0,52 \text{ bars}$

- Fibre inf : $\eta'_o = -7,32 \cdot \frac{436,64}{655,0} = -4,88 \text{ bars}$

III - 2) Sur section complète au stade finale : La perte différée sur section complète est évaluée avec les pertes totales calculée comme si la section complète était réalisée dès le début, diminuée des pertes effectuées en phase de stockage.

- Perte par retrait total = 233 dan
- Perte par retrait déjà effectué sur banc = 47 "
- Perte par retrait différé = (233 - 47) = 186 "
- Perte par relaxation différée = 592 "
- Perte par fluage : Le calcul se fait par itération comme précédemment comme suit :

• Valeur estimée de la perte par fluage = 605 dan = $\Delta \sigma_{flu}$

• Térme de concomitance : $\Delta \sigma = 0,178 \cdot (186 + 605) = 140,79 \text{ dan}$

• Perte différée sur section complète = $186 + 592 + 605 - 140,79 - 545,80 = 696,4 \text{ dan.}$

• Variation de la précontrainte sur section complète :

$$\Delta \sigma^* = -6 \cdot 696,4 \cdot \left(\frac{1}{2820} + \frac{23,83}{673534,7} \right) = -5,00 \text{ bars}$$

• Décompression due à l'application du (hourdis + coffrage par pré'dalles)

$$q_6 = 0,10 \cdot 2500 \cdot 1,1 \cdot 3,00 = 750 \text{ dan/ml.}$$

$$M = 750,00 \cdot \frac{0,748}{2} (8,7 - 0,748) = 2230,54 \text{ dan.m.}$$

$$\sigma = -2230,54 \cdot 10^2 \cdot \frac{8,25}{16 \cdot 10^4} = -11,5 \text{ bars.}$$

$$\sum \Delta \sigma = \Delta \sigma^* + \sigma = -5,0 - 11,5 = -16,50 \text{ bars.}$$

Contrainte due à la précontrainte : $\sigma_b' = 6 \cdot 12327,20 \left(\frac{1}{1200} + \frac{8,25}{16 \cdot 10^4} \right) = 97,22 \text{ bars}$

Donc, Contrainte résiduelle : $\sigma_{b,i}' = 97,22 - 4,60 = 92,62 \text{ bars}$
due au pds propre (pre seule)

$$E_{fl} = 0,7 \left(K_{fl(7)} \cdot \frac{\sigma_{b,j}'}{E_{ij}(7)} \cdot 2(t-j) + K_{fl(90)} \cdot \frac{\Delta \sigma_{b,i}'}{E_{ij}(90)} \cdot 2(t-i) \right)$$

avec $\begin{cases} E_{ij}(7) = 24000 \sqrt{270} \\ E_{ij}(90) = 24000 \sqrt{420} \\ K_{fl(7)} = 2,45 \end{cases}; \begin{cases} 2(t-j) = 2(\infty) = 1 \\ 2(t-i) = 2(\infty) = 1 \end{cases}; \begin{cases} \sigma_{b,i}' = \sum \Delta \sigma = -11,38 \\ K_{fl(90)} = 1,92 \end{cases}$

on trouve : $E_{fl} = 3,42 \cdot 10^4$

$$\Delta \sigma_{fl} = E_{fl} \cdot E_a \cdot A_p = 3,42 \cdot 10^4 \cdot 1,9 \cdot 10^6 \cdot 0,93 = 604,3 \text{ dan} \approx \text{Valeur estimée.}$$

soit finalement la perte différenciée sur section complète d'après définition :

$$\begin{aligned} &= \Delta \sigma_r + \Delta \sigma_p + \Delta \sigma_{fl} - \Delta \sigma_{\text{éo}} - \Delta \sigma_{\text{diff-stock}} \\ &= 186 + 592 + 605 - 140,79 - 545,8 \\ &= 696,4 \text{ dan.} \end{aligned}$$

Valeurs caractéristiques des pertes sur le montage à $x = 0,536 \text{ m}$:

- $P_{\max} = 1,2 \cdot 696,4 = 835,7 \text{ dan}$
- $P_{\min} = 0,80 \cdot 696,4 = 557,1 \text{ dan}$

Variation des contraintes dans le béton sur le montage :

a/ Par pertes de précontraintes max :

F.S du hourdis :

$$n_1 = -n \cdot P_{\max} \left(\frac{1}{B_m} - \frac{E_m}{I_m / V} \right) = -6.835,7 \left(\frac{1}{2820} - \frac{23,83}{46708,4} \right) = +0,78 \text{ bars}$$

F.S de la poutre :

$$n_2 = -n \cdot P_{\max} \left(\frac{1}{B_m} - \frac{E_m}{I_m / (V-10)} \right) = -6.835,7 \left(\frac{1}{2820} - \frac{23,83(14,42-10)}{673534,7} \right) = -0,99 \text{ bars}$$

F.I de la poutre :

$$n_3 = -n \cdot P_{\max} \left(\frac{1}{B_m} + \frac{E_m}{I / V'} \right) = -6.835,7 \left(\frac{1}{2820} + \frac{23,83}{18930,0} \right) = -8,09 \text{ bars}$$

b/ Par pertes de précontraintes min :

F.S du hourdis :

$$n'_1 = +0,78 \cdot \frac{557,10}{835,7} = +0,52 \text{ bars.}$$

F.S de la poutre :

$$n'_2 = -0,99 \cdot \frac{557,1}{835,7} = -0,66 \text{ bars}$$

F.I de la poutre :

$$n'_3 = -0,09 \cdot \frac{557,1}{835,7} = -5,39 \text{ bars}$$

Valeurs caractéristiques des tensions dues aux pertes à x: les pertes totales à cette abscisse:

Pertes totales sur banc	1173,00	(I)
Pertes instantanées	584,00	(II)
Pertes différées (poutre scelle) = $\Delta \sigma_r + \Delta \sigma_p + \Delta \sigma_{sp} - \Delta \sigma_{concr}$	1437,00	(III)
$\sum (I + II + III) = \Delta \sigma_{pj}(x) = 3194,00$ dan		

des tensions sur les câbles :

$$P_{max} = 1,02 \cdot \sigma_p - 0,8 \cdot \Delta \sigma_{pj}(x) = 1,02 \cdot 14630 - 0,8 \cdot 3194,0 = 12092 \text{ dan}$$

$$P_{min} = 0,98 \cdot \sigma_p - 1,2 \cdot \Delta \sigma_{pj}(x) = 0,98 \cdot 14630 - 1,2 \cdot 3194,0 = 10240 \text{ dan}$$

Donc :

$$P_{max} = 12092 \text{ dan}$$

$$P_{min} = 10240 \text{ dan}$$

Contraintes finales dans la poutre dues à la précont. à x

a - Contrainte mini:

-	Fibre supérieure	Fibre Inférieure	
Contrainte dans le béton au début du stockage (contr. min)	-14,52	+136,8	bars
Perte de précontrainte durant le stockage (perte max)	+0,78	-7,32	:
Perte sur section complète (perte max)	-0,99	-8,09	:
Somme	-14,73	121,39	bars

b - Contrainte maxi:

-	Fibre supérieure	Fibre Inférieure	
Contrainte dans le béton au début du stockage (contr. max)	-16,06	+151,22	bars
Perte de précontrainte durant le stockage (perte min)	+0,52	-4,88	:
Perte sur section complète (perte min)	-0,66	-5,39	:
Somme	-16,20	140,95	bars

Vérification des contraintes normales à la mise en précontrainte.

Cette vérification doit être faite à la longueur d'établissement minimum de la précontrainte (l_{min}) car à cette abscisse, la précontrainte est maximum et la décompression due au poids propre est minimum.

À l'abscisse $x = 0,748 \text{ m}$ à la mise en précontrainte, la force de précontrainte max est :

$$P_{\text{max}} = 13517,0 \text{ daN par tonne} (\text{per les instantanées})$$

et :

$$\cdot \text{En F.S} \rightarrow n_o = -16,06 \text{ bars}$$

$$\cdot \text{En F.I} \rightarrow n'_o = +151,22 \text{ bars}$$

Calcul des ordonnées de la section d'enrobage :

$$\cdot \text{ordonnée de la F.I} = \text{ordonnée du 1er lit} - \left(\frac{\phi}{2} \text{ (armat)} + \frac{2}{3} \cdot d_0 \right)$$

$$d_0 = \text{(distance min} = 3 \text{ cm}) \quad (\S 47.3 \text{ IP2})$$

$$= 6,5 - \left(\frac{1,24}{2} + \frac{2}{3} \cdot 3 \right) = 3,9 \text{ cm.}$$

$$\cdot \text{ordonnée de la F.S} = \text{ordonnée du dernier lit} + \left(\frac{\phi}{2} + \frac{2}{3} \cdot d_0 \right)$$

$$= 15,5 + \left(\frac{1,24}{2} + \frac{2}{3} \cdot 3 \right) = 18,12 \text{ cm.}$$

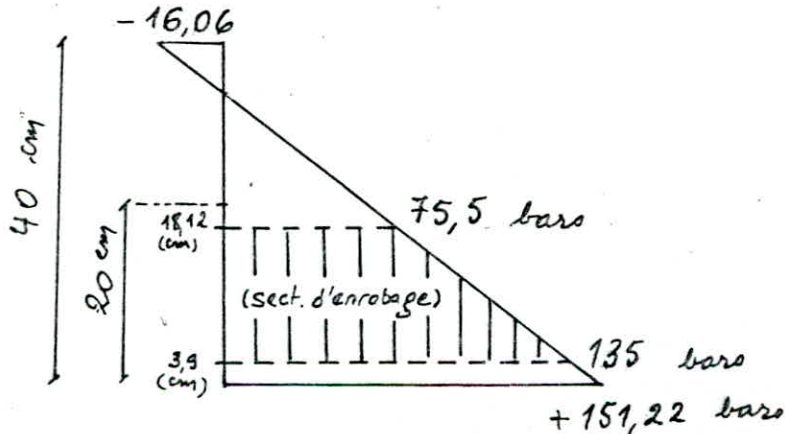
• Au niveau inf (F.I) de la section d'enrobage :

$$6 \cdot 13517 \cdot \left(\frac{1}{1200} + \frac{8,25}{160000} \right) = 135 \text{ bars}$$

• Au niveau sup (F.S) de la section d'enrobage :

$$6 \cdot 13517 \cdot \left(\frac{1}{1200} + \frac{8,25}{160000} \right) = 75,5 \text{ bars}$$

D'où le diagramme des contraintes :



• Calcul des contraintes dues au poids propre de la poutre : à la mise en précontrainte sur le banc, la poutre s'appuie sur ses deux extrémités d'où $l = 8,7 \text{ m}$.

$$g = 300 \text{ daN/ml} \quad (\text{pds moyen de la ptre}).$$

$$g' = 0,98 \cdot 300 \text{ daN/ml} \quad (\text{valeur minimale du poids propre})$$

$$M_{g'} = \frac{0,98 \cdot 300 \cdot 0,748}{2} (8,7 - 0,748) = 874,4 \text{ daN.m} \quad (\text{momt à } le=0,836)$$

contraintes correspondantes :

$$\text{- En fibre sup} = \frac{87440}{160000} \cdot 20 = +10,93 \text{ bars}$$

$$\text{- Au niveau sup de la section d'enrobage} = \frac{87440}{160000} (-1,88) = -1,03 \text{ bars}$$

$$\text{- Au niveau inf de la section d'enrobage} = \frac{87440}{160000} (-16,1) = -8,79 \text{ bars}$$

$$\text{- En fibre inf} = \frac{87440}{160000} (-20) = -10,93 \text{ bars}$$

Vérification des contraintes dans la zone de régularisation : (à x)

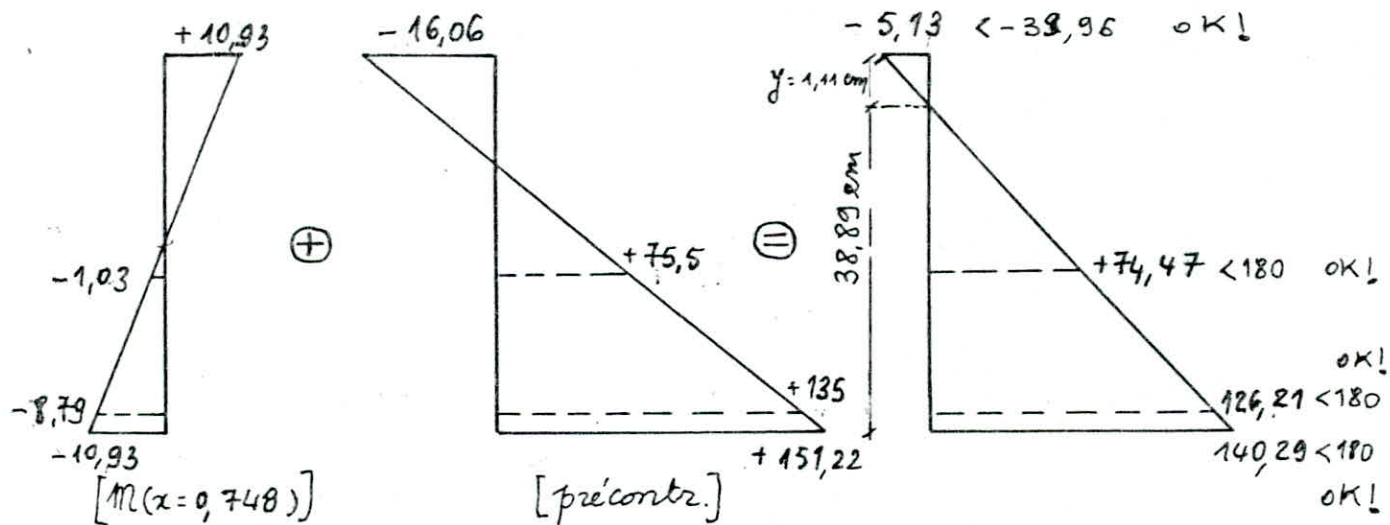
- La contrainte de compression (fibre inf) est limitée à $\frac{\sigma'_x}{1,5}$ (§ 2.1.3 IP2)

$$\frac{\sigma'_x}{1,5} = \frac{270}{1,5} = 180 \text{ bars.}$$

- Les contraintes de traction ne doivent pas dépasser les valeurs suivantes (genre II_b)

$$\cdot \text{Section d'enrobage : } \sigma = 6 + 0,06 \cdot \sigma' = 6 + 0,06 \cdot 270 = 22,2 \text{ bars}$$

$$\cdot \text{Hors section d'enrobage : } 1,8 \cdot \sigma = 1,8 \cdot 22,2 = 39,96 \text{ bars.}$$



On constate que la section d'enrobage est entièrement comprimée, la condition est vérifiée et que toutes les contraintes sont vérifiées.

Règle particulière à l'about : (§ 34.6.1 IP2); La contrainte fictive à l'about calculée sur la section (S_2) est limitée à $\frac{\sigma'_x=28}{1,3} = \frac{270}{1,3} = 207,69 \text{ bars.}$

S_2 reçoit la force $= 6 \times 13517 = 81102 \text{ daN} = 81,1 \text{ t.} = F$

$S_2 = 18,12 \times 30 = 543,6 \text{ cm}^2$ (aire de la section d'enrobage)

la contrainte appliquée sur S_2 est : $\sigma' = \frac{P}{S_2} = \frac{81102,0}{543,6} = 149,2 < 207,69$
c'est donc vérifié. OK!

④ Repise conventionnelle de traction du béton dans la zone tendue.

(§ 2.1.4.2 IP2)

$$\text{La section d'armatures nécessaire} = A_c \geq \frac{0,1}{100} B + \frac{F_B}{\sigma_e}$$

où :

- B : aire du béton tendue ; $B = 1,11 \cdot 30 = 33,3 \text{ cm}^2$

- F_B : effort de traction dans cette aire ; $F_B = 33,3 \cdot \frac{5,13}{2} = 85,41 \text{ daN}$

- $\sigma_e = 4120 \text{ bars (Fe E 40)} ; \phi \leq 20 \text{ mm}$

$$A_c \geq \frac{0,1}{100} \cdot 33,3 + \frac{85,41}{4120} = 0,060 \text{ cm}^2$$

soit 2710 ($A = 1,57 \text{ cm}^2$)

VERIFICATION DE LA FLEXION A L'ETAT limite D'UTILISATION

A. Valeurs caractéristiques des moments des actions de longues durées:

ces valeurs sont obtenues en ponderant les moments probables par les coefficients suivants :

	valeurs caractéristiques max	valeurs caractéristiques min
poids propre de la poutre (g_p)	1,03	0,98
poids propre hourdis (dalle + piedalles)	1,06	0,96

$$g_p = 300 \text{ daN/m} ; g_m = 2800 \cdot 0,1 \cdot 3,00 = 750 \text{ daN/m}$$

Moments des actions de longue durée à $\frac{l}{2}$

$$\text{. poids propre de la poutre : } M_p = g_p \cdot \frac{l^2}{8} = 300 \cdot \frac{8,7^2}{8} = 2838,375 \text{ daN.m}$$

$$\left\{ M_{max} = 1,03 \cdot M_p = 2923,53 \text{ daN.m} \right.$$

$$\left. \quad M_{min} = 0,98 \cdot M_p = 2781,61 \text{ daN.m} \right.$$

$$\text{. poids propre du hourdis : } M_m = g_m \cdot \frac{l^2}{8} = 750 \cdot \frac{8,7^2}{8} = 7095,937 \text{ daN.m}$$

$$\left\{ M_{max} = 1,06 \cdot M_m = 7521,69 \text{ daN.m} \right.$$

$$\left. \quad M_{min} = 0,96 \cdot M_m = 6812,10 \text{ daN.m} \right.$$

- Contraintes dues au poids propre de la poutre : (caract. de la poutre seule avec $N=0$)

$$1. F.I \text{ de la poutre} = -\frac{M}{I/V'} = -\frac{292350}{8000} = -35,0 \text{ bars}$$

$$2. L.I \text{ de la section d'enrobage} : -\frac{M}{I} (V' - 3,9) = -\frac{292353}{160000} (20 - 3,9) = -29,4 \text{ bars}$$

$$3. L.F \text{} : -\frac{M}{I} (V' - 18,12) = -\frac{292353}{160000} (20 - 18,12) = -3,43 \text{ bars}$$

$$4. F.S \text{ de la poutre} = +\frac{M}{I/V} = +\frac{292350}{8000} = +35,0 \text{ bars.}$$

- Contraintes dues au poids propre du hourdis (dalle) : (caract. de la poutre seule avec $N=0$)

$$1. F.I \text{ de la poutre} = -\frac{M}{I/V'} = -\frac{752169}{8000} = -93 \text{ bars}$$

$$2. L.I \text{ de la section d'enrobage} : -\frac{M}{I} (V' - 3,9) = -\frac{752169}{160000} (20 - 3,9) = -75,6 \text{}$$

$$3. L.F \text{} : -\frac{M}{I} (V' - 18,12) = -\frac{752169}{160000} (20 - 18,12) = -8,84 \text{}$$

$$4. F.S \text{ de la poutre seule} : -\frac{M}{I/V} = +94 \text{ bars}$$

- Contraintes dues aux surcharges d'exploitations (caract. de la section complète $N=4$)

$$M = q \frac{l^2}{8} = 250 \cdot 3,00 \cdot \frac{8,7^2}{8} = 7095 \text{ daN.m.}$$

$$1. F.I \text{ de la poutre} = -\frac{M}{I/V'} = -\frac{709500}{19398} = -36 \text{ bars}$$

$$2. L.I \text{ section d'enrobage} = -\frac{M}{I} (V' - 3,9) = -\frac{709500}{686474} (35,39 - 3,9) = -32 \text{ bars}$$

$$3. F.S \text{ de la poutre et F.I de la dalle} = +\frac{M}{I} (V - 10) = +\frac{709500}{686474} (14,61 - 10) = +4,8$$

$$4. F.S \text{ de la dalle} = +\frac{M}{I/V} = +\frac{709500}{46986,6} = +15,1 \text{ bars.}$$

Remarque : Les contraintes dues au retrait de la dalle (en contact avec la poutre) et le flUAGE géné de la poutre par la dalle sont très faibles ($\approx 0,8$ bars) c'est pourquoi on les a pas prise en considération.

Ses différentes phases :

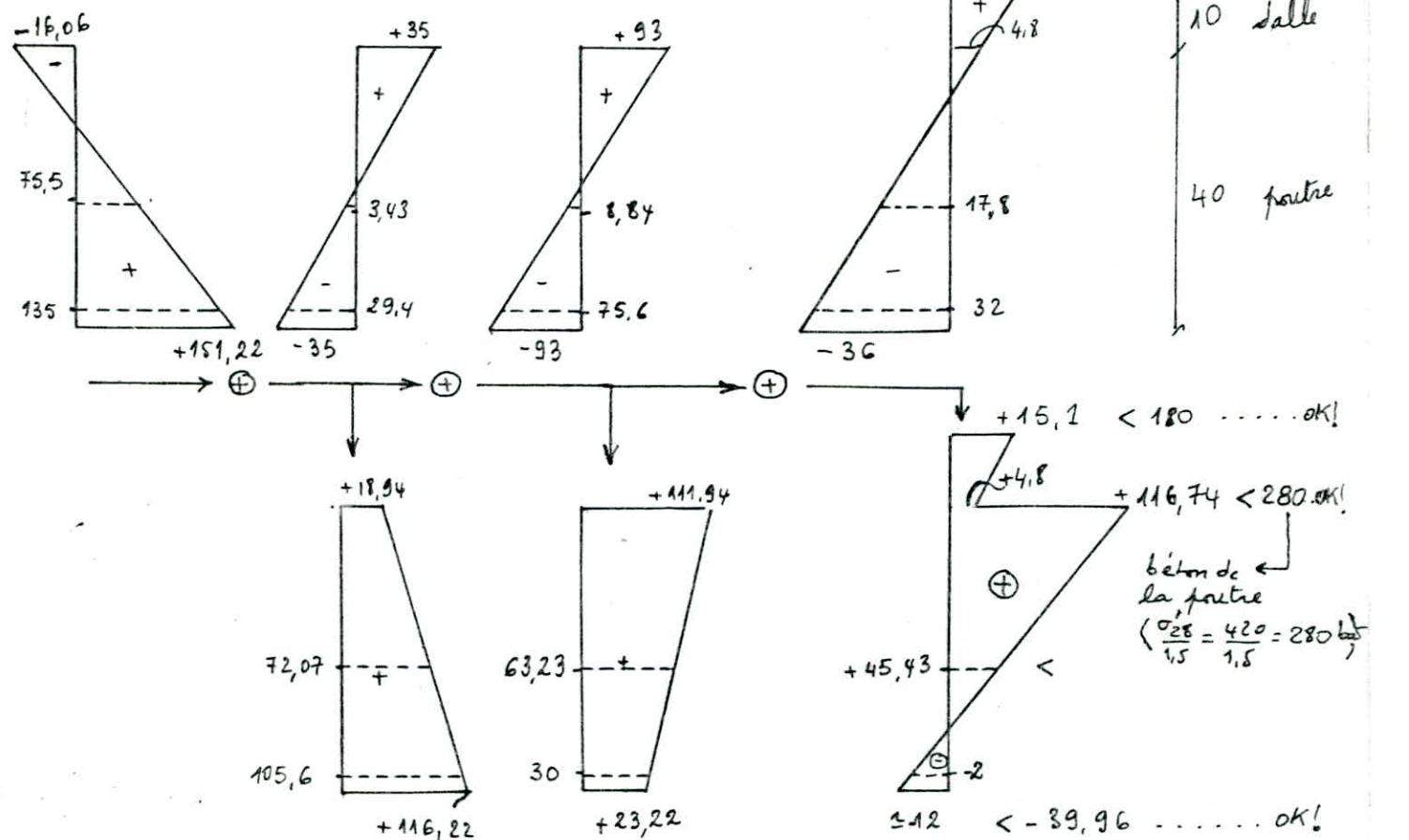
1. Poids propre de la poutre seule + précontrainte sur banc
2. Poutre supporte seule la table (prédalle + béton frais de la dalle)
3. Poutre + table travaillent ensemble après la prise du béton de dalle.
(section complète) pour reprendre l'ensemble des charges permanentes
4. Surcharges (section complète).

préc.

p.p.(poutre)

p.p.(horsd'oe)

(surcharges)



Conclusion: l'état de contrainte de notre poutre est dans les limites admissibles définies selon le genre II.

Remarque: si on avait soulagé la poutre avec un étai en son milieu, on aurait une contrainte de traction beaucoup plus inférieure à celle trouvée sans étaiement (≈ -12 bars).
Donc on recommandera un étai lors de la pose de la poutre.

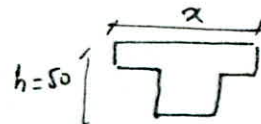
B. Vérification à la rupture par flexion:

• Le moment de charge: $M_{OR} = (1,4 \cdot g + 1,61 \cdot q) \frac{l^2}{8} = (1,4 \cdot 1050,0 + 1,61 \cdot 3 \cdot 250) \frac{8,7^2}{8}$
 $M_{OR} \approx 25332,5 \text{ kg} \cdot \text{m}$

$$F = F_{actif} + F_{passif} = \frac{F_{actif}}{1,15} \cdot n + \frac{\sigma_{actif}}{1,15} \cdot A_c$$

$$F = \frac{17360}{1,15} \cdot 6 + \frac{4200}{1,15} \cdot 1,57 = 90574,0 + 5734 = 96308 \text{ daN}$$

$$y = \frac{F}{\sigma_b' \cdot x} = \frac{96308}{300 \cdot 300} = 1,07 \text{ cm.} \quad (\sigma_b' = \frac{\sigma_{actif}}{1,4})$$



• Le moment de Rupture $M_R = M_{Ract} + M_{Rpass}$

$$M_{Ract} = |Fact \cdot (h - d' - 0,5 \cdot q)| = |90574(0,50 - 0,11 - 0,5 \cdot 0,01)| = 34871 \text{ daN.m}$$

$$M_{R\text{ pass}} = F_{\text{pass.}} (h - d' - 0,5g) = 5734 (0,8 - 0,11 - 0,5 \cdot 0,01) = 2208 \text{ dan.m}$$

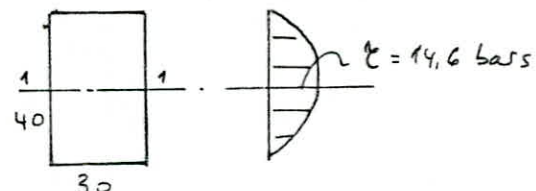
$$M_R = M_{R\text{ act}} + M_{R\text{ pass.}} = 34871 + 2208 = 37079 \text{ dan.m}$$

nous avons bien : $M_{R\text{ act}} = 25332,5 < M_R = 37079 \text{ dan.m} \rightarrow \text{vérifié}$
Donc pas de rupture par flexion.

VERIFICATION A L'EFFORT TRANCHANT

1. Avant de la pose de la poutre sur les deux extrémités :

$$\begin{aligned} T &= (1,4 \cdot g + 1,61 \cdot q) \frac{l}{2} \\ &= (1,4 \cdot 1050 + 1,61 \cdot 250 \cdot 3) \cdot \frac{8,7}{2} \\ &= 11647 \text{ kg.} \end{aligned}$$



- à la fibre moyenne :

$$\gamma_1 = \frac{3}{2} \frac{T}{A} = \frac{3}{2} \cdot \frac{11647}{1200} = 14,6 \text{ bars}$$

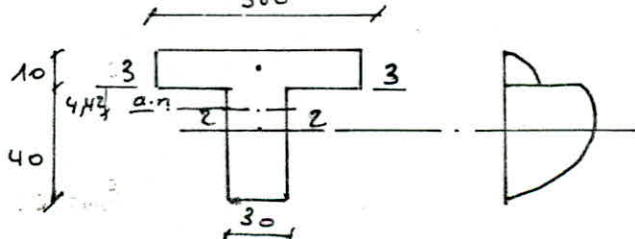
2. Après durcissement du béton de la dalle (section en "T")

- à la fibre (3-3) :

$$\gamma_3 = \frac{T \cdot S^*}{b \cdot I}$$

$$S^* = (10 \cdot 300)(4,4) = 13260 \text{ cm}^3$$

$$\gamma_3 = \frac{11647 \cdot 13260}{30 \cdot 673534,7} = 7,64 \text{ bars}$$



- à la fibre (2-2)

$$\gamma_2 = \frac{11647 \cdot 19003,4}{30 \cdot 673534,7} = 10,95 \text{ bars.}$$

Contrainte de cisaillement admissible : $\bar{\gamma}$.

$$\bar{\gamma} = 0,25 \sqrt{\frac{\sigma'_{28}}{1,8} \cdot \sigma_{28}} = 0,25 \sqrt{\frac{420}{1,8} \cdot 22,2} = 18 \text{ bars.}$$

Nous avons bien : Dans les sections particulières (1-1); (2-2); (3-3)
 $\gamma < \bar{\gamma}$ vérifié.

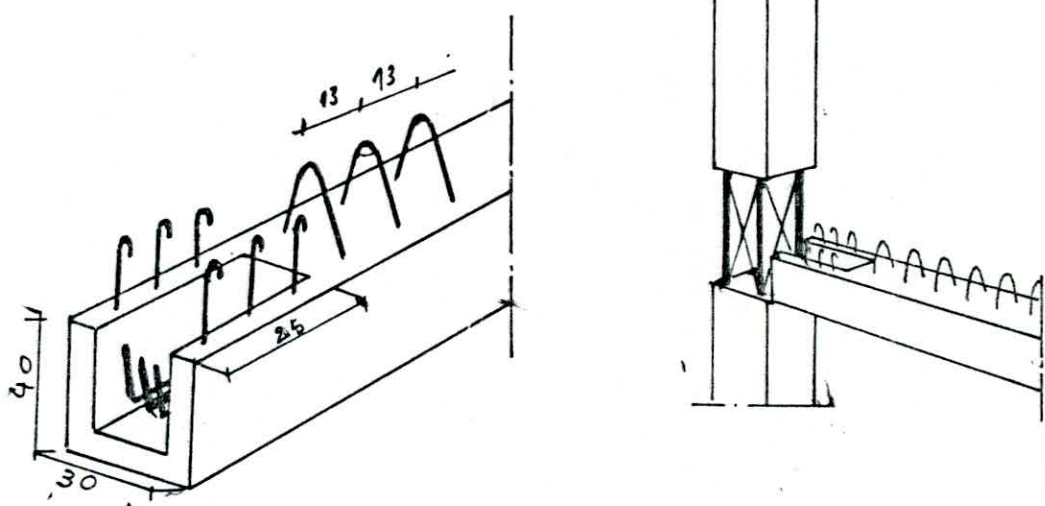
- Armatures transversales : Ses armatures transversales de notre poutre précontrainte seront laissées apparentes à la partie supérieure pour assurer la couture poutre-dalle.

Soit 2 brins T10 HA ($A_t = 1.57 \text{ cm}^2$)

$$\text{l'épalement } t = t_g, \frac{A_t \cdot \sigma_e}{1.1 \cdot \gamma_{1,6}} = \frac{1.57 \cdot 4120}{1.1 \cdot 14,6 \cdot 30} = 13 \text{ cm}$$

$$t_{\max} = \min [0,9d; 40 \text{ cm}] = 34 \text{ cm}$$

Soit : La répartition suivante : $5 \times 13 + 5 \times 15 + 5 \times 18 + 5 \cdot 22$
 $+ 5 \times 25 + \dots + 5 \cdot 15 + 5 \times 13$



DEFORMATION

1. Déformation Instantanée de la poutre précontrainte sur banc et jusqu'à sa pose.

$$f_p = -\frac{0,85(\ln P_{max})E \cdot l^2}{8 \cdot E \cdot I} = -\frac{0,85(6 \cdot 12092) \cdot 0,0825 \cdot 8,7^2}{8 \cdot E \cdot I} = \frac{48136}{E \cdot I}$$

le coefficient 0,85 tient compte de la longueur d'établissement de la précontrainte à chaque extrémité.

Déformation instantanée sous poids propre de la poutre =

$$f_{p,p} = \frac{5 \cdot g \cdot l^4}{384 \cdot E \cdot I} - \frac{48136}{E \cdot I} = \frac{5 \cdot 300 \cdot 8,7^4}{384 \cdot E \cdot I} - \frac{48136}{E \cdot I} = -\frac{25757}{E \cdot I}$$

on admet un flueage de 20% (le temps de stockage de la poutre doit être diminué au maximum pour éviter une déformation irréversible, ce temps ne doit pas dépasser 1 mois).

$$f_{p,p} = -1,2 \frac{25757}{E \cdot I} = -\frac{30908,5}{E \cdot I}$$

avec : $E = 3 \cdot 10^9 \text{ kg/m}^2$; I (poutre seule) = $0,0016 \text{ m}^4$

$$f_{p,p} = -\frac{30908,5}{3 \cdot 10^9 \cdot 0,0016} = -0,0064 \text{ m}$$

sont : -6,4 mm de contre-fleche.

2. Déformation sous revêtement et cloison : ($g^* = p.p$ des revêts + cloisons)

$$\frac{5 \cdot g^* \cdot l^4}{384 \cdot E \cdot I} = \frac{5 \cdot 600 \cdot 8,7^4}{384 \cdot 3 \cdot 10^9 \cdot 0,001686474} = 0,005 \text{ m} (5 \text{ mm})$$

4. La flèche totale sous charges permanentes est : $-6,4 + 5 = -1,4 \text{ mm}$
de contre-fleche.

La flèche a donc évolué de -6,4 mm à -1,4 mm.

La flèche nuisible est celle qui correspond à l'évolution de la déformation entre la flèche notée à la pose des revêtements et cloisons jusqu'à la flèche finale, ici de l'ordre de $1-1,4 = 1,4 \text{ mm}$ qui est très faible devant la flèche nuisible admissible ($f \approx 1 \text{ à } 1,5 \text{ cm}$).

Chapitre 5.

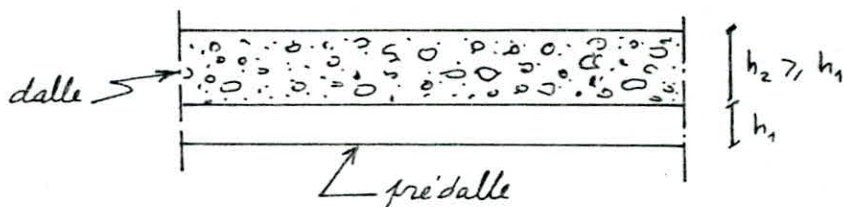
- Planchers à prédalles
 - Calcul des prédalles
 - Prédalles en phase provisoire
 - Déformation des planchers à prédalles
-

PLANCHERS A PREDALLES

Introduction: Tous les planchers de notre bâtiment sont constitués par une dalle pleine mince d'épaisseur 5 cm coulée sur place et reposant sur des prédalles précontraintes d'épaisseur 5 cm lesquelles reposent sur des poutres (PA ou SP) et sur des voiles selon leur position.

Définition et rôles des prédalles: Dans le cours de notre étude, on désigne par "prédalles" des plaques préfabriquées en béton armé ou précontraint destinées à former la partie inférieure armée d'un plancher et lui servir de coffrage apparent. Elles sont associées à du béton de dalle coulé sur chantier et l'ensemble ainsi formé est considéré monolite.

Les planchers visés sont du type à dalle pleine à appuis continus. L'épaisseur du béton de complément, coulé en œuvre, étant au moins égale à celle des prédalles.



Les planchers ainsi réalisés peuvent avoir deux, trois ou quatre bords appuyés.

Les prédalles utilisées sont en béton précontraint par des armatures adhérentes. Elles ont des sous-faces lisses prêtes à peindre ou à tapisser après traitement des rives et éventuellement application d'un "bouche-pore". Leur partie supérieure est rendue rugueuse pour favoriser la prise de bétonnage (monolite).

Les prédalles sont livrables en épaisseurs 5, 6, 8, 10 cm, leur largeur courante est de 1,20 m (SAPTA, Algérie), aussi sont-elles fabriquées à la demande selon les contraintes du chantier et les exigences architecturales après vérification par calcul approprié. Elles permettent de franchir des portées allant jusqu'à 10,0 m.

Chaque pré dalle comporte 4 crochets de levage permettant sa manutention à l'aide de 4 élingues.

Avantages:

- Pour les promoteurs et architectes:
 - S'adapte aisement au système constructif prévu par l'architecte.
 - Elle permet de réduire les temps de réalisation de l'ouvrage.
 - Sa surface présente un aspect lisse, prêt pour l'application de peinture ou de tapisserie.
 - Sa qualité est contrôlée lors de sa fabrication en usine.

• Elle est conforme à la législation en vigueur : résistance mécanique, isolation thermique, isolation acoustique, protection incendie.

- Pour les bureaux d'études et les ingénieurs conseils :

- Elle est conforme à la réglementation en vigueur, au CPT...
- Elle facilite la conception de l'ouvrage et la rapidité d'exécution des plans.
- C'est un composant compatible avec les autres composants d'ossature ou de façade.

- Pour les entreprises

- La suppression des coffrages (bois, métal) réduit les immobilisations et les investissements de matériel.
- Les approvisionnements se font au rythme du chantier.
- La facilité de mise en œuvre de la pré dalle garantit des cadences de poses élevées.
- Suppression d'enclume sur les sous-faces (économie de M.O.).

Autres avantages concernant l'ossature scope :

- Facilité et rapidité de mise en œuvre. Soupleesse d'organisation de chantiers.
- Economie d'acier et de béton coulé en œuvre. Allégement des structures.
- Compatible avec tout type de construction.
- Pré dalles avec Inserto Électriques et crantage d'adhérence avant coulage de la dalle B.A.
- Suppression de coffrage. Etalement réduit. Possibilité de sans étai.
- Parfait fini de rives. sous-faces prête à peindre.
- Liberté de positionnement des tremies grâce au renforcements intégrés.
- Pré dalles pour fortes surcharges et grandes portées jusqu'à 10 m.
- Pré dalle élégie pour plancher à grande performance avec poutres moyées.
- Grande variété de formes.
- Dallettes intercalaires stockables.

Mise en œuvre.

• Manutention: A la grue et par des élingues prises sur les crochets de levage (au nombre de 4) assurés par des Fe E24 #8 et #10

• Étalement: Il est possible de poser sans étai selon les portées et les épaisseurs. Dans le cas d'une pose avec étai, les files d'étais sont placées parallèlement aux appuis et divisant la portée en parties égales.

Dans notre cas, une seule file d'étais suffit (1 phase provisoire)

• Aciers: Le ferrailage à placer sur chantier est réduit au minimum.

- des chapeaux reprennent les moments aux appuis.

- un treillis soudé spécial en bande de 80 cm de large, livré avec la pré dalle, recouvre les rives pour transmettre les efforts transversaux d'une pré dalle à l'autre.

• Trémies: Les réservations et trémies sont prévues, sur demande, lors de la fabrication.

• Traitements des rives: Avant le traitement, il est nécessaire de veiller à la propreté des rives, elles doivent être exemptes de poussières, traces de laitance ou d'huile de démoulage. Le profil de la pré dalle est triangulaire, il peut être laissé apparent en bâtiments industriels, scolaires...

• Appuis: Trois possibilités de pose :

- sur bain de mortier

- sur appuis prévus et de niveau.

- sur lisse en bois (formant appui et coffrage lors du coulage du béton).

- sur un mur en béton, l'appui doit être de 2 cm pour une pose avec étai.

- sur poutre précontrainte, en intercalaire, l'appui est également de 2 cm.

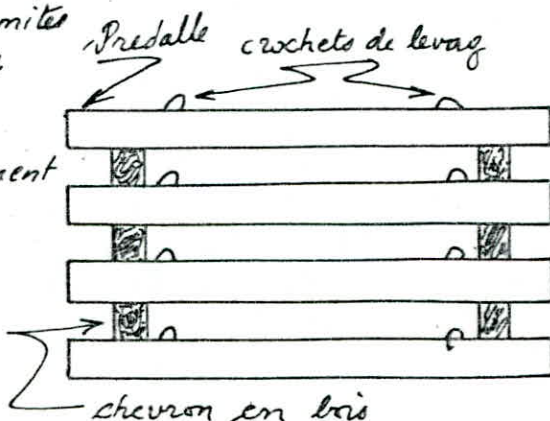
- sur un mur en maçonnerie, l'appui est de 4 cm.

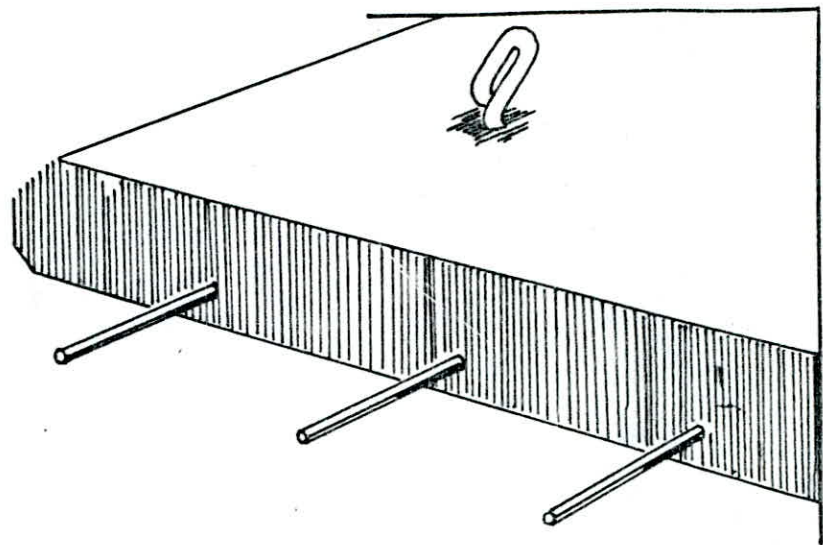
• Dalle de répartition: Le béton de la dalle est dosé à 350 kg/m³ de CPA.

• Stockage et consignes: 1) Les chevrons sont placés à plat dans un même plan vertical, la dimension des chevrons placés à plat est supérieure à la hauteur des crochets.

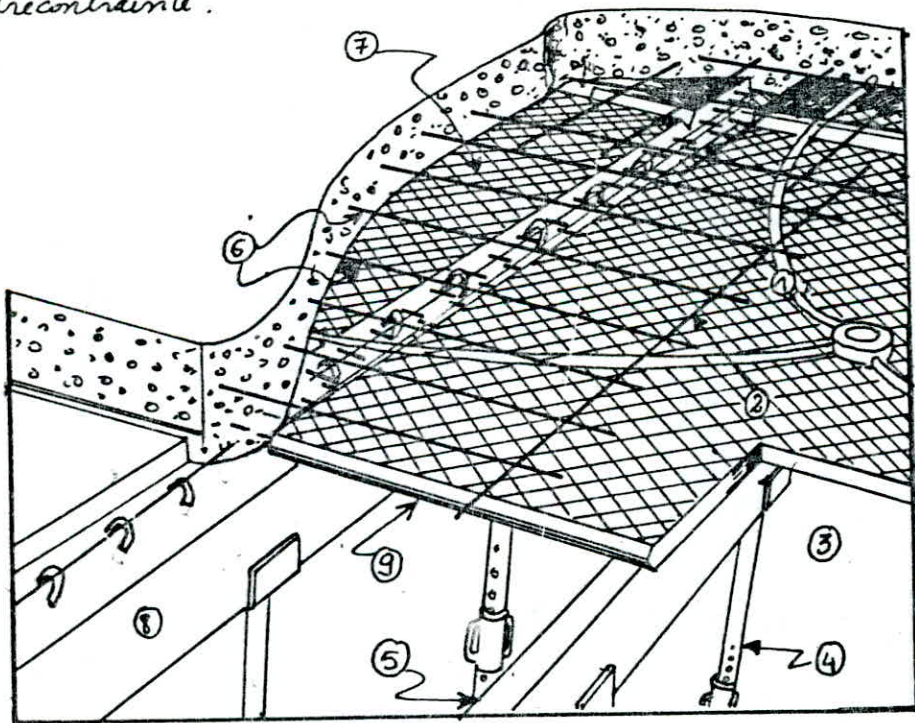
2) Les chevrons sont positionnés aux extrémités des pré dalles. Un chevron intermédiaire est ajouté pour les grandes pré dalles.

3) Les chevrons sont placés perpendiculairement aux armatures de précontrainte.





- ① Boîtier électrique
- ② Eventuellement acier de montage support de chapeaux
- ③ Crémie.
- ④ Etai
- ⑤ lisse.
- ⑥ chapeaux ..
- ⑦ treillis soudé.
- ⑧ poutre précontrainte.



CALCUL DES PLANCHERS A PREDALLES

CALCUL DES PREDALLES

FLEXION LONGITUDINALE.

Poids revenant aux prédalles:

○ Plancher terrasse :

• poids propre ($e = 5 \text{ cm}$) -----	125	kg/m^2
• dalle coulée sur place ($e = 5 \text{ cm}$) -----	125	"
• revêtement (4 cm) -----	80	"
• étanchéité -----	10	"
• forme de pente -----	144	"
	= 484	kg/m^2

surcharges = $100 \text{ kg}/\text{m}^2$

○ Plancher courant :

• poids propre ($e = 5 \text{ cm}$) -----	125	kg/m^2
• dalle coulée sur place ($e = 5 \text{ cm}$) -----	125	"
• revêtement -----	80	"
• cloisons -----	75	"
	= 405	kg/m^2

surcharges = $250 \text{ kg}/\text{m}^2$

○ Escalier : surcharges = $300 \text{ kg}/\text{m}^2$.

Armatures utilisées : (voir chapitre caractéristiques des mtz.)

Position des armatures dans l'épaisseur : La position des armatures dans l'épaisseur de la pré dalle est repérée après dimensionnement des cales de maintien des fils.

- Pour les dalles d'épaisseur de 5 cm, les aciers sont placés à la limite du noyau central, soit $d' = 1,66 \text{ cm}$
- Pour les aciers placés à 2 cm de la base, il faut une cal de 17,4 mm théoriquement. On mettra un rond de 18 mm ou un plat.
- Pour les aciers placés à 2,5 cm, il faut une cal de 22,4 mm. On mettra un rond de 24 mm ou un plat
- Pour les aciers placés à 3,0 cm, il faut une cal de 27,4 mm. On mettra un plat de 28 mm.

Calcul de la précontrainte minimale (Valeur conventionnelle)

$$\sigma_{Pm} = \frac{n\phi \cdot F_{Rg}}{b \cdot h_1 \cdot K_R} \quad \text{avec : } 15 \text{ bars} \leq \sigma_{Pm} \leq 110 \text{ bars}$$

où :

h_1 : épaisseur de la pré dalle en (cm) $5 \leq h_1 \leq 8$

$n\phi$: nombre de fils par mètre de largeur de pré dalle.

b : largeur de la pré dalle pris en compte ($b = 1,00 \text{ m}$)

K_R : coefficient dépendant de la relaxation des aciers (1,4%)

F_{Rg} : force de rupture garantie des aciers en (daN)

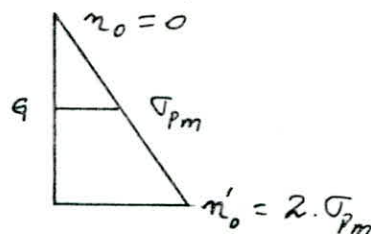
- Remarques :
- cette contrainte de la forme $\sigma = F/S$ représente la contrainte au centre de gravité de la pré dalle.
 - si $h_1 < 5 \text{ cm}$, on prendra $h_1 = 5 \text{ cm}$

- si la tension initiale T_i est inférieure à la valeur maximum autorisée ($0,85 R_g$ ou $0,95 T_g$), on substitue à F_{Rg} la valeur $1,2 T_i$ à condition que cette dernière n'excède pas F_{Rg} .

Calcul des précontraintes des pré dalles :

Rappel : si les fils de précontrainte sont placés à la limite basse du noyau central :

N.C : $e = \frac{h_1}{6}$



Vérification en flexion :

1. Le moment appliqué : M_{ul} - Il s'agit d'un moment ultime "Mul" sollicitant en kg.mètre de largeur de la pré dalle conformément à la RDM en majorant par 1,5 les charges permanentes et par 2 les surcharges d'exploitation.

$$Mul = (1,5 \cdot q + 2 \cdot s) \frac{L^2}{8} \quad \text{avec : } Mul \leq \min[Mul_1, Mul_2]$$

2. Expression de Mul : moment résistant à rupture classique : $\frac{1}{\text{moments résistants}}$.

$$Mul_1 = (n\phi \cdot F_{Rg} + F_p) \left[H_u - \frac{1}{2} \frac{n\phi \cdot F_{Rg} + F_p}{225 \cdot 10^4} \right]$$

• $F_p = n\phi \cdot \sigma_{en} \cdot A'$ → cas des aciers HA et $n\phi$: nbre d'armatures passives.

• $F_p = 0,9 \cdot n'\phi \cdot F_{Rg}$ → cas des aciers H.L.E.

• $H_u = h_t - d'$ avec $\begin{cases} h_t = \text{hauteur totale en (m) de la pré dalle} \\ d' = \text{enrobage des aciers inférieurs} \end{cases}$

• le terme : $225 \cdot 10^4$ représente $\bar{\sigma}_b'$ en daN/m².

Nota : si la tension initiale est inférieure à la valeur de tension maximale autorisée, on substitue dans l'expression de M_{ul_2} , le maximum de $0,9 \cdot F_{Rg}$ et $1,2 \cdot T_i$ à condition que cette dernière n'excède pas F_{Rg} .

3. Expression de M_{ul_2} : moment résistant qui en fait une pseudo phase pondérée par un coefficient de sécurité qui permet de comparer un calcul de moment "en phase" avec le M_{ul} pondéré appliqué.

$$\overline{M_{ul_2}} = \frac{H_t^2 \cdot 10^4}{3} \left(1 - \frac{1}{4} \frac{g + X^5}{g + S} \left(1 - 2 \cdot 10^3 \cdot \sigma_{pm} \right) \left(1 + \frac{2 K_F}{K_F + \sigma_{pm}} \right) \sigma_{pm} \right)$$

où :

H_t : hauteur totale du plancher fini (en m)

σ_{pm} : précontrainte minimale (en bars)

K_F : 20 ou 15 bars suivant que l'atmosphère est protégée ou non.

X^5 : Fraction de charge d'exploitation susceptible d'application durable.

Base d'établissement de la précontrainte (formule) : la contrainte en fibre inférieure ne pouvant pas être déterminée avec précision du fait de la structure du plancher même. Il a été choisi de comparer deux contraintes connues : la contrainte en fibre inférieure due aux charges extérieures et la contrainte due à la précontrainte moyenne ; et de limiter leur écart.

$\sigma_i = \frac{6 \cdot M}{b \cdot H_t^2 \cdot 10^4}$: la contrainte en fibre inférieure
avec : M (daN.m) ; H_t (m), b (m)
on prend $b = 1$ m.

σ_{pm} : précontrainte moyenne (en bars)

$\sigma_{résid}$: contrainte résiduelle caractérisant l'écart entre σ_{pm} et σ_i

$$\frac{6 \cdot M}{b \cdot H_t^2 \cdot 10^4} - \sigma_{pm} = \sigma_{résid}$$

d'où $M = \frac{b \cdot H_t^2 \cdot 10^4}{6} (\sigma_{pm} + \sigma_{résid})$

et $\sigma_{résid} = \frac{2 \cdot K_F \cdot \sigma_{pm}}{\sigma_{pm} + K_F}$: Formule empirique limitant l'écart de manière rationnelle.

en atmosphère protégée : $K_F = 20$ bars.

d'où :

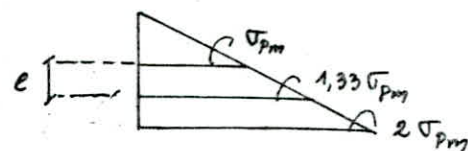
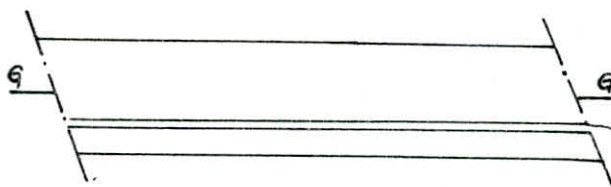
σ_{pm} (bars)	20	40	60	80
$\sigma_{résid}$ (bars)	-20	-26,5	-30	-32

Influence de la perte de précontrainte par raccourcissement du béton :

Fluage = $1,5 \times$ raccourcissement instantané, compte tenu de la part de racc déjà effectué à la pose.

$E_i = 350\ 000$ bars : module d'élasticité du béton à la mise en précontrainte.

Contrainte au niveau des files :



Raccourcissement total du béton : ϵ

$$E = 2,5 \cdot \frac{1,33 \cdot \sigma_{pm}}{350\ 000}$$

$$; E_i = 3 E_d \text{ soit } E_d = \frac{E_i}{3}$$

compte tenu de la part de raccte déja effectuée à la pose, on prend :

$$E_d = \frac{E_i}{2,5}$$

Perte de tension correspondante : $\Delta \sigma = E_d \cdot E_a$

$$\Delta \sigma = 2,5 \cdot \frac{1,33 \cdot \sigma_{pm}}{350\ 000} \cdot 20\ 000 = 0,19 \cdot \sigma_{pm}$$

cette perte est à comparer à une contrainte $\sigma_{rg} = \frac{3050}{19,7} = 150$ bars

calcul avec $\phi 5$: $\frac{\sigma_{rg}}{K_R} = \frac{150}{1,5} = 100$ soit $\frac{0,19 \cdot \sigma_{pm}}{100} \approx 2 \cdot 10^3 \cdot \sigma_{pm}$

La réduction due au retrait se trouvera dans le terme multiplicatif $(1 - 2 \cdot 10^3 \cdot \sigma_{pm})$

$$\text{d'où : } M_{ul_2} = \frac{H_t^2}{6} \cdot 10^4 \left(\sigma_{pm} + \frac{2 K_F \cdot \sigma_{pm}}{K_F + \sigma_{pm}} \right) (1 - 2 \cdot 10^3 \cdot \sigma_{pm})$$

L'incertitude sur les charges est prise en compte en considérant un coefficient de sécurité qui s'écrit :

$$\frac{1,5 \cdot M_g + 2 \cdot M_s + 1,5 \sum M_g + 2 \sum M_s}{M_g + M_s + \sum M_g + \sum M_s}$$

$$\text{après simplification : } 2 - \frac{0,5 M_g + 0,5 \sum M_g}{M_g + M_s + \sum M_g + \sum M_s}$$

$$\text{avec : } M_g = g \frac{L^2}{8}$$

$$M_s = S \cdot \frac{L^2}{8}$$

on met 2 en facteur, et on rajoute empiriquement les termes $X_1 M_g$ et $X_2 \cdot \sum M_s$ pour tenir compte de ce que des charges d'exploitation sont susceptibles d'une application fréquente, donc susceptibles de créer des fissures.

$$2 \left(1 - \frac{1}{4} \frac{M_g + X_1 \cdot M_s + \sum M_g + X_2 \cdot \sum M_s}{M_g + M_s + \sum M_g + \sum M_s} \right)$$

Remarque : Dans le cas particulier où l'on a que des charges uniformément réparties, l'expression devient :

$$2 \left(1 - \frac{1}{4} \frac{g + X \cdot S}{g + S} \right)$$

D'où l'expression finale de $\overline{M_{ul_2}}$ après simplification :

$$\overline{M_{ul_2}} = \frac{h_t^2 \cdot 10^4}{3} \left(1 - \frac{1}{4} \cdot \frac{g + X \cdot S}{g + S} \right) \cdot \left(1 - 2 \cdot 10^3 \sigma_{pm} \right) \cdot \left(1 + \frac{2 K_F}{\sigma_{pm} + K_F} \right) \sigma_{pm}$$

\leftarrow cas de charges uniformes $q, s \rightarrow$

Vérification par M_{ul_1} :

$$M_{ul} \leq \overline{M_{ul_1}} \quad \text{avec} \quad \overline{M_{ul_1}} = (n_\phi \cdot F_{Rg} + F_p) \left(H_u - \frac{1}{2} \cdot \frac{n_\phi \cdot F_{Rg} + F_p}{225 \cdot 10^4} \right)$$

on tire la portée admissible L_1 :

$$L_1 = \sqrt{\frac{(n_\phi \cdot F_{Rg} + F_p) \left(H_u - \frac{1}{2} \cdot \frac{n_\phi \cdot F_{Rg} + F_p}{225 \cdot 10^4} \right) \cdot 8}{1,5 \cdot g + 2 \cdot S}}$$

Vérification par M_{ul_2} :

$$M_{ul} \leq M_{ul_2} \quad \text{avec} \quad M_{ul_2} = \frac{h_t^2 \cdot 10^4}{3} \left(1 - \frac{1}{4} \cdot \frac{g + X \cdot S}{g + S} \right) \left(1 - 2 \cdot 10^3 \sigma_{pm} \right) \left(1 + \frac{2 K_F}{\sigma_{pm} + K_F} \right) \sigma_{pm}$$

on tire la portée admissible L_2 :

$$L_2 = \sqrt{\frac{8 \cdot \frac{h_t^2}{3} \cdot 10^4 \left(1 - \frac{1}{4} \cdot \frac{g + X \cdot S}{g + S} \right) \left(1 - 2 \cdot 10^3 \sigma_{pm} \right) \left(1 + \frac{2 K_F}{\sigma_{pm} + K_F} \right) \sigma_{pm}}{1,5 \cdot g + 2 \cdot S}}$$

on effectue un calcul de L_1 sans aciers passifs.

• si $L_1 > L_2$: L_2 est la portée limite admissible.

• si $L_1 < L_2$: on peut rajouter des aciers passifs dans la limite autorisée, soit : $0 < F_p < 0,2 \cdot n_\phi \cdot F_{Rg}$

EXEMPLE DE CALCUL : Nous prendrons une pédalle d'épaisseur 5 cm dont les aciers seront placés au bas du noyau central à 1,66 cm de la base de la pédalle.

1. Vérification en flexion des pédalles: Tous les calculs de flexion se font avec les moments de rupture, de ce fait la vérification en phase élastique est rendu homogène à une rupture par l'application d'un coefficient de sécurité.

- Poids propre au m^2 de pédalle : $P = 2500 \cdot b \cdot h_t \cdot L = 2500 \cdot 10 \cdot 0,01 = 250 \text{ daN}$
- Moment de rupture en appui libre :

$$M_{ul} = (1,5 \cdot g + 2 \cdot S) \cdot \frac{L^2}{8}$$

où P : poids propre
 g : revêtement + charges permanentes
 S : $P + g$.

a/ Terrasse : $M_{ul} = (1,5 \cdot 484 + 2 \cdot 100) \cdot \frac{2,76^2}{8} = 881,73 \text{ kg/m}$

b/ Etage courant : $M_{ul} = (1,5 \cdot 405 + 2 \cdot 250) \cdot \frac{2,76^2}{8} = 1054,56$

La vérification consiste à calculer pour un nombre n_ϕ donné $\overline{M_{ul}}$ (valeur admissible du moment de rupture) et $\overline{M_{ul_2}}$ (valeur admissible du moment en

- phase élastique majorée pour être comparable à un calcul en rupture) et en compare ces deux moments au moment M_{ul} appliqué en travée.
- Si M_{ul_1} et M_{ul_2} sont simultanément supérieurs à M_{ul} , le nombre d'armatures courantes.
 - Si M_{ul_1} ou M_{ul_2} (ou les deux) sont inférieurs à M_{ul} , il faut augmenter le nombre d'armatures et recommencer la vérification.

Nous vérifierons la travée avec 5 fils : $n_\phi = 5 / \text{ml}$ ($b = 100 \text{ cm}$)

$$\text{Calcul de la précontrainte minimale : } \sigma_{Pm} = \frac{n_\phi \cdot F_{Rg}}{K_R \cdot b \cdot h_1}$$

où : $F_{Rg} = 3270 \text{ daN}$; $K_R = 1,4$ (acier de basse relaxation)
 $b = 100 \text{ cm}$ (calcul par mètre de largeur de pédale)
 $h_1 = 5 \text{ cm}$ épaisseur de la pédale

$$\sigma_{Pm} = \frac{5 \cdot 3270}{1,4 \cdot 100 \cdot 5} = 23,36 \text{ kg/cm}^2$$

$\sigma_{Pm} > 15 \text{ bars}$, nous pouvons continuer la vérification :

- à la rupture :

$$\bar{M}_{ul_1} = (n_\phi \cdot F_{Rg} + F_p) \left[h_u - \frac{1}{2} \cdot \frac{n_\phi \cdot F_{Rg} + F_p}{225 \cdot 10^4} \right]$$

où : F_p : Forces des aciers passifs s'il y a lieu. Les aciers passifs ne peuvent être utilisés que si la rupture est prépondérante. Ils doivent dans ce cas être limités à 20% de la force des aciers actifs.

Dans notre cas nous en mettrons :

$$h_u = h_t - d' \quad (\text{exprimé en mètre})$$

$$h_t = \text{hauteur totale de la dalle finie} = 10 \text{ cm} = 0,10 \text{ m}$$

$$d' = \text{distance de centre de gravité des aciers à la base de la dalle} = 1,66 \text{ cm}$$

$$\bar{M}_{ul_1} = (5 \cdot 3270 + 0) \left[(0,10 - 0,0166) - \frac{1}{2} \cdot \frac{5 \cdot 3270}{225 \cdot 10^4} \right] = 1238,84 \text{ kg.m}$$

on a bien :

$$\begin{cases} \bar{M}_{ul_1} > M_{ul, \text{terrasse}} \\ \bar{M}_{ul_1} > M_{ul, \text{ét. courant}} \end{cases} \rightarrow \text{Vérifié.}$$

$$\bar{M}_{ul_2} = \frac{h_t^2 \cdot 10^4}{3} \left[1 - \frac{1}{4} \cdot \frac{g + X.S}{g + S} \right] \left[1 - 2 \cdot 10^3 \cdot \sigma_{Pm} \right] \left[1 + \frac{2 \cdot K_F}{\sigma_{Pm} + K_F} \cdot \sigma_{Pm} \right] \cdot \sigma_{Pm}$$

où : $K_F = 15 \text{ bars}$ (atmosphère non protégée)

20 bars (atmosphère protégée) nous prendrons ce cas.

X_s : fraction de charges d'exploitation susceptibles d'une application fréquente. Nous prendrons $X = 0$

$$\text{d'où : } \bar{M}_{ul_2} = \frac{0,10^2 \cdot 10^4}{3} \left[1 - \frac{1}{4} \cdot \frac{234 + 250}{90 + 250 + 100} \right] \left[1 - 2 \cdot 10^3 \cdot 23,36 \right] \left[1 + \frac{2 \cdot 20}{20 + 23,36} \right] \cdot 23,36$$

$$\bar{M}_{ul_2} = 1121,91 \text{ kg.m} > (M_{ul, \text{terr.}}; M_{ul, \text{ét. courant}}) \text{ vérifié.}$$

2.2 Armatures de répartition: lorsque la pédalle ne subit pas d'effort notable dans la direction perpendiculaire au sens porteur, on peut se contenter des armatures de répartition minimales préconisées par le règlement en vigueur (Modification de Juillet 1970), soit si l'on utilise du treillis soudé:

$$\phi \leq 6 \text{ mm} ; \quad A = 0,0004 \cdot b \cdot h_t \\ A = 0,0004 \cdot 100 \cdot 10 = 0,4 \text{ cm}^2 / \text{ml} \quad (\text{T.S})$$

Les armatures ainsi déterminées doivent en outre vérifier les conditions de manutention et de pose.

2.3 Vérification à l'effort tranchant: La charge à prendre en compte pour l'effort tranchant est :

$$Q = G + 1,2 \cdot S = (P + g) + 1,2 \cdot S = 250 + 234 + 1,2 \cdot 100 = 604 \text{ kg}$$

avec la majoration de P de 20% on trouve $Q = 725 \text{ kg}$.

$$\text{Contrainte de cisaillement } \tau_b = \frac{1,2 \cdot T}{b \cdot h_t}$$

$$T = \frac{Q \cdot L}{2} = \frac{725 \cdot 2,76}{2} = 1000,5 \text{ kg}$$

$$\tau_b = \frac{1,2 \cdot 1000,5}{100 \cdot 10} = 1,2 \text{ bars}$$

contrainte admissible : . Ratissage manuel $\bar{\tau}_b = 2,5 \text{ bars}$
. Ratissage au rouleau $\bar{\tau}_{b_0} = 3,0 \text{ bars}$

Dans notre cas (ratissage manuel) et on a bien $\tau_b = 1,2 < \bar{\tau}_b = 2,5 \text{ bars}$
Par ailleurs, dans toutes les usines de préfabrication, la contrainte de cisaillement admissible pour être conforme à la règle de couture est $\bar{\tau}_b = 2,55 \text{ bars}$.

or $\tau_b = 1,2 \text{ bars} < 2,55 \text{ bars}$ donc pas de coutures.

FLEXION TRANSVERSALE

Armatures de répartition minimales: on utilise dans notre ouvrage des aciers ronds lisses, les règlements préconisent:

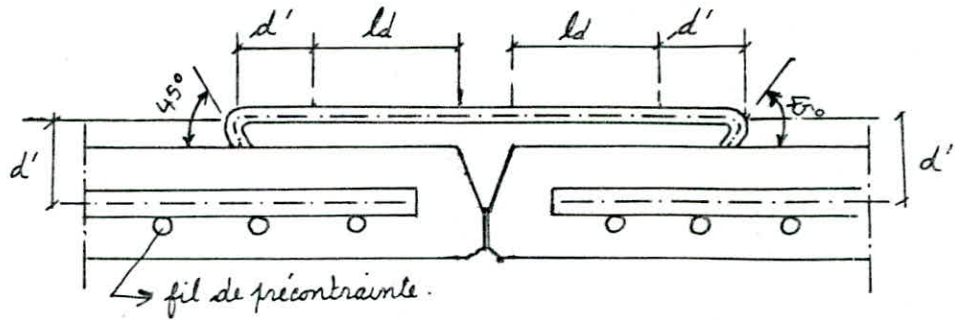
. barres R.L : $\left\{ \begin{array}{l} A = 0,0006 \cdot b \cdot h_t = 0,6 \text{ cm}^2 / \text{ml} \\ \sigma_{en} = 2150 \text{ bars} \quad (\text{limite d'élasticité}) \end{array} \right.$

s'it $4 \phi 5 \text{ /ml} \quad (A = 0,78 \text{ cm}^2)$ soit (T.S)

Ancrage des armatures de répartition à la reprise entre deux pédalles, sur le joint:

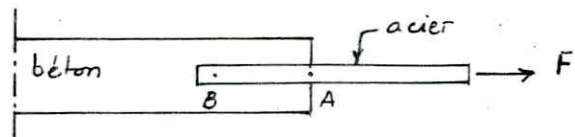
- Aciers de répartition à la reprise entre deux dalles: les aciers doivent assurer la transmission des efforts engendrés par les aciers transversaux dans la pédalle

Les aciers de répartition sont orientés et disposés perpendiculairement aux armatures de précontrainte.



$ld + d'$: longueur de recouvrement des aciers de répartition

Rappel théorique :



$$F_A = F_B + \pi \cdot \phi \cdot \bar{\epsilon}_s \cdot ld$$

$$F_B = 0 \quad \text{d'où} \quad ld = \frac{F_A}{\pi \cdot \phi \cdot \bar{\epsilon}_s}$$

$$ld = \frac{f_e \cdot \pi \phi^2}{4 \cdot \pi \cdot \phi \cdot \bar{\epsilon}_s} = \frac{\phi}{4} \cdot \frac{f_e}{\bar{\epsilon}_s} \quad \text{avec } \bar{\epsilon}_s = 96 \cdot \psi_d^2 \cdot f_{t28}$$

or les CCBA préconisent :

$$ld = \frac{\phi}{4} \cdot \frac{\bar{\sigma}_a}{\bar{\epsilon}_d} \quad ; \quad \bar{\epsilon}_d = 1,25 \cdot \psi_d^2 \cdot \bar{\sigma}_b$$

$$\bar{\sigma}_b = 5,8 \text{ bars} \quad \rightarrow \bar{\epsilon}_d = 16,31 \text{ kg/cm}^2$$

$\psi_d = 1,5$ aciers H.A.

$$\phi = 5 \text{ mm}$$

$$\bar{\sigma}_a = \rho \cdot \sigma_{en} = \frac{2}{3} \cdot 4000 = 2666,66 \text{ kg/cm}^2.$$

$$\text{on trouve : } ld = \frac{0,5}{4} \cdot \frac{2666,66}{16,31} = 20,43 \text{ cm.}$$

Transmission des charges aux appuis :

① Diverses dispositions pour assurer l'ancrage :

- Armatures sortant en attente aux extrémités de la pré dalle et scellées par adhérence : le dépassement des armatures de précontrainte sur les appuis doit assurer la reprise de l'effort tranchant sur ce même appui.

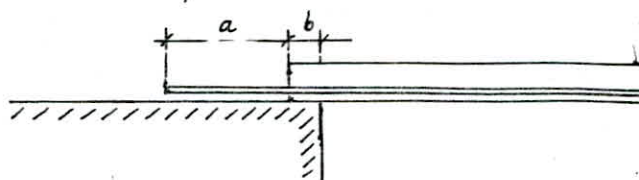
La contrainte d'adhérence admissible est calculée dans le cas d'appui sur des poutres, murs ou tout autre support en retombée, par la formule :

$$\bar{\epsilon}_d = K \cdot \bar{\sigma}_b \quad ; \quad K = 2,4 \text{ acier de précontrainte du type monofil}$$

$$\bar{\epsilon}_d = 2,4 \cdot 5,8 = 27,84 \text{ kg/cm}^2.$$

cette règle tient compte du pinçement de l'armature du fait de la transmission de la charge à l'appui

Longueur de dépassement nécessaire : La longueur d'ancrage prise en compte dans les calculs est la somme ($a + b$) de la longueur (a) de dépassement des armatures à l'about de la pré dalle et de la longueur (b) d'appui de cette dernière sur l'élément porteur.



La longueur du dépassement nécessaire :

$$l = \frac{T}{(\pi \cdot \phi \cdot \bar{\epsilon}_0 \cdot n_\phi)} = \frac{885,15}{\pi \cdot 0,5 \cdot 16,31 \cdot 12} = 3,0 \text{ cm.} = a$$

$$l_t = 3,0 + 2,5 = 5,5 \text{ cm.} = a+b$$

Nombre de fils minimum assurant l'ancrage : L'effort tranchant appliquée doit être repris par l'ensemble des fils.

$$T_s = F' \cdot n_\phi \quad \text{et} \quad n_\phi = \frac{T_s}{F'}$$

où : T_s = effort tranchant appliqué

F' = effort tranchant repris par les fils.

$$F' = \pi \cdot \phi \cdot K \cdot \bar{\epsilon}_0 = \pi \cdot 0,5 \cdot 2,4 \cdot 5,8 = 21,85 \text{ kg/fil/cm.}$$

$$\text{pour } l = 5,5 \text{ cm} \quad ; \quad F' = 21,85 \times 5,5 = 120,2 \text{ kg/fil.}$$

$$\text{pour } 7\phi 5 \quad ; \quad F' = 7 \cdot 120,2 = 841,4 \text{ kg.}$$

$$T_s = \frac{5}{3} \cdot T \quad (\text{art. 11.A108.211})$$

Remarque : Il n'est pas prudent de tenir compte en cas de séisme de l'effet de pincement admis à l'article 11.A.108.211. Ceci revient à réduire de moitié la contrainte d'adhérence admissible selon cet article.

Toute fois, les règles parasismiques autorisent une majoration de 50% des contraintes admissibles des matériaux.

Il suffit donc de multiplier par $21,5 = 413$.

L'effort tranchant à ancrer défini par les règles parasismiques, le scellement étant vérifié selon 11.A108.211. Cependant il est loisible de ne pas évaluer l'effort tranchant à ancrer selon les règles parasismiques si le scellement réalisé suivant 11.A108.211 équilibre un effort au moins égale à 5/3 de celui à ancrer en l'absence de séisme.

$$T_s = \frac{5}{3} \cdot T = \frac{5}{3} \cdot 1000,5 = 1667,5 \text{ kg.}$$

$$n_\phi = \frac{1667,5}{120,2} \approx 13,00 \text{ fils } \phi 5.$$

Dans notre cas, le calcul a été fait avec 7 φ 5, or on trouve un nombre de fils légèrement supérieur à 13, donc pour être dans la sécurité on doit ajouter des barres H.A pour assurer l'ancrage. Pour se faire, calculons l'effort tranchant T_R restant à ancrer :

$$T_R = 1667,5 - 841,4 = 826,1 \text{ kg.}$$

Calcul du nombre de barres H.A à ajouter :

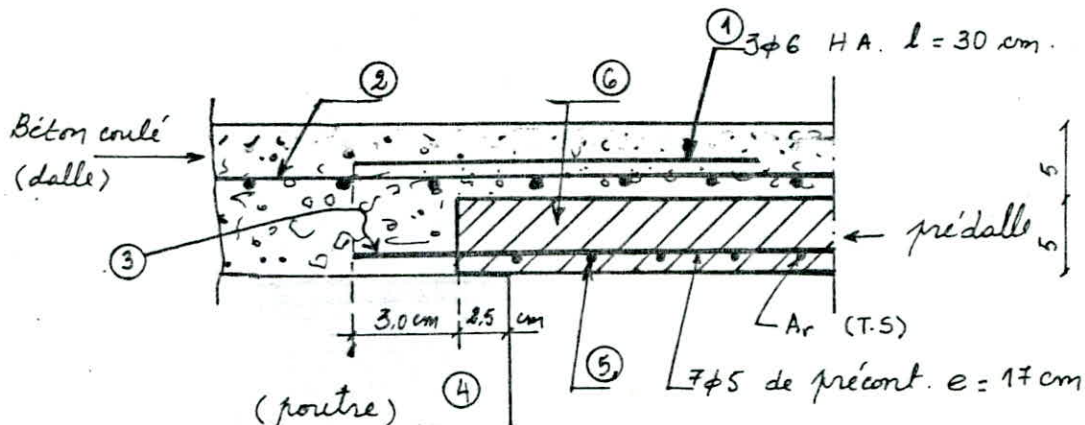
$$K = 4,8 \text{ pour les aciers H.A (soit des } \phi 6)$$

$$F = \pi \cdot \phi \cdot K \cdot \bar{\sigma}_b \cdot l_t = 3,14 \cdot 0,6 \cdot 4,8 \cdot 5,8 \cdot 5,5 = 288,48 \text{ kg.}$$

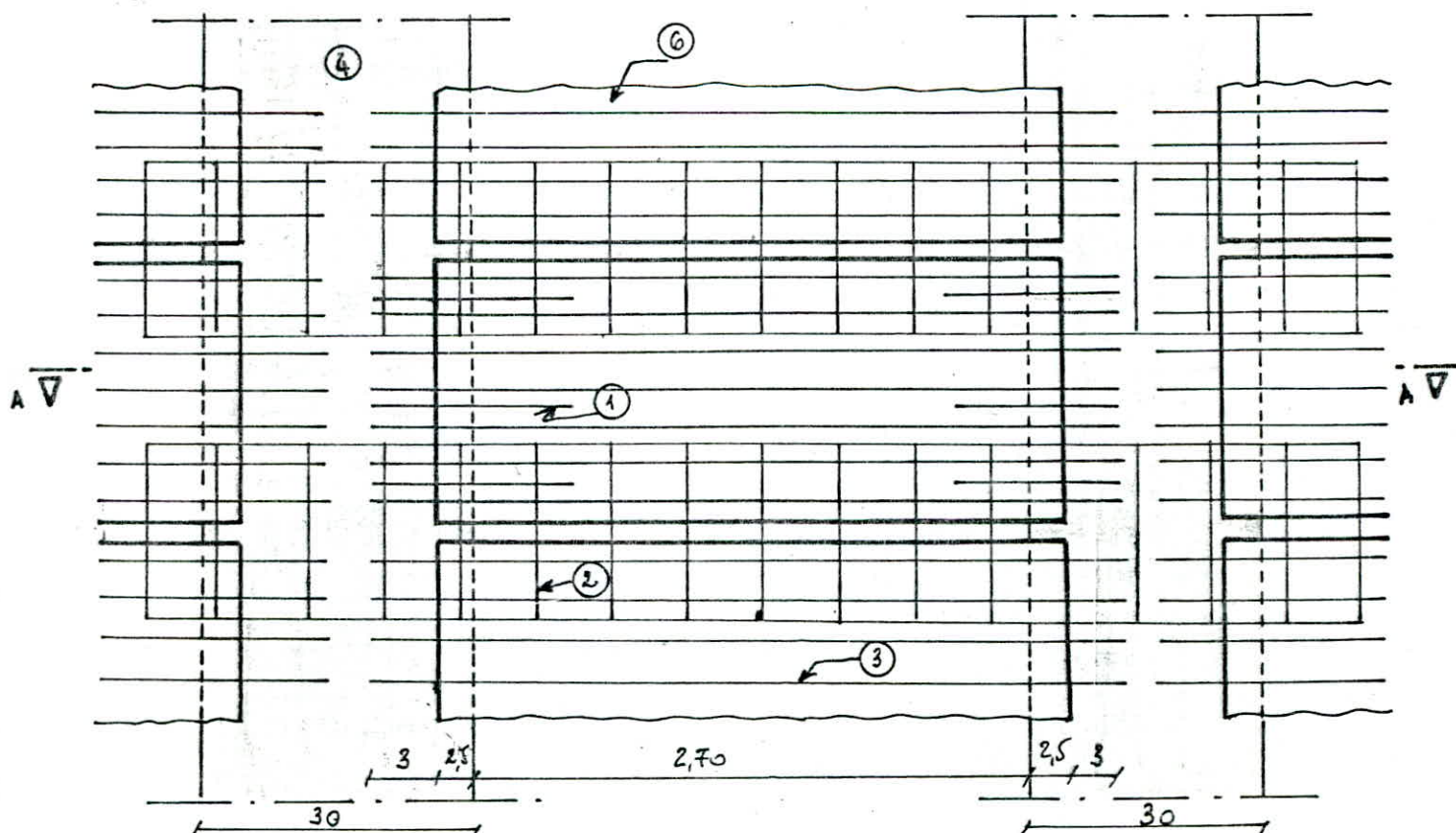
1 φ 6 H.A donne une effort de $F = 288,48 \text{ kg} < 826,1 \text{ kg}$, donc on ajoutera 3 φ 6 qui reprendront un effort tranchant $3 \times 288,48 = 865,44 \text{ kg}$, ce qui est nettement supérieur à 826,1 kg.

Longueur d'ancrage = $40 \phi = 40 \times 0,6 = 24 \text{ cm}$

Longueur totale = $24 + 5,5 \text{ cm} = 29,5 \text{ cm}$ soit 30,0 cm

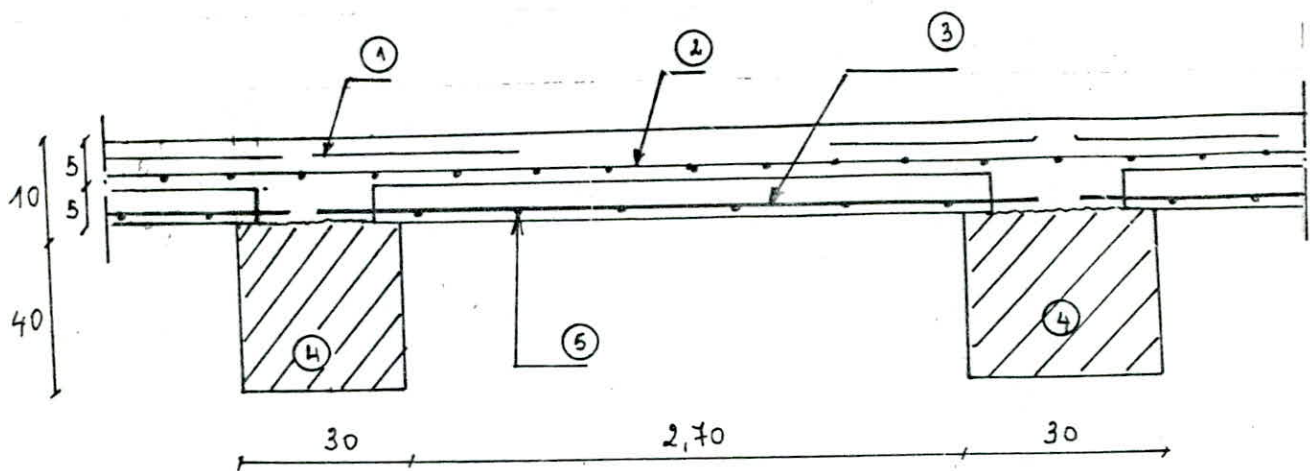


(coupe longitudinale)



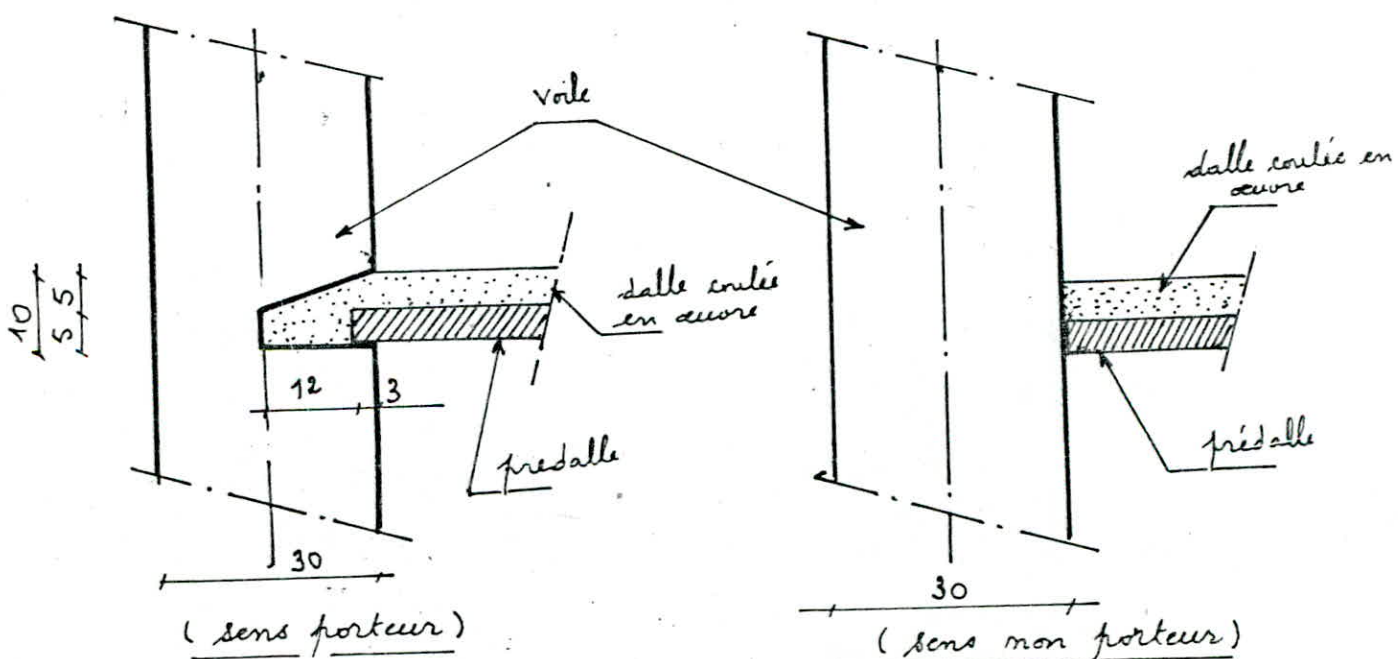
(vue en plan)

coupé A-A



- ① chapeaux $3 \phi 6$ H.A par metre de Largeur, $l = 30 \text{ cm}$, $e = 33 \text{ cm}$.
- ② Filets soudés (T.S) en bande de 80 cm de large sur le long des joints latéraux.
- ③ Filets adhérents $7 \phi 5$, $e = 17 \text{ cm}$, placés à la limite inf du Noyau Central.
- ④ Poutre précontrainte $30 \times 40 \text{ cm}^2$.
- ⑤ Aciers de répartition T.S $\phi 6$
- ⑥ Prédalle en béton précontraint $2.76 \times 1.20 \text{ m}^2$, ép = 5 cm.

Jointure des prédalles avec les voiles:



Pour le reste des préalles, on recapitulera les principaux résultats dans le tableau ci-après :

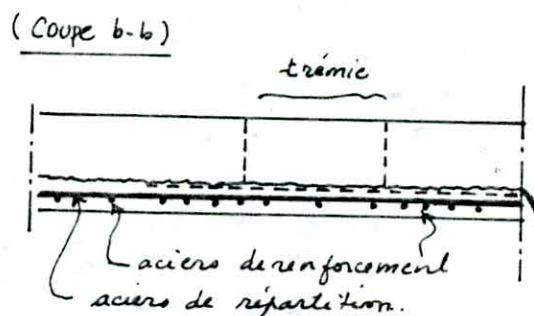
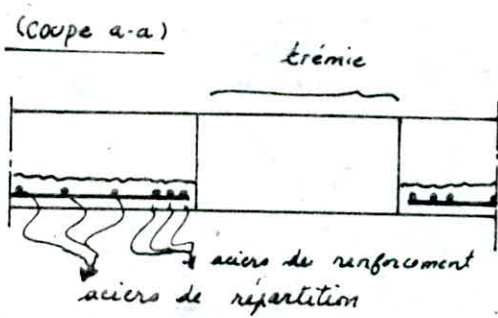
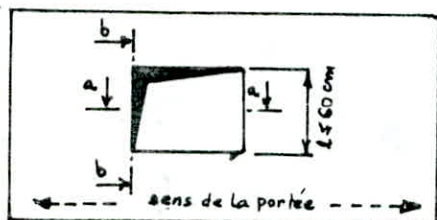
Préalle n°	m_p p.m.	Section (cm ²)	J_{pm} (bars)	M_{ult} (kg.m) et. $\left[\begin{array}{l} 881,73 \\ 1054,56 \end{array} \right]$	M_{ult_1} (kg.m)	M_{ult_2} (kg.m)	$M_{ult H_{ul_1}}$ $M_{ult H_{ul_2}}$	ϵ (bars)	$\epsilon < \epsilon_b$
1	5	120 x 276	23,36	$\left[\begin{array}{l} 881,73 \\ 1054,56 \end{array} \right]$	1238,24	1121,91	OK!	1,2	OK!
2	4	80 x 276	18,68	$\left[\begin{array}{l} 881,73 \\ 1054,56 \end{array} \right]$	1095,31	1060,78	OK!	1,2	OK!
3	4	95 x 276	18,68	$\left[\begin{array}{l} 881,73 \\ 1054,56 \end{array} \right]$	1090,59	1062,48	OK!	1,2	OK!
4	5	120 x 276	23,36	$\left[\begin{array}{l} 931,97 \\ 1093,11 \end{array} \right]$	1238,24	1121,91	OK!	1,3	OK!

TREMIES

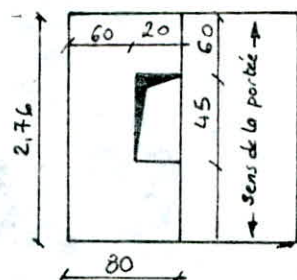
Certaines pédalles de notre structure comportent des tremies qui sont au nombre de 2 types :

1^e type : cas des tremies situées entièrement dans une pédalle de largeur inférieure ou au plus égale à 60 cm et ne supportant pas sur leurs bords des charges linéaires supérieures à 300 kg/ml.

Dans ce cas, il peut suffire de procéder à un renforcement localisé de l'armature de répartition ainsi que, éventuellement, de l'armature des bandes longitudinales bordant la tremie.



2^e type : cas de tremies en rives de pédalles. Dans ce cas le chevêtre doit être réalisé in situ de façon traditionnelle.



VERIFICATION DES PHASES PROVISOIRES

Vérification des prédalles en phases provisoires: Les types de vérifications à effectuer sont désignés par une (x) dans le tableau ci-après :

Vérifications ↓	Stockage	Maintenance	Mise en œuvre
d'Intégrité	x	x	x
de sécurité		x	x
de déformation			x

• Vérification d'intégrité :

- contrainte de traction à prendre en compte : $\bar{\sigma} = 20$ bars
- contrainte de traction admissible du béton : $\frac{3}{4} \cdot \bar{\sigma}_b = 15$ bars car autocontrôle des fabrications.
- La force de précontrainte par fil est prise égale à $\frac{F_{Rg}}{K_R}$

Précontrainte en fibre supérieure :

$$\sigma_0 = \frac{n\phi \cdot F_{Rg}}{K_R} (6 \cdot d' - 2 \cdot h_1) \cdot \frac{1}{b \cdot h_1^2}$$

Précontrainte en fibre inférieure :

$$\sigma'_0 = \frac{n\phi \cdot F_{Rg}}{K_R} (4 \cdot h_1 - 6 \cdot d') \cdot \frac{1}{b \cdot h_1^2}$$

Rem :

pour les calculs d'intégrité, on peut tenir compte du moment hyperstatique de précontrainte améné par la présence des stais

• Vérification de la sécurité : Il s'agit d'une vérification à rupture classique en tenant compte d'une réduction sur la hauteur utile.

1. Stockage : cas de deux appuis

. longueur = $L + 0,10$ m ; $b = 1,0$ m

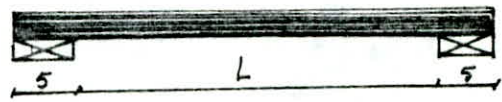
. module d'inertie $W = \frac{b \cdot h_1^2}{6} = \frac{h_1^2}{6} / \text{ml}$

. traction admissible en fibre inf :
 $= - \frac{3}{4} \bar{\sigma}_b = - 15$ bars

. Moment correspondant : $M_c = \sigma \cdot W = - \frac{3}{4} \bar{\sigma}_b \cdot \frac{h_1^2}{6} \cdot 10^4 \text{ daN} \cdot \text{m}$

. Moment en fibre inf dû à la précon. : M_p

$$\sigma'_0 = \frac{M_p}{W} = \frac{M_p}{1 \cdot h_1^2} \times 6 = \frac{n\phi \cdot F_{Rg}}{K_R} (4 \cdot h_1 - 6 \cdot d') \cdot \frac{1}{1 \cdot h_1^2} \Rightarrow M_p = \frac{n\phi \cdot F_{Rg}}{6 \cdot K_R} (4 \cdot h_1 - 6 \cdot d')$$



• Action du poids propre : $g_1 = 2400 \cdot h_1$ dan/m²

• Moment dû au poids propre $M_g = 2400 \cdot h_1 \cdot \frac{L^2}{8}$

Équation limite : $M_p - M_g = M_c$

$$\frac{n_d \cdot F_{Rg}}{6 \cdot K_R} (4 \cdot h_1 - 6 \cdot d') - 2400 \cdot h_1 \cdot \frac{L^2}{8} = -\frac{3}{4} \bar{\sigma}_b \cdot \frac{h_1^2}{6} \cdot 10^4$$

après simplification, on tire la longueur limite L :

$$L = \sqrt{\frac{\frac{n_d \cdot F_{Rg}}{K_R} (4 \cdot h_1 - 6 \cdot d') + \frac{3}{4} \bar{\sigma}_b h_1^2 \cdot 10^4}{1800 \cdot h_1}}$$

avec : $\begin{cases} n_d = 10 \\ F_{Rg} = 3270 \text{ dan} \\ K_R = 20 \\ h_1 = 10 \text{ cm} \\ d' = 1,66 \end{cases}$

on trouve : $L = 3,33 \text{ m}$

Et la portée totale est : $L = 3,33 + 0,10 = 3,4 \text{ m.}$

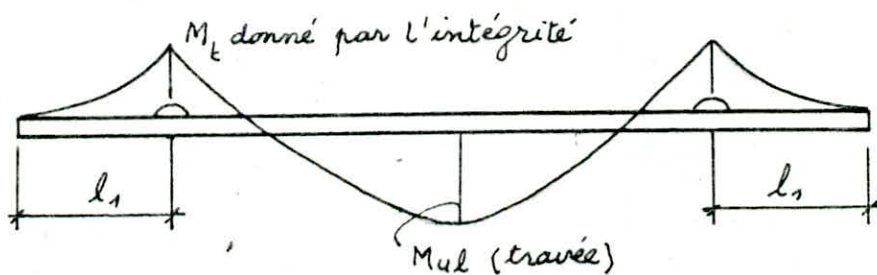
Remarques :

- les dimensions respectives des pédalles de notre ouvrage n'excède pas 2,81 m de longueur, ce qui est inférieur à la longueur admis trouvée (3,4 m)

Conclusion : Lors du stockage, les pédalles peuvent être posées sur deux appuis seulement.

2. Manutention :

2.1 Vérification dans le sens longitudinal :



SARET prescrit une majoration des charges de :

- .10% pour incertitude sur la répartition des efforts entre points de levage
- .10% pour effets dynamiques et vent.

Et un coefficient de majoration : $1,1 \times 1,1 = 1,21$ arrondi 1,20 d'où :

$$P = 1,20 \cdot 0,0025 \cdot h_1 \cdot b \cdot s \quad \text{avec } s = 0,981$$

$$h_1 = 10 \text{ cm}$$

$$b = 120 \text{ cm}$$

$$P = 3,53 \text{ dan/cm}$$

Pour le porte à faux, il faut vérifier :

- l'intégrité en fibre supérieure qui donne une portée limite \bar{l} ,

- On ne vérifie pas la sécurité en fibre inférieure car les dimensions sont tellement petites que cette vérification n'a pas de sens.

Pour la travée : il faut vérifier que $M_{ul} \leq M_{ul}$, ou M_{ul} au moment d'intégrité admissible de la pédale compte tenu du moment limite au droit du crochet donné par la condition d'intégrité en travée. La vérification d'intégrité n'est jamais prépondérante par rapport à la rupture.

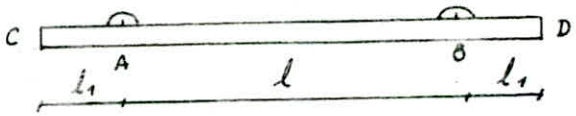
2.11 cas de deux crochets :

Moment de flexion :

$$\text{entre } C \text{ et } A : M = -\frac{P.z^2}{2}$$

$$\text{entre } A \text{ et } B : M = -\frac{Pl_1^2}{2} + \frac{Pl.z}{2} - \frac{Px^2}{2}$$

$$\text{en } A \text{ et } C : M_A = -\frac{Pl_1^2}{2}$$



2.111 Vérification d'intégrité au droit des crochets de levage :

$$M_A = -\frac{1,2 \cdot 0,0025 \cdot h_1 \cdot b \cdot l_1^2 \cdot \delta}{2}$$

on traite le cas général avec le poids de la pédale et en tenant compte d'une charge supplémentaire

(gorgée d'eau par exemple) P_1 en daN/m².

$$P_1 = \frac{P_1}{100} \text{ dans 1cm de portée et } M = -\frac{P+P_1}{2} l_1^2 \quad (l_1 \text{ en cm})$$

$$\text{contrainte due au poids majoré : } \sigma_t = \left[\frac{(1,2 \cdot 0,0025 \cdot \delta \cdot h_1 \cdot b + P_1/100) l_1^2}{2} \right] \frac{6}{b \cdot h^2} \text{ (bars)}$$

la portée à faux admissible l_1 est donné par la vérification d'intégrité en fibre supérieure :

$$\frac{n_d \cdot F_{Rd}}{K_R} \left[\frac{6d' - 2h_1}{b \cdot h_1^2} \right] - \left[\frac{6}{2} \cdot 1,2 \cdot 0,0025 \cdot \delta \cdot h_1 \cdot b + \frac{3 \cdot P_1}{100} \right] \cdot \frac{l_1^2}{b \cdot h_1^2} + \frac{3}{4} \cdot \bar{\sigma}_b = 0$$

$$\text{on tire } \bar{l}_1 : \bar{l}_1 = \sqrt{\frac{\frac{n_d \cdot F_{Rd}}{K_R} [6d' - 2h_1] + \frac{3}{4} \cdot \bar{\sigma}_b \cdot h_1^2 \cdot b}{0,00864 \cdot \delta \cdot h_1 \cdot b + \frac{3 P_1}{100}}} / 100$$

avec : b, d', h_1 en cm
cas particulier : $P_1 = 0$; $\delta = 0,981$; $\bar{\sigma}_b = 20$ bars (précis à $e = -\frac{h}{6}$)

$$l_1 = \sqrt{\frac{3/4 \cdot \bar{\sigma}_b \cdot b \cdot h_1^2}{0,00864 \cdot \delta \cdot h_1 \cdot b}} \text{ (cm)} = \sqrt{0,176974 \cdot h_1}$$

$$h_1 = 0,10 \text{ m} \quad \text{d'où} \quad \underline{\bar{l}_1 = 13,0 \text{ cm}}$$

2.112 : Vérification d'intégrité en travée entre les deux crochets :

l_1 étant fixée inférieure à \bar{l}_1 . Il faut vérifier la portée limite (l) entre les deux crochets. En se donnant l_1 , on s'est donné $-\frac{Pl_1^2}{2} = M_A$, et en travée un moment $Pl^2/8$.

on vérifie que la contrainte de traction en fibre inférieure est inf ou égale à $3/4 \bar{\sigma}_b$ et on l'en détermine la portée limite pour laquelle on atteint cette contrainte.

$$\text{Moment en fibre inférieure : } \frac{P+P_1}{8} (l^2 - l_1^2)$$

$$\text{soit : } \sigma = - \left[\frac{1,2 \cdot 0,0025 \cdot s \cdot b \cdot h_1 + P/100}{l^2 - 4l_1^2} \right] \frac{6}{b \cdot h_1^2} \text{ bars}$$

l'équation aux contraintes donne :

$$\frac{n_\phi \cdot F_{Rg}}{K_R} \left[\frac{4h_1 - 6d'}{b \cdot h_1^2} \right] - \sigma + \frac{3}{4} \cdot \bar{\sigma}_b = 0 \quad (1)$$

en remplaçant par l'expression de σ dans (1) et après simplification on tire la longueur limite l limite

$$l_{\text{lim}} = \sqrt{\frac{\frac{n_\phi \cdot F_{Rg}}{K_R} [4h_1 - 6d'] + [0,00864 \cdot s \cdot b \cdot h_1 + \frac{3P}{100}] l_1^2 + \frac{3}{4} \bar{\sigma}_b \cdot b \cdot h_1^2}{0,00216 \cdot s \cdot b \cdot h_1 + 3P/400}} / 100$$

partie totale de la dalle : $L = 2l_1 + l_{\text{lim}}$

$$\text{A.N : } \begin{aligned} n_\phi &= 7, F_{Rg} = 3270 \text{ daN} & h_t &= 10 \text{ cm} & \bar{\sigma}_b &= 20 \text{ bars} ; s = 0,98 \\ K_R &= 1,4 & P &= 3,53 \text{ daN/cm} & d' &= 1,66 \text{ cm} & b &= 120 \text{ cm} ; h_1 &= 58 \text{ cm} \end{aligned}$$

on trouve :

$$l_{\text{lim}} = 50,42 \text{ cm} \quad \text{soit} \quad \underline{l_{\text{lim}} = 60 \text{ cm}}$$

2. 113 : Vérification de sécurité en travée : c'est une vérification du type M_{ul} .

$$\begin{aligned} M_{ul} &= \frac{1,5}{8} \left[P + \frac{P_1}{100} \right] \left[l^2 - 4l_1^2 \right] = \frac{1,5}{8} \left[1,2 \cdot 0,0025 \cdot s \cdot b \cdot h_1 + \frac{P_1}{100} \right] \left[l^2 - 4l_1^2 \right] \\ &= \left[0,00054 \cdot s \cdot b \cdot h_1 + \frac{1,5 \cdot P_1}{800} \right] l^2 - \left[0,00216 \cdot s \cdot b \cdot h_1 + \frac{1,5 \cdot P_1}{200} \right] l_1^2 \leq M_{ul} \end{aligned}$$

$$l \leq \sqrt{\frac{n_\phi \cdot F_{Rg} [(h_1 - d' - 0,5) - 1/2 \cdot \frac{n_\phi \cdot F_{Rg}}{250 \cdot 10^4}] 100 + [0,00216 \cdot s \cdot b \cdot h_1 + \frac{3P_1}{400}] l_1^2}{0,00054 \cdot s \cdot b \cdot h_t + 1,5 \cdot \frac{P_1}{800}}}$$

$l \leq 5,30 \text{ m}$; or notre pédalle a une longueur de $2,76 \text{ m}$ donc c'est vérifié.

3. Mise en œuvre - Etaiement : Il faut prendre en compte une surcharge dite de chantier ainsi définie :

$$\begin{cases} \text{si } l \leq 2,00 \text{ m} & P = 100 \text{ kg concentrée} \\ \text{si } l > 2,00 \text{ m} & P = 50 \text{ L} \end{cases}$$

L'éspacement des étaiis sera constant (ex: 2 étaiis espacés $L/3$) Pour les mêmes raisons qui ont été expliquées plus haut au paragraphe manutention, on vérifiera pour la mise en œuvre l'intégrité au droit des étaiis et la sécurité dans la travée entre l'appui et l'étai (cas le plus défavorable)

3.1 Vérification d'intégrité et de sécurité :

3.11 Pose sans étais :

* Vérification d'intégrité : Nous ne prendrons en considération que le cas suivant :

$$l > 2,00 \text{ m}$$

Moment du au poids propre et à la surcharge de chantier :

$$M = - \left(\frac{g_1 + g_2}{8} \cdot l^2 + \frac{50 \cdot l^2}{4} \right)$$

Équation limite :

$$\frac{n_{\phi} \cdot F_{R6}}{K_R} (4 \cdot h_i - 6 \cdot d') - (7800 \cdot h_t + 75) L^2 = - \frac{3}{4} \cdot \sigma_b \cdot h_i^2 \cdot 10^4$$

$$l = \sqrt{\frac{\frac{n_{\phi} \cdot F_{R6}}{K_R} (4 \cdot h_i - 6 \cdot d') + 3/4 \cdot \sigma_b \cdot h_i^2 \cdot 10^4}{1800 \cdot h_t + 75}}$$

A.N : on trouve : $l = 2,81 \text{ m}$

* Vérification de sécurité : La vérification se fait en travée en fibre inférieure avec le cas suivant :

$$l > 2,00 \text{ m}$$

Moment ^{ultime} du au poids propre et à la surcharge de chantier :

$$M_{ul} = \left(1,5 (g_1 + g_2) \frac{l^2}{8} + 2 \cdot \frac{50}{4} \cdot l^2 \right)$$

Moment de rupture :

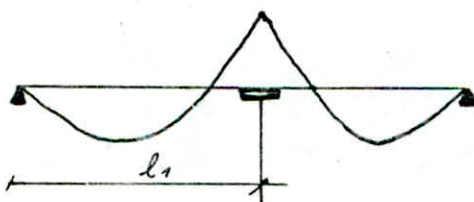
$$\bar{M}_{ul} = (n_{\phi} \cdot F_{R6}) \left[(h_i - d' - 0,008) - \frac{1}{2} \cdot \frac{n_{\phi} \cdot F_{R6}}{250 \cdot 10^4} \right] = 476,11 \text{ daN.m}$$

$$\bar{l} = \sqrt{\frac{\bar{M}_{ul}}{\frac{1,5 \cdot 2500 \cdot h_t}{8} + 25}} = \sqrt{\frac{476,11}{\frac{1,5 \cdot 2500 \cdot 0,10}{8} + 25}} = 2,57 \text{ m}$$

on a $\bar{l} = 2,57 \text{ m} < 2,81 \text{ m}$ donc la relation n'est pas vérifiée par conséquent, on doit utiliser au moins un étai .

3.12 Pose avec un étai :

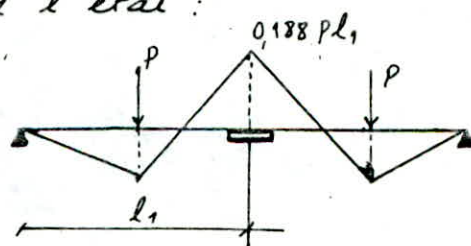
* Vérification d'intégrité au droit de l'étai :



si $l_1 > 2,00 \text{ m}$:

Moment du au poids propre et à la surcharge de chantier :

$$M = - \left[\frac{g_1 + g_2}{2} \cdot l_1^2 + 0,188 \cdot 50 \cdot l_1^2 \right]$$



Moment hyperstatique de précontrainte :

$$-\frac{3}{2} \frac{n_{\phi} \cdot F_{Rg}}{K_R} \left(\frac{h_i}{2} - d' \right) \quad \text{idem l'anulation}$$

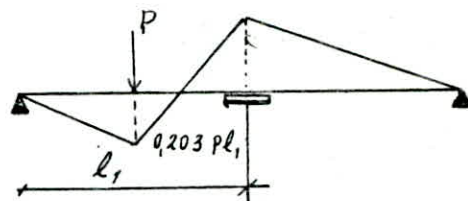
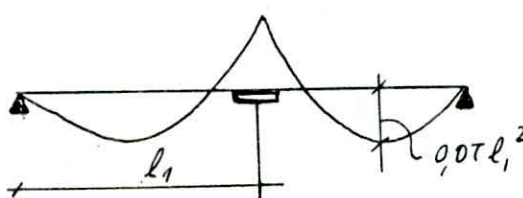
Équation limite :

$$(1800 \cdot h_t + 56,4) l_1^2 - \left[\frac{n_{\phi} \cdot F_{Rg}}{K_R} (2,5 \cdot h_i - 3d') + \frac{3}{4} \sigma_b \cdot h_i^2 \cdot 10^4 \right] = 0$$

$$l_1 = \sqrt{\frac{\frac{n_{\phi} \cdot F_{Rg}}{K_R} (2,5 \cdot h_i - 3 \cdot d') + 3/4 \cdot \sigma_b \cdot h_i^2 \cdot 10^4}{1800 \cdot h_t + 56,4}}$$

on trouve : $l_1 = 1,40 \text{ m}$

* Vérification de sécurité en travée :



On prend le cas où $l_1 > 2,00 \text{ m}$: $l_1 = 1,40 \text{ m}$

$$g_1 = 125 \text{ daN/ml}; g_2 = 50 \cdot L = 50 \cdot 2,76 = 138 \frac{\text{daN}}{\text{ml}}$$

Moment ultime du au poids propre et à la surcharge de chantier :

$$M_{ul} = 1,5 \cdot 0,07 \cdot (g_1 + g_2) l_1^2 + 2 \cdot 0,203 \cdot 50 \cdot l_1^2 = 93,91 \text{ kg.m}$$

Moment de rupture \bar{M}_{ul} , $\geq M_{ul}$

$$l_1 = \sqrt{\frac{\bar{M}_{ul}}{252 \cdot h_t + 20,3}} = \sqrt{\frac{93,91}{252 \cdot 0,90 + 20,3}} = 1,43 \text{ m.}$$

Conclusion : On adoptera un seul étai par pré dalle.
La pose se fera avec 1 étai disposé à 1,36 m de l'appui pour les pré dalles de 2,76 m de longueur et à 1,40 m pour les pré dalles de 2,81 m de longueur.

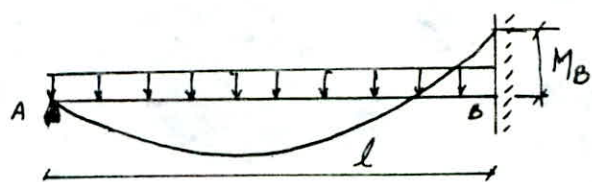
FLECHE

Etablissement des formules générales :

Déformation :



moment : (charge)



$$M = -EI \cdot y'' \quad , \quad y = -\int \frac{M}{EI}$$

$$M = -\frac{Px^2}{2} + \frac{Pl \cdot x}{2} + M_B \cdot \frac{x}{2}$$

$$y'' = -\frac{1}{EI} \left(-\frac{Px^2}{2} + \frac{Pl \cdot x}{2} + M_B \cdot \frac{x}{2} \right)$$

$$y' = -\frac{1}{EI} \left(-\frac{Px^3}{6} + \frac{Pl \cdot x^2}{4} + \frac{M_B \cdot x^2}{2l} + K_1 \right)$$

$$y = -\frac{1}{EI} \left(-\frac{Px^4}{24} + \frac{Pl \cdot x^3}{12} + \frac{M_B \cdot x^3}{6l} + K_1 \cdot x + K_2 \right)$$

Détermination des constantes : K_1 et K_2

$$(x=0 \quad y=0) \rightarrow K_2 = 0$$

$$(x=l \quad y'=0) \rightarrow K_1 ?$$

$$\theta_B = -\frac{1}{EI} \left(-\frac{Pl^3}{6} + \frac{Pl^3}{4} + \frac{M_B \cdot l}{2} \right) + K_1 \rightarrow K_1 = -\frac{Pl^3}{72} - M_B \frac{l}{2} - \theta_B \cdot EI$$

s'agit :

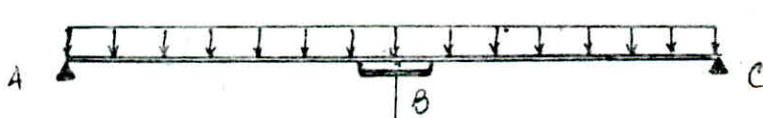
$$y = -\frac{1}{EI} \left(-\frac{Px^4}{24} + \frac{Pl \cdot x^3}{12} + M_B \left(\frac{x^3}{6l} - \frac{lx}{2} \right) - \frac{Pl^3 x}{12} - \theta_B \cdot EI \cdot x \right) \quad ①'$$

Dans la suite des calculs, on limitera la flèche au $\frac{1}{500}$ ème de la portée entre étai et pour la travée d'étaiement comprise entre l'appui et le premier étai.

Il sera tenu compte de la contre-flèche uniquement dans le cas sans étai. En effet, l'hypothèse de l'étaiement qui suppose les étai reçus de niveau, empêche de pouvoir prendre en compte valablement la contre-flèche.

Remarque :

La pose des prédalles se fera avec un seul étai, donc il ne sera pas tenu compte de la contre-flèche.



$$\begin{cases} \theta_B = 0 \\ M_B = -\frac{Pl^2}{8} \end{cases}$$

①' devient :

$$y = -\frac{1}{EI} \left(-\frac{Px^4}{24} + \frac{Pl \cdot x^3}{12} + \frac{Pl^3 x}{16} - \frac{Pl^3 x}{48} - \frac{Pl^3 x}{12} \right)$$

pour $x = 0,421 \cdot l$ (où y est maxi) alors : $y = 0,0054 \cdot \frac{Pl^4}{EI}$

$$\text{Équation limite : } -\frac{l}{500} = -0,0054 \cdot \frac{Pl^4}{EI}$$

$$l = \sqrt{\frac{E \cdot 100 \cdot h_i^3}{500 \cdot 0,0054 \cdot 0,24 \cdot 12 \cdot h_i}}$$

Portée limite totale

DEFORMATION.

1. Introduction: Les portées des planchers doivent être limitées de telle sorte que leurs déformations ne soient ni excessives, ni source d'incident, notamment dans les ouvrages supportés ou complémentaires.

1.1 Limitation du C.P.T. prédalles: Les limitations des flèches imposées par le C.P.T. Prédalles portent sur la limitation du fléchissement appelé flèche active, et non sur la flèche absolue finale.

1.2 Définition de la flèche active: La flèche active est le fléchissement pris par le plancher à partir de l'achèvement de l'ouvrage concerné jusqu'à un temps infini. C'est de cette flèche que dépend la bonne tenue dans le temps de l'ouvrage : cloisons, carrelage, etc...

2. Déformation admissible : (art 106).

Pour les planchers qui supportent des cloisons maçonniées fragiles et/ou des revêtements de sol fragiles, on évalue une flèche active f_a qui, après mise en œuvre des cloisons ou des revêtements de sol doit être telle que :

$$f_a \leq \frac{l}{500} \quad \text{si } l \leq 500 \text{ cm.}$$

; l (cm)

$$f_a \leq 0,5 + \frac{l}{1000} \quad \text{si } l > 500 \text{ cm.}$$

3. Evaluation des déformations: art. 305 : La flèche active totale est la somme des trois termes suivants:

- La flèche due aux charges actives
- La flèche due au retrait différentiel du béton coulé en place par rapport à la pré dalle.
- La flèche due au fluage du plancher intervenant après le montage ou la pose de l'ouvrage considéré (cloison, carrelage...). Cette flèche active totale

Cette flèche active totale s'exprime par la formule :

$$f_a = \frac{l^2}{8 E_s I} \left(a \cdot q \cdot \frac{l^2}{9,6} + K_2 \cdot m \cdot n_2 - K_p \cdot F \cdot \epsilon \right) = f_1 + f_2 + f_3$$

avec :

a = coefficient de prise en compte des continuités

$$a = 1 - 1,20 (\delta - 0,30 \alpha)$$

$\delta = \frac{1}{2} (\delta_w + \delta_e)$; δ_w et δ_e étant les fractions de M_0 sur chacun des appuis.

$$\alpha = \frac{g}{g + s}$$

$a = 1$ pour une travée indépendante.

q : charge f de calcul de la flèche active.

$$q = K_1 \cdot g_1 + K_2 \cdot g_2 + K_3 \cdot g_3 + K_4 \cdot g_4 + K_5 \cdot S$$

$K_1 ; K_2 ; K_3 ; K_4 ; K_5 ; K_p$: coefficients sans dimensions de prise en compte des sollicitations (retrait géni; effet différé de la précontrainte et effet des charges)

- g_1 : poids propre de la pré dalle $= 125 \frac{\text{kg}}{\text{m}^2}$
- g_2 : poids du béton coulé en œuvre sur la pré dalle $= 125 \frac{\text{kg}}{\text{m}^2}$
- g_3 : charge uniformément répartie équivalente au poids des cloisons $= 90 \frac{\text{kg}}{\text{m}^2}$
- g_4 : poids des revêtements du sol, plafond et autres charges permanentes $= 90 \frac{\text{kg}}{\text{m}^2}$
- S : charge variable d'exploitation (non pondérée) $= 100 \frac{\text{kg}}{\text{m}^2}$

et :

l : portée libre du plancher

E_s : module moyen de déformation longitudinale différé du béton : $E_s = 120000$ bars.

$I = \frac{l \cdot h_e^3}{12}$: moment d'inertie de la section totale du plancher par unité de largeur, pris par rapport à sa fibre neutre.

m : moment statique de la section B de la pré dalle par rapport à la fibre neutre de la section du plancher fini, sans homogénéisation des sections :

$$m = \frac{B}{2} (h_t - h_1)$$

n_2 : contrainte de traction qui serait développée dans le béton coulé en place sous l'effet de son retrait si ces déformations étaient complètement empêchées : 3 MPa (30 bars) dans le cas courant correspondant à un raccourcissement unitaire $\approx 3 \cdot 10^{-4}$

F : force de précontrainte finale par unité de largeur.

$$F = \frac{n_2 \cdot F_{\text{prg}}}{K_R} \quad (\text{art. 11. A. 302})$$

e' : valeur absolue de l'excentricité de précontrainte par rapport à la fibre neutre de la section totale du plancher.

Exemple de calcul de flèche active:

Hypothèses : Portée : $2,76 \text{ m}$

Nbre de fils = $7 \phi 5$

Épaisseur de la pré dalle = 5 cm ; $d' = 1,66 \text{ cm}$

S = proportion du moment sur appui = $0,40$.

K_1, \dots, K_5 ; K_p dépendent du délai de stockage

des pré dalles et du délai de montage des cloisons.

Les valeurs données ci-dessous ont été déterminées dans les conditions les plus défavorables de mise en œuvre des cloisons, correspondent aux délais usuels (de 1 à 3 mois après coulage du béton et au moins 15 jours après enlèvement

des étais). Elles peuvent donc être conservées pour des délais plus longs.

	K_1	K_2	K_3	K_4	K_5	K_F	K_P
Délai de stockage normal	1/10	1/2	2/3	1	1/3	1/3	1/10
(**) Délai de stockage court garanti	1/5	1/2	2/3	1	1/3	1/5	1/5

(**) correspond à une mise en œuvre des pédalles dans un délai garanti, qui a été choisi de trois (03) semaines au plus après leur mise en précontr. sur le banc.

Calcul de g : $g_1 = 125 \times 1,2 = 150 \text{ kg/ml} = 1,5 \text{ kg/cm}^3$.

$$g = K_1 \cdot g_1 + K_2 \cdot g_2 + K_3 \cdot g_3 + K_4 \cdot g_4 + K_5 \cdot s \\ = \frac{1}{5} \cdot 1,5 + \frac{1}{2} \cdot 1,5 + \frac{2}{3} \cdot 1,08 + 1 \cdot 1,08 + \frac{1}{3} \cdot 1,2 = 3,25 \text{ kg/cm}^3$$

Calcul de a :

$$a = 1 - 1,2(5 - 0,3 \cdot \alpha)$$

$$\delta = \frac{1}{2}(\delta_w + \delta_e) = \frac{1}{2}(0,4 + 0,4) = 0,4$$

$$\alpha = \frac{s}{g+s} = \frac{120}{516+120} = 0,18$$

d'où : $a = 1 - 1,2(0,4 - 0,3 \cdot 0,18) = 0,584$

Calcul de I : $I = \frac{100 \cdot 10^3}{72} = 8333,33 \text{ cm}^4$

Calcul de m : $m = \frac{\theta}{2} (h_e - h_i) = 100 \cdot 5 \cdot (5 - 2,5) = 1250 \text{ cm}^3$.

Calcul de F :

$$\left. \begin{array}{l} K_R = 1,4 \\ F_{RG} = 3270 \text{ dan} \\ m_0 = 7 \text{ file} \end{array} \right\} \rightarrow F = \frac{F \times 3270}{1,4} = 16350 \text{ dan}$$

Calcul de e' : $e' = 5 - 1,65 = 3,34 \text{ cm}$

$$E_J = 120000 \text{ bars} ; n_2 = 30 \text{ bars.}$$

d'où la flèche active :

$$f_a = \frac{276^2}{8 \cdot 120.000 \cdot 8333,33} \left(0,584 \cdot 3,25 \cdot \frac{276^2}{9,6} + \frac{1}{5} \cdot 1250 \cdot 30 - \frac{1}{5} \cdot 16350 \cdot 3,34 \right)$$

$$f_a = 95 \cdot 10^7 \cdot (15060,63 + 7550 - 10921,8)$$

$$f_a = 0,11 \text{ cm} \leq \frac{l}{500} = \frac{276}{500} = 0,55 = \bar{f}$$

on a bien : $f_a = 0,11 \text{ cm} \leq 0,55 = \bar{f}$ vérifié.

Chapitre 6

Evaluation de la période

Calcul au vent

Calcul au même

Combinaison des actions

Ferraillage des voiles

EVALUATION DE LA PERIODE

Pour évaluer la période de notre structure sous l'effet des forces horizontales (seisme, vent), on assimilera le bâtiment à une console verticale constituée de l'ensemble des voiles seuls et encastrée à sa base.

La masse des planchers et des éléments verticaux est concentrée aux noeuds principaux situés à chaque niveau.

Pour les bâtiments de forme simple comme le notre, composé d'étages de hauteur normale et constante, seul le premier mode de vibration correspond à des efforts notables par conséquent il peut être fait usage de la formule ci-après donnant la période d'oscillation T selon les R.P.A.

$$T = \frac{0,09}{\sqrt{L}} \cdot H \quad \text{R.P.A.}$$

où : H = hauteur en (m) total du bâtiment.

L = dimension (m) en plan dans la direction considérée

T = la période (s) du 1^{er} mode d'oscillation dans ladite direction.

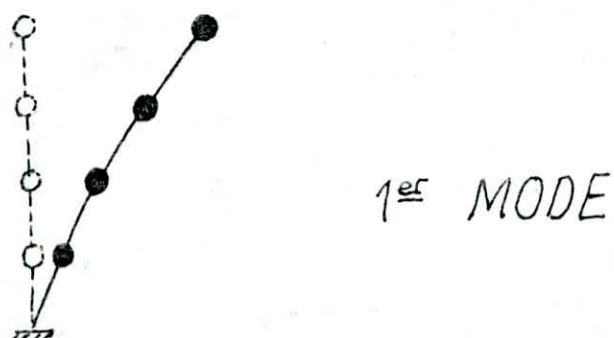
- Sens longitudinal : $T_L = \frac{0,09}{\sqrt{24,3}} \cdot 13,6 = 0,248 \text{ s}$

- Sens transversal : $T_t = \frac{0,09}{\sqrt{9,3}} \cdot 13,6 = 0,400 \text{ s}$

Remarque : Dans les bâtiments dont la forme n'est pas simple et présentent des irrégularités dans les hauteurs d'étages, changement d'inertie d'un étage à un autre, hauteur importante du bâtiment --- selon la gravité de ces irrégularités, deux méthodes de calcul de la période sont utilisées :

- La méthode statique : en utilisant les formules de :
 - LORD RAYLEIGH
 - STODOLA VIANELLO
 - HOLZER

- La méthode dynamique.



ETUDE AU VENT

1. Introduction : l'action d'ensemble du vent soufflant dans une direction donnée sur une construction se ramène à une résultante \vec{R} :

$$\vec{R} = \vec{T} + \vec{L} + \vec{U}$$



où : T = trainée : suivant la direction horizontale du vent. Elle produit un effort d'entraînement et de renversement.

L = dérive : suivant la direction perpendiculaire à celle du vent dans le plan horizontal.

U = portance : suivant une direction ascendante verticale. Elle produit un effet de renversement et de soulèvement.

2. Calcul de la trainée. c'est l'effort le plus déterminant dans le calcul au vent de la construction.

$$T = C_t \cdot \beta \cdot \delta \cdot q \cdot d$$

a) pression du vent q : $q = q_H \cdot K_s \cdot K_m$

$$q_H = q_{10} \cdot 2,5 \frac{H+18}{H+60}$$

K_s = coefficient de site (site exposé, région II) $\rightarrow K_s = 1,3$

K_m = coefficient de masque (pas de masque) $\rightarrow K_m = 1$

q_{10} = pression dynamique de base à 10m de haut.

$$q_{10} = 71,33 \text{ kg/m}^2$$

$$q = 71,33 \cdot 2,5 \cdot \frac{H+18}{H+60} \cdot 1,3 \cdot 1 = 231,83 \cdot \frac{H+18}{H+60}$$

b) Coefficient de trainée C_t : pour une construction à toiture terrasse.

$$C_t = 1,3 \cdot \gamma_0 \quad (\text{art. 2.161 NV65})$$

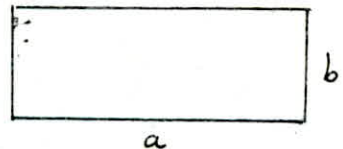
si $\frac{b}{a} \leq 3$ ou 4 coté, coeff γ_0 donné par fig RII-5 NV

γ_0 = coefficient fonction du rapport de dim 2

Vent normal à la face "a" ($a > b$)

$$\lambda_a = \frac{h}{a} = \frac{14}{23,3} = 0,60 \quad ; \quad \frac{b}{a} = \frac{9,3}{23,3} = 0,4$$

$$(\lambda_a; \frac{b}{a}) \rightarrow \gamma_0 = 1 \quad \text{d'où} \quad C_t = 1,3$$



Vent normal à la face "b" ($b < a$)

$$\lambda_b = \frac{h}{b} = \frac{14}{9,3} = 1,52 \quad ; \quad \frac{b}{a} = 0,4$$

$$(\lambda_b; \frac{b}{a}) \rightarrow \gamma_0 = 1 \quad \text{d'où} \quad C_t = 1,3$$

c) Coefficient de majoration dynamique β :

$$\beta = \theta (1 + \frac{\delta}{\gamma} \cdot \frac{\delta}{\gamma}) \quad (\text{art. 1.511 NV65})$$

où :

β : coefficient de majoration dynamique qui tient compte de la période d'oscillation de la structure.

ξ : coefficient de réponse donné en fonction de la période T du mode fondamental d'oscillation.

$$T = 0,4 \rightarrow \xi = 0,2 \quad (\text{fig R III-3 NV 65})$$

γ : coefficient de pulsation qui doit être déterminé à chaque niveau de côte H au dessus du sol

$$H = 14,00 \text{ m} \rightarrow \gamma = 0,35 \quad (\text{fig R III-4 NV 65})$$

θ : coefficient global dépendant du type de construction

$$H < 30 \text{ m} \rightarrow \theta = 0,7$$

$$\beta = \theta(1 + \xi \cdot \gamma) = 0,7(1 + 0,2 \cdot 0,35) = 0,75 < 1$$

Donc on prendra $\beta = 1$

d) L'largeur du maître couple (d) : le maître couple est la projection orthogonale de la surface considérée de la construction.

sens transversal : $d = a = 23,3 \text{ m}$

sens longitudinal : $d = b = 9,3 \text{ m}$

e) Coefficient de réduction (δ) : Il tient compte de l'effet de dimension, il est donné par (fig R III-2 - NV 65) ; $\delta = f(H)$

Soit enfin l'expression simplifiée de la traînée :

. Sens longitudinal : $T_L = 1,3 \cdot 1 \cdot 9,3 \cdot 231,83 \cdot \frac{H+18}{H+60} \cdot \delta$

$$T_L = 2802,82 \cdot \frac{H+18}{H+60} \cdot \delta$$

. Sens transversal : $T_t = 1,3 \cdot 1 \cdot 23,3 \cdot 231,83 \cdot \frac{H+18}{H+60} \cdot \delta$

$$T_t = 7022,13 \cdot \frac{H+18}{H+60} \cdot \delta$$

Rem: Les forces de traînée extrêmes sont données en multipliant les forces de traînées normales par 1,75 ou bien : $T_e = 1,75 \cdot T_n$

VALEURS DE LA FORCE DE TRAÎNÉE SUIVANT H

NIV	$H(\text{m})$	δ	$q(\text{kg/m}^2)$	Sens-long. ($d = b = 9,3 \text{ m}$)		Sens-trans. ($d = a = 23,3 \text{ m}$)	
				$T_n(\text{kg/ml})$	$T_e(\text{kg/ml})$	$T_n(\text{kg/ml})$	$T_e(\text{kg/ml})$
4	14	0,815	100,25	987,80	1728,65	2474,83	4330,95
3	9,75	0,835	92,23	931,11	1629,44	2332,78	4082,37
2	6,5	0,860	85,41	888,00	1554,00	2224,91	3893,59
1	3,25	0,890	77,89	858,00	1501,50	2149,70	3761,97
DC	0	1	69,55	830,85	1453,98	2098,64	3672,62

3. Calcul de la dérive

$$L = S \cdot C_t \cdot \beta' \cdot q_{cr} \cdot d \cdot \frac{H}{h}$$

où : S = coefficient de réduction qui tient compte de l'effet de dimension.

C_t = coefficient de dérive

β' = coefficient de majoration dynamique tenant compte de l'amortissement.

q_{cr} = pression dynamique critique correspondant à la vitesse de résonnance.

d = largeur du maitre couple

h = hauteur de la construction

H = côte du niveau considéré compté à partir du sol.

Détermination de la vitesse critique : La théorie de KARMAN montre que la période des tourbillons d'un fluide est donnée par :

$$T_k = \frac{d}{S \cdot V}$$

où : V = vitesse du fluide

S = nombre de STROUHAL qui ^{est} fonction de la rugosité des surfaces, de la forme de la construction et de la viscosité du fluide.

$$0,25 \leq S \leq 0,30$$

T : la période de vibration propre de la construction.

$$T = T_k \rightarrow \text{résonnance} \quad \text{d'où} \quad V_{cr} = \frac{d}{S \cdot T}$$

on a admis arbitrairement que :

si $V < 25 \text{ m/s}$ → faire le calcul à la résonnance.

si $V \geq 25 \text{ m/s}$ → non

sens longitudinal : $T = 0,248 \text{ s}$
 $S = 0,30$
 $d = 9,3 \text{ m}$ } → $V_{cr} = \frac{9,3}{0,30 \cdot 0,248} = 125 \text{ m/s}$

sens transversal : $T = 0,402 \text{ s}$
 $S = 0,30$
 $d = 23,3 \text{ m}$ } → $V_{cr} = \frac{23,3}{0,30 \cdot 0,402} = 194 \text{ m/s}$

Les vitesses critiques dans les deux sens sont supérieures à 25 m/s, il est donc inutile de faire le calcul à la résonnance.

4. Calcul de la portance

$$U = C_u \cdot S \cdot q_w \cdot S_u$$

a) Coefficient de portance : $C_u = C_i - C_e$

C_i = coefficient de surpression intérieure sur la terrasse.

C_e = coefficient de dépression extérieure sur la terrasse.

$C_i = 0,6 (1,8 - 1,3 \cdot \bar{\tau}_0)$ art. 2.1.4.1 NV 65

$$\bar{\tau}_0 = 1 \rightarrow \underline{C_i = +0,3}$$

$\bar{\tau}_0 = 1$
 $\alpha = 0$ } → $\underline{C_e = -0,5}$ R. III. 6. NV 65
dalle horizontale.

$$\left. \begin{array}{l} C_u = 0,3 - (-0,5) \\ C_u = +0,8 \end{array} \right\}$$

- b) coefficient de dimension : $s = 0,775$ (fig RIV-2 NV65)
 c) surface de la terrasse : $S_t = 23,3 \times 9,3 = 216,69 \text{ m}^2$
 d) pression du vent : $p_{w=14m} = 100,25 \text{ kg/m}^2$

- Portance normale $U_n = 0,8 \cdot 0,775 \cdot 100,25 \cdot 216,69 \cdot 10^3 = 13,47 \text{ t}$
- Portance extrême $U_c = 1,75 \cdot U_n = 23,57 \text{ t}$

on a U_c très petit devant le poids de la construction, donc pas de risque de soulèvement.

Conclusion : La Trainée T est la force la plus importante qui conditionne le contreventement de la construction.

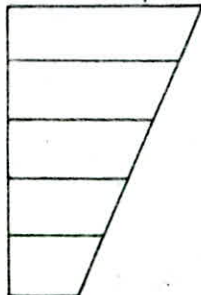
où la résultante de l'effet du vent R se ramène à T

$$[R = T]$$

CALCUL DES FORCES CONCENTRÉES AU NIVEAU DE CHAQUE ÉTAGE

On considère que le bâtiment se comporte comme une console encastrée au niveau du sol, soumise à une charge trapézoïdale que l'on décomposera suivant une répartition rectangulaire et une autre triangulaire.

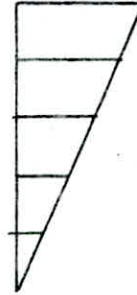
$$1928,65 = P$$



$$1453,98 = P_0$$



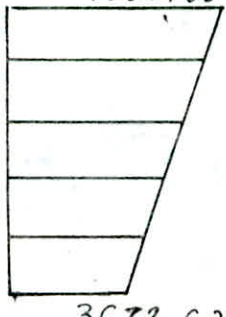
$$274,67 = P_1$$



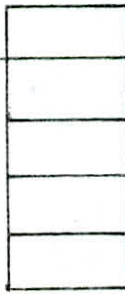
vent agissant longitudinalement

$$1453,98$$

$$4330,95$$



$$3672,62 = P_0$$



$$658,33 = P_1$$

vent agissant transversalement.

$$3672,62$$

Les valeurs des forces concentrées F_k à chaque niveau k sont données dans le tableau ci-après :

ex: niv 0 (RDC) ; vent transversal,

$$R_e = R_{e0} + R_{e1} = P_0 \cdot h + P_1 \cdot \frac{h}{2} = (P_0 + \frac{P_1}{2}) h$$

$$h = 14,00 \text{ m}$$

$$\left. \begin{array}{l} P_0 = 3672,62 \text{ kg} \\ P_1 = 658,33 \text{ kg} \end{array} \right\} R_e = 56,00 \text{ t.}$$

NIV	h (m)	Sens trans.		Sens longi-	
		$F_k(t)$	$F_k(t)_{cum}$	$F_k(t)$	$F_k(t)_{cum}$
4	14,00	0	0	0	0
3	9,75	12,23	130,63	4,8	51,89
2	6,50	24,60	118,4	9,78	47,09
1	3,25	37,80	93,8	15,03	37,31
RDC	0	56,00	56,00	22,28	22,28

ETUDE DU SEISME

Introduction: Ces règles parasiomiques algériennes ont pour but d'assurer une certaine protection des personnes et des biens contre les effets des secousses telluriques.

Elles définissent les conditions auxquelles doivent satisfaire les constructions pour répondre à cet objet.

Conformément à ces Règles, nous déterminerons les efforts sismiques probables d'une façon plus ou moins proche de la réalité afin de vérifier la résistance et la stabilité vis-à-vis des sollicitations dues à ces forces.

Détermination de la force sismique minimum (formule de base):

Tout bâtiment sera conçu et construit pour résister aux forces sismiques horizontales agissant non simultanément dans la direction de chacun des axes principaux de la structure, conformément à la formule :

$$V = A \cdot B \cdot D \cdot Q \cdot V_W \quad (\text{art. 3.3.1 RPA})$$

où : V = effort tranchant à la base (force sismique)

A = coefficient d'accélération de zone ;

groupe d'usage II }
Zone II } $\rightarrow A = 0,15$ (§ 33.1.1)

B = facteur de comportement de la structure

Catégorie 4
ossature contreventée par voiles B.A } $\rightarrow B = 0,25$ (§ 33.1.3)

D = facteur d'amplification dynamique moyen (§ 33.1.2)

fonction de < la nature du sol (meuble) }
< la période $T = 0,400 \text{ s}$ } $\rightarrow D = 2$

Q = facteur de qualité : (§ 33.1.4)

$$Q = 1 + \sum_{q=1}^4 P_q \quad \text{où } P_q = \text{pénalité qui dépend de l'observation ou non du critère de qualité } q$$

critère q	valeur: P_q	
	critère observé $P_q = 0,1$	critère non observé $P_q = 0$
- Condition minimale des files portantes ...	0,1	
- Surabondance en plan -----	0,1	
- Symétrie en plan -----	0	
- Régularité en élévation -----	0	
- Contrôle de la qualité des matériaux ..	0,1	
- Contrôle de la qualité de la construction --	0,1	
$\sum P_q$	0,4	

s'agit : $Q = 1 + 0,4 = 1,4$

Calcul du poids de la structure W: La valeur de W comprend la totalité des charges permanentes (poids propre de la structure, poids des remplissages et des revêtements, poids des équipements fixes...). Le poids W doit être calculé avec le plus grand soin pour que les valeurs obtenues correspondent à la réalité. (art. 3315 RPA)

• Poids du dernier niveau:

• plancher terrasse =	$0,509 \cdot 24,3 \cdot 9,3 = \dots$	115	t
• poids de l'acrotière =	$0,6 \cdot 0,15 \cdot 2,5 \cdot 6,2 = \dots$	16	t
• poids des poutres (BA + BP) =	\dots	28	t
• poids des poteaux	\dots	14	t
<hr/>			= 173 t

• Poids du niveau courant:

• plancher courant =	$0,627 \cdot 24,3 \cdot 9,3 = \dots$	142	t
• poids des éléments structuraux =	\dots	42	t
<hr/>			= 184 t

• Poids du sous sol:

• poids des poutres (BA + BP) =	\dots	28	t
• poids des poteaux =	\dots	14	t
<hr/>			= 42 t

• Poids propres des éscaliers = 33 t

• Poids propre des voiles (4 voiles) : $4(0,3 \cdot 2,6 \cdot 13) \cdot 2,5 = 102$ t

soit enfin : $W = 1086$ t

L'effort sismique à la base V_b $V_b = 0,15 \cdot 0,25 \cdot 2 \cdot 1,4 \cdot W$
 $V_b = 0,11 \cdot W$ soit 11% du pds.

Dans les deux sens, on a la même force sismique à la base V_b

$$V_b = 0,11 \cdot 1086 = 119,50 \text{ t}$$

s'it : $V_b = 120$ t

Distribution de la force sismique sur la hauteur du bâtiment

$$V = F_t + \sum_{k=1}^n F_k \quad \text{où } n = \text{nombre d'étages (niv)}$$

F_t = force concentrée au sommet

F_k = force concentrée dans le niveau k.

$$F_t = 0,07 \cdot T \cdot V$$

avec $F_t < 0,25 \text{ V}$ et $F_t = 0$ si $T < 0,7 \text{ s}$

dans notre cas $F_t = 0$ ($T = 0,48 < 0,7 \text{ s}$)

La partie restante de l'effort horizontal V doit être distribuée sur la hauteur de la structure suivant la formule :

$$F_k = \frac{V \cdot W_k \cdot h_k}{\sum_{i=1}^4 W_i \cdot h_i}$$

A chaque niveau k , la force F_k doit être répartie sur la surface du bâtiment (voiles) en accord avec la distribution des masses à ce niveau.

$$W_{k=4} = 173 + \underbrace{(0,3 \cdot 2,6 \cdot 2,5) \frac{3,25}{2} \cdot 4}_{\text{poids des voiles revenant au niv 4}} = 173 + 13 = 186 \text{ t}$$

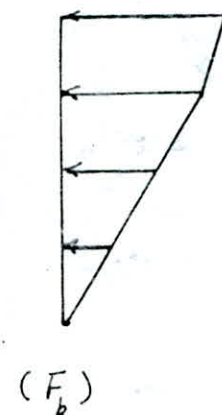
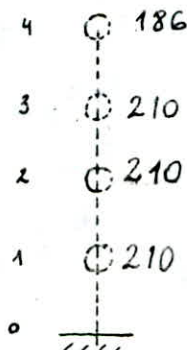
$$W_{k=1,2,3} = 184 + 13 \times 2 = 184 + 26 = 210 \text{ t}$$

$$\sum_{i=1}^4 W_i h_i = 210 \cdot 3,25 + 210 \cdot 6,5 + 210 \cdot 9,75 + 186 \cdot 13 = 6513 \text{ t.m}$$

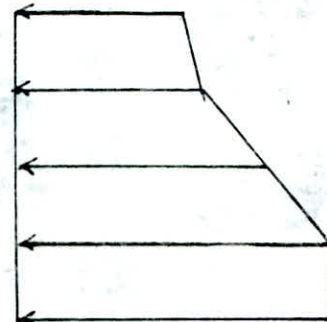
$$F_k = \frac{120}{6513} \cdot W_k \cdot h_k = 18,42 \cdot 10^3 \cdot W_k \cdot h_k$$

VALEURS DE F_k

> / z	- sens longi = sens trans.			
	F_k (t)	V_{cum} (t)	W_k (t)	h_k (m)
4	44,6	44,6	186	13
3	37,8	82,4	210	9,75
2	25,5	107,9	210	6,5
1	12,6	120,0	210	3,25
0	0	-	210	0



(F_k)



(V_{cum})

Distribution de l'effort sismique dans les voiles : Pour les structures comportant des planchers horizontaux rigides, l'effort tranchant total dans chaque plan horizontal sera distribué aux différents éléments de contreventement proportionnellement à leur inertie.

1. Calcul des inerties totales : (voiles sans ouvertures)

VOILE		I_x m^4	y_{10} m	I_y m^4	x_{10} m
Longi	1-1	0,4394	0	-	-
	3-3	0,4394	9	-	-
trans	A-A	-	-	0,4394	0
	I-I	-	-	0,4394	24



$$I = \frac{b \cdot h^3}{12} = \frac{0,3 \cdot 2,60^3}{12} = 0,4394 \text{ m}^4$$

2. Calcul du centre de torsion : C et centre de gravité G

par définition :

$$x_c = \frac{\sum I_{y_i} \cdot x_i}{\sum I_{y_i}} \quad ; \quad y_c = \frac{\sum I_{x_i} \cdot y_i}{\sum I_{x_i}}$$

à raison de la symétrie, on trouve

$$C = \begin{pmatrix} x_c = 12,00 \text{ m} \\ y_c = 4,5 \text{ m} \end{pmatrix}$$

$$G = \begin{pmatrix} x_g = 12,00 \text{ m} \\ y_g = 4,5 \text{ m} \end{pmatrix}$$

3. Détermination de l'excentricité : e

C et G sont confondus, donc on considérera seulement l'excentricité accidentelle e_{acc} :

$$e_{acc} = 5 \% \cdot L = \frac{5}{100} \cdot 24 = 1,20 \text{ m}$$

4. Nouvelles coordonnées des voiles par rapport à C :

VOILE	y_{1c} m	x_{1c} m
Longi	-5,7	-
	+3,3	-
trans	-	-13,2
	-	+10,8

$$y_{1c} = y_c - y_{10}$$

$$x_{1c} = x_c - x_{10}$$

5. Calcul de la rigidité à la torsion

$$J_\theta = \sum_1^2 I_{x_i} y_{1c}^2 + \sum_1^2 I_{y_i} x_{1c}^2 = 146 \text{ m}^3$$

6. Calcul des coefficients de répartition des efforts dans les refends :

pour une force unitaire $H_x = H_y = 1$ on a :

• sens longi- : $H_{x_i} = 1 \times \underbrace{\left[\frac{I_{x_i}}{\sum I_{x_i}} + \frac{I_{x_i} \cdot J_{lc}}{J_\theta} \cdot e_{acc} \right]}_{F_T} \underbrace{F_\theta}$

• sens trans- : $H_{y_i} = 1 \times \underbrace{\left[\frac{I_{y_i}}{\sum I_{y_i}} + \frac{I_{y_i} \cdot J_{lc}}{J_\theta} \cdot e_{acc} \right]}_{F_T} \underbrace{F_\theta}$

avec : F_T = terme de translation F_θ
 F_θ = terme de rotation due à l'excentricité.

Remarque : Le RPA préconise de négliger les valeurs négatives de F_θ ($F_\theta = 0$ si $F_\theta < 0$)

• seules les F_{RPA} sont utilisées dans les calculs.

VOILE	F_T	F_θ	$F_{\text{théo}}$	F_{RPA}
1-1	0,5	-0,020	0,48	0,5
3-3	0,5	+0,012	0,51	0,51

sens Longi -

VOILE	F_T	F_θ	$F_{\text{théo}}$	F_{RPA}
A-A	0,5	-0,047	0,45	0,5
I-I	0,5	+0,039	0,54	0,54

sens trans.

7- Calcul des efforts repris par les refends

$$H_x = T_E$$

$$H_y = T_E$$

NIV	V_k	VOILE	Coeff F_{RPA}	$(t)T_E$
4	44,6	(V ₃) 1-1	0,50	22,3
		(V ₂) 3-3	0,51	22,75
3	82,4	(V ₃) 1-1	0,50	41,2
		(V ₂) 3-3	0,51	42,03
2	107,9	(V ₃) 1-1	0,50	53,95
		(V ₂) 3-3	0,51	55,03
1	120	(V ₃) 1-1	0,50	60,00
		(V ₂) 3-3	0,51	61,20
-	-	-	-	-
		-	-	-

SENS LONGI -

NIV	V_k	VOILE	Coeff F_{RPA}	$(t)T_E$	
4	44,6	(V ₁) A-A	0,50	22,3	
		(V ₁) I-I	0,54	24,09	
3	82,4	(V ₁) A-A	0,50	41,2	
		(V ₁) I-I	0,54	44,5	
2	107,9	(V ₁) A-A	0,50	53,95	
		(V ₁) I-I	0,54	58,27	
1	120	(V ₁) A-A	0,50	55,03	
		(V ₁) I-I	0,54	64,8	
-					
-					

SENS TRANS -

SUPERPOSITION DES ACTIONS

Base de calcul Ses combinaisons des forces sismiques et des charges verticales spécifiées sont données ci-dessous. Ses éléments structuraux (voiles dans notre cas) doivent être calculés pour ces combinaisons de charges sur la base des règlements de béton en vigueur qui sont : (RPA art. 3.3.2)

$$\left\{ \begin{array}{l} G + Q + E \\ 0,8 \cdot G \pm E \end{array} \right. \quad \text{ou :} \quad \begin{array}{l} G = \text{charges permanentes} \\ Q = \text{surcharges d'exploitation} \\ E = \text{effet du séisme } (E = T_E) \end{array}$$

Pour les voiles pleins $E = 0$, par conséquent (a) devient :

$$\left\{ \begin{array}{l} G + Q = N_{\max} \\ 0,8 \cdot G = N_{\min} \end{array} \right.$$

Le moment extérieur engendré à chaque niveau (k) par $\sum_{i=k}^n F_i x_i$ est :

$$M_k = \sum_{i=k}^n F_i x_i \quad \text{où } x_i \text{ hauteur du niv.}$$

sens	Voile	Combinaisons	4	3	2	1 (RDC)
trans	V_1	G (t)	13,21	26,08	38,95	51,82
		Q (t)	1,05	3,66	6,26	8,87
		G + Q (t)	14,26	29,74	45,21	60,69
		0,8G (t)	10,57	20,86	31,16	41,46
		M (t.m)	313,2	572,77	601,67	628,80
long	V_2	G -	13,86	28,28	42,69	57,11
		Q -	1,29	4,51	7,73	10,96
		G + Q -	15,15	32,79	50,42	68,07
		0,8G -	11,09	22,62	34,15	45,69
		M -	295,75	483,71	568,24	589,13
C0	V_3	G -	10,58	20,95	31,32	41,69
		Q -	0,65	2,26	3,87	5,49
		G + Q -	11,23	23,21	35,19	47,18
		0,8G -	8,46	16,76	25,06	33,35
		M -	289,9	474,2	557,1	577,55

Les voiles doivent reprendre au plus 20% des charges verticales et la totalité des sollicitations dues aux charges horizontales (art. 3.3.1.31 RPA)

Le voile V_2 est le plus sollicité : $G + Q = 68,07 \text{ t.}$

or : $20\% W = \frac{20}{750} \times 1086 = 217,26 > 68,07$ vérifié.

FERRAILLAGE DES VOILES

Introduction: Les voiles sont sollicités en flexion Composée en considérant les efforts (N, M) résultant des charges verticales et des actions horizontales.

Pour chaque voile, on a 2 combinaisons ($N_{max}; M$) et ($N_{min}; M$).

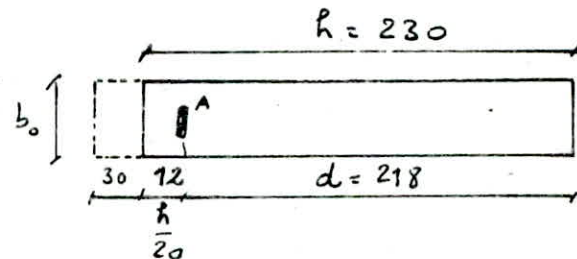
avec :

$$N_{max} = G + Q \\ N_{min} = 0,8 \cdot G \quad ; \quad E = 0 \quad (\text{voiles pleins})$$

Effort tranchant et contrainte de cisaillement: La vérification de la résistance aux solicitations de l'effort tranchant doit être effectuée avec :

$$\begin{cases} \bar{T} = 1,4 \cdot T_E \\ N = 0 \\ \bar{\tau}_b = 0,12 \cdot f_{c28} \end{cases} \quad (\text{art. 4.3.2.2 RPA})$$

$$T_E = \frac{1,4 \cdot T_E}{b_0 \cdot d} ; \quad d = h - \frac{h}{20} = 230 - \frac{230}{20} = 218 \text{ cm}$$



$\bar{\omega} = \frac{\bar{\tau}_b - 8}{f_e}$: section d'acier résistant à l'effort tranchant T_E

$$\bar{\tau}_b = \frac{1,4 \cdot T_E}{b_0 \cdot d} \quad \text{art. 4.3.3 RPA}$$

$$\begin{cases} \omega_{min} = 0,15\% & \text{si } \bar{\tau}_b \leq 0,025 f_{c28} = 0,625 \text{ MPa} \\ \omega_{min} = 0,25\% & \text{si } 0,025 f_{c28} \leq \bar{\tau}_b \leq 3 \text{ MPa} \end{cases} \quad \text{art. 4.3.3 RPA}$$

$$\bar{\tau}_b = \min(0,13 f_{c28}; 4 \text{ MPa}) = 3,25 \text{ MPa} \text{ ou } \bar{\tau}_b = 32,5 \text{ bars.}$$

Pour des raisons économiques, on ferraille les voiles selon deux (ou) secteurs :

- Secteur I $\rightarrow 1^{\text{er}} \text{ (RDC)} + 2^{\text{e}}$
- Secteur II $\rightarrow 3^{\text{e}} + 4^{\text{e}}$

Pour la vérification au cisaillement, on prendra T_{Emax} dans chaque secteur.

$$\text{Secteur I} \rightarrow T_{Emax} = 64,8 \text{ t}$$

$$\text{Secteur II} \rightarrow T_{Emax} = 44,5 \text{ t.}$$

$> \textcircled{X}_1$

Secteur	NIV	Voile	T_E max	$\bar{\tau}_b$ (bars)	ω_{min} %	$\bar{\omega}$ %	$A = A_{min}/h$
I	$1^{\text{e}} + 2^{\text{e}}$	\textcircled{V}_1	64,8	13,87 \textcircled{V}	0,25 %	0,27 %	7,5 cm^2
II	$3^{\text{e}} + 4^{\text{e}}$	\textcircled{V}_1	44,5	9,53 \textcircled{V}	0,25 %	0,07 %	7,5 cm^2

$$A_{\min} / \text{ml} = \omega \% \cdot 100 \cdot 30 = \frac{0,25}{100} \cdot 100 \cdot 30 = 7,5 \text{ cm}^2 / \text{ml}$$

$$\text{soit : } 10 \text{ HA } 10 / \text{ml} \quad (A_{\text{eff}} = 7,85 \text{ cm}^2)$$

Pour que les voiles résistent à l'effort tranchant il faut utiliser les armatures suivantes :

$$\underline{5 \text{ HA } 10 / \text{ml / face}}$$

Armatures verticales :

* Secteur I : Données : . voile au RDC.

- $f_{c28} = 25 \text{ MPa} ; \gamma_b = 1,15$ (état accidentel)
- $f_e = 400 \text{ " } ; \gamma_s = 1$ (" ")
- $b = 30 \text{ cm} ; h_t = 260 \text{ cm}$
- $M_u = 628,8$
- $N_{\text{umax}} = 68,07 \text{ t} ; N_{\text{umin}} = 45,69 \text{ t.}$

• 1^{ère} combinaison : $(M_u ; N_{\text{umax}})$

$$e_o = \frac{M_u}{N_{\text{umax}}} = \frac{628,8}{68,07} = 9,2 \text{ m} > \frac{h}{2} \rightarrow \text{S.P.C}$$

$$f_{bu} = \frac{0,85 \cdot f_{c28}}{1,15} = \frac{0,85}{1,15} \cdot 25 = 18,48 \text{ MPa}$$

$$d' = 42 \text{ cm} ; bd^2 f_{bu} = 0,3 \cdot 2,18 \cdot 18,48 = 26,35 \text{ MN.m}$$

$$M_{uA} = M_{uS_0} + N_{\text{umax}} \left(\frac{h_t}{2} - d' \right) = 628,8 + 68,07 \left(\frac{2,6}{2} - 0,42 \right) = 688,7 \text{ t.m} = 6,887 \text{ MN.m}$$

$$\mu_{bu} = \frac{M_{uA}}{bd^2 f_{bu}} = \frac{6,887}{26,35} = 0,26 < \mu_{bu} = 0,3 \rightarrow A' = 0 \text{ (pas d'acier comprimé)}$$

$$\mu_{bu} = 0,26 > \mu_{AB} = 0,186 \rightarrow \text{pivot B} \Rightarrow \begin{cases} \varepsilon_{bc} = 3,5\% \\ \varepsilon_s < 10\% \end{cases}$$

$$\varepsilon_s = \varepsilon_{bc} \cdot \frac{1-\alpha}{\alpha}$$

$$\underline{\alpha \text{ n}} : \alpha = 1,25 \left(1 - \sqrt{1 - 2 \mu_{bu}} \right) = 1,25 \left(1 - \sqrt{1 - 2 \cdot 0,26} \right) = 0,38$$

$$y = \alpha \cdot d = 0,38 \cdot 218 = 83 \text{ cm. (position de l'axe neutre 1^{er} F.S.)}$$

$$\varepsilon_s = \varepsilon_{bc} \frac{1-\alpha}{\alpha} = 5,7\%$$

$$\varepsilon_{\text{élastique}} = \frac{f_{su}}{\varepsilon_s} = \frac{400}{1 \times 2,18} = 2\% \quad \left. \begin{array}{l} \varepsilon_s > \varepsilon_{el} \\ \end{array} \right\} \rightarrow \text{utilisation économique des aciers.}$$

Aciers tendus :

$$A = \frac{M_{uA}}{\varepsilon_b \cdot f_{su}} ; \quad \varepsilon_b = d(1 - 0,4 \cdot \alpha) = 2,18(1 - 0,4 \cdot 0,38) = 1,85 \text{ m.}$$

$$A = \frac{6,887 \cdot 10^4}{1,85 \cdot 400} = 93,0 \text{ cm}^2$$

$$A_{su1} = A - \frac{N_{\text{umax}}}{f_{su}} = 93,0 - \frac{68,07}{400} = 76 \text{ cm}^2$$

$$A_{\min} = 0,5\% \cdot b \cdot (h_t - y) = \frac{0,5}{100} \cdot 30 \cdot (260 - 83) = 26,55 \text{ cm}^2 \text{ art.}$$

$$A_{su1} > A_{\min}$$

Donc :

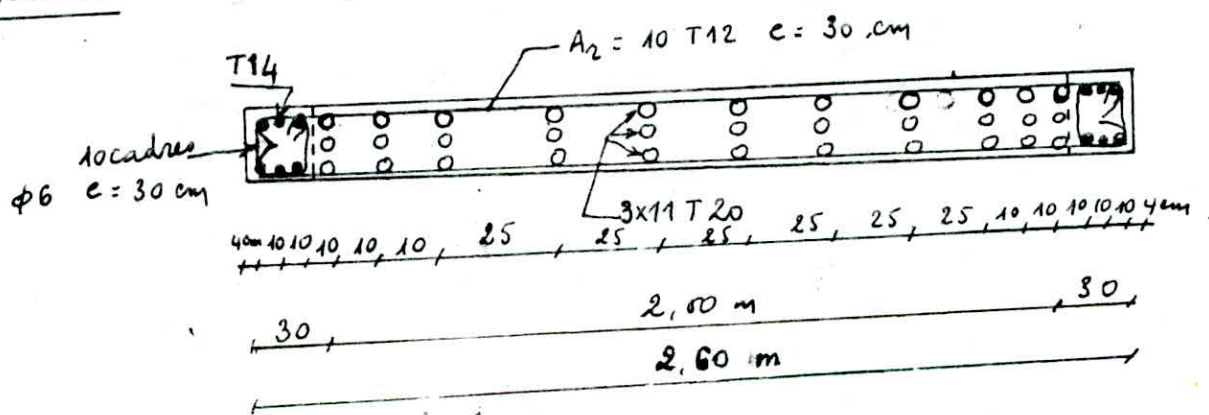
$$\boxed{A_{su}^{(1)} = 76, \text{cm}^2}$$

Le reste du calcul est analogue au précédent, on le présentera dans le tableau ci-après :

Secteur	Combinaison	e_0 (m)	nat séction	M_{uA} t.m	M_{bu}	M_{AB}	α	are. n $y = ad$ (cm)	Z_b cm	PIVOT	E_{uc}	E_s	A_{su} (cm ²)	A_{min} (cm ²)
H	(Mu, Numax) (628,8 ; 68,07)	9,2	S.P.C	688,7	0,26	0,186	0,38	83	185	B	3,5%..	5,7%..	76	26,55
	(Mu, Numin) (628,8 ; 45,69)	13,76	S.P.C	669	0,25	0,186	0,36	78,5	186,6	B	3,5%..	6,2%..	78,2	27,22
II	(Mu, Numax) (483,71 ; 32,79)	14,75	S.P.C	509,1	0,20	0,186	0,28	61	193,6	B	3,5%..	9%..	57,5	29,9
	(Mu, Numin) (483,71 ; 22,62)	21,4	S.P.C	503,6	0,19	0,186	0,26	57	195,3	B	3,5%..	9,9%..	58,8	30,5

on va ferrailler tous les voiles du 1^{er} (RDC) + 2^{es} avec $A_{su} = 78,2 \text{ cm}^2$
selon la disposition prescrite par le RPA, et $A_{su} = 58,8 \text{ cm}^2$ pour 3^{es} et 4^{es}.
réparties dans la zone tendue.

Secteur I.:



Chapitre 7.

Fondations

Engines.

FONDATIONS

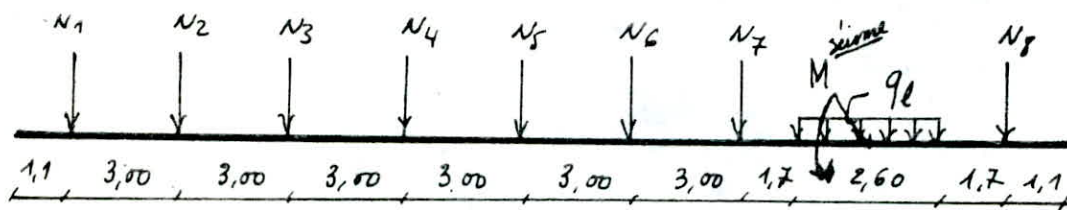
Introduction: D'une façon générale, les éléments de fondation sont relativement massifs et peu élancés et ne prêtent guère à l'application des méthodes de calculs comme précédemment telle que nous les avons développées pour les poutres, poteaux et pédalles.

Choix du type de fondation: Il dépend de la qualité du sol, les charges de l'ouvrage et sa forme.
Une étude préalable du sol à 2,00 m de profondeur a donné une contrainte admissible $\bar{\sigma}_s$:

$$\bar{\sigma}_s = 2,5 \text{ bars.}$$

Les poteaux étant très rapprochés (3,00 m d'entre-axe) et afin d'éviter les interférences des semelles isolées, nous optons pour des semelles filantes qui seront chacune sous 8 poteaux.

schéma statique:



$N_1(t)$	$N_2(t)$	$N_3(t)$	$N_4(t)$	$N_5(t)$	$N_6(t)$	$N_7(t)$	$N_8(t)$	$q_e (MN/m)$
45,44	79,11	79,11	79,11	79,11	79,11	79,11	59,47	26,18

Dimensionnement de la semelle:

$L = 26,2 \text{ m}$ = longueur de la semelle.

$B = ?$ = largeur " " " "

$$B \times L \geq \frac{\sum N_i + q_e \cdot l + M / 26,2}{\bar{\sigma}_s} = \frac{670,12}{2,5} \cdot 10^3 = 26,8$$

$$B \geq \frac{26,8}{26,2} = 1,02$$

on prend $B = 2,00 \text{ m}$

Le fonctionnement de cette semelle qui doit être assez rigide se fait dans

$$\bullet \quad h_t = \frac{l}{6} \text{ à } \frac{l}{9} \Rightarrow h_t = \frac{300}{6} \text{ à } \frac{300}{9} \Rightarrow h_t \in [34,50 \text{ cm}]$$

avec l : entre-axe des poteaux

$$\bullet \quad h_t, \frac{b-b}{4} = \frac{200-30}{4} = 42,5 \text{ cm} \quad \text{avec } b=30 \text{ cm côte du pot.}$$

on prend :

$$\bullet \quad h = 45 \text{ cm} \text{ et } h_t = 45 + 5 = 50 \text{ cm.}$$

$$\bullet \quad \text{l'épaisseur } e = 7,6\phi + 6 \text{ avec } \phi = 20 \text{ mm} \\ e = 20 \text{ cm}$$

Pour les semelles continues sous poteaux, la répartition des contraintes sur le sol est fonction de la raideur de la semelle, on utilise la théorie des sols élastiques.

Calcul de la longueur élastique:

$$l_e = \sqrt{\frac{4 \cdot E \cdot I}{K \cdot B}}$$

$$I = \frac{B h_e^3}{12} = 20,8 \cdot 10^5 \text{ cm}^4 : \text{Inertie de la semelle.}$$

$$E = 2 \cdot 10^5 \text{ bars (module d'élasticité du Béton)}$$

$$K = \text{coeff de raideur du sol} = 4 \text{ bars}$$

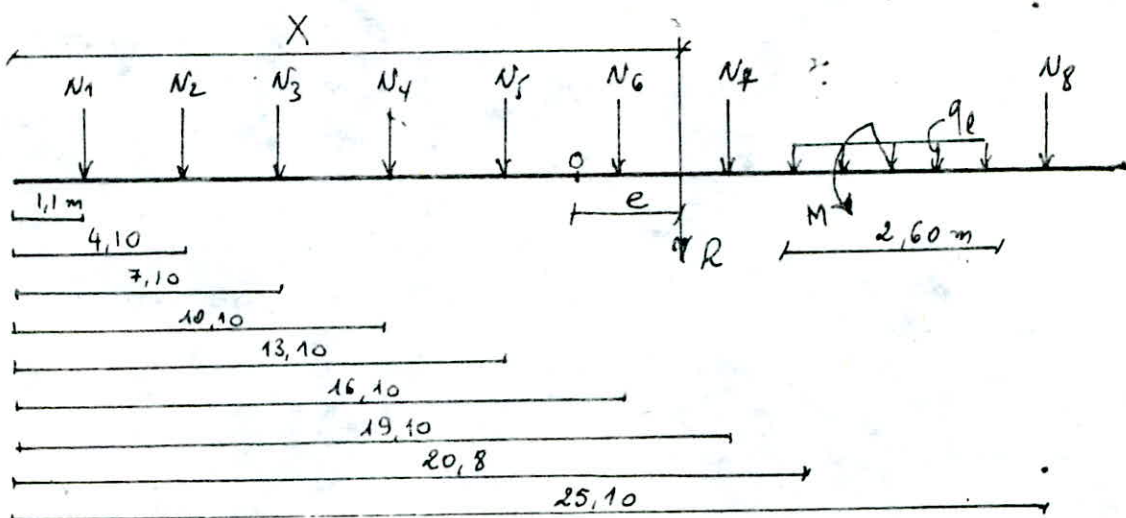
$$B = \text{largeur de la semelle} = 2,60 \text{ m}$$

$$l_e = \sqrt{\frac{4 \cdot 2 \cdot 10^5 \cdot 20,8 \cdot 10^5}{4 \cdot 200}} = 213,56 \text{ cm. soit } 2,13 \text{ m.}$$

Si $l \leq \frac{\pi}{2} \cdot l_e$: le calcul se fait en supposant une répartition linéaire des contraintes sur le sol et il n'y a pas lieu de faire les calculs relatifs à la poutre sur sol élastique.

$$l = 3,00 \text{ m} \leq \frac{3,14}{2} \cdot 2,13 = 3,34 \text{ m} \quad \text{c'est vérifié.}$$

Position des efforts sur la semelle:



- Poids de la semelle N_s

$$N_s = 8 \cdot 2,5 \left[L \cdot e + \frac{b+8}{2} (h_f - e) \right] = 2 \cdot 2,5 \left[26,2 \cdot 0,2 + \left(\frac{9,3+e}{2} \right) (0,5 - 0,2) \right]$$

$$N_s = 27,92 \text{ t}$$

- Poids des terres : $N_g = 1,8 \cdot 8 \cdot 0,4 \cdot 26,2 = 1,8 \cdot 2,00 \cdot 0,4 \cdot 26,2 = 37,73 \text{ t}$

D'où $N_{TOT} = 670,12 + 27,92 + 37,73 = 735,77 \text{ t}$.

- Position de la résultante R des efforts verticaux.

$$\sum M_A^o = 0 \quad N_1 \cdot 1,1 + N_2 \cdot 4,1 + N_3 \cdot 7,1 + N_4 \cdot 10,1 + N_5 \cdot 13,1 + N_6 \cdot 16,1 + N_7 \cdot 19,1 + 2,6 \cdot 26,18 + 59,47 \cdot 25,10 + \frac{589,13}{26,2} - R \cdot X = 0$$

$$\Rightarrow X = \frac{7705,92}{R} = \frac{7705,92}{670,12} = 11,49 \text{ m à partir du pt A.}$$

l'excentricité : $e = 113,1 - 11,491 = 1,62 \text{ m}$.

$$e = 1,62 \text{ m} < \frac{L}{4} = \frac{26,2}{4} = 6,55 \quad \text{vérifié.}$$

Donc la semelle est stable.

- Calcul des contraintes σ_1, σ_2

$$\sigma_{1,2} = \frac{N_{TOT}}{L \times b} \left(1 \pm \frac{6 \cdot e}{L} \right) = \begin{cases} \sigma_1 = 1,73 \text{ bars} < \bar{\sigma}_s \text{ vérifié.} \\ \sigma_2 = 0,80 \text{ bars} \end{cases}$$

- Contrainte moyenne de calcul :

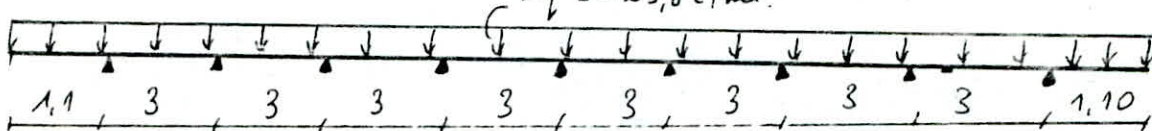
$$\sigma_m = \sigma(A/4) = \frac{3\sigma_1 + \sigma_2}{4} = \frac{3 \cdot 1,73 + 0,8}{4} = 1,49 \text{ bars.} < \bar{\sigma}_s \text{ vérifié.}$$

Ferraillage de la semelle :

1. Sens longitudinal : La semelle filante agit comme une poutre renversée avec les potlaux et les rails comme appuis, soumise à une charge uniformément répartie $q + q$:

$$q = \sigma_m \times B = 1,49 \times 200 = 298 \text{ kg/cm}^2 = 29,8 \text{ t/m}^2$$

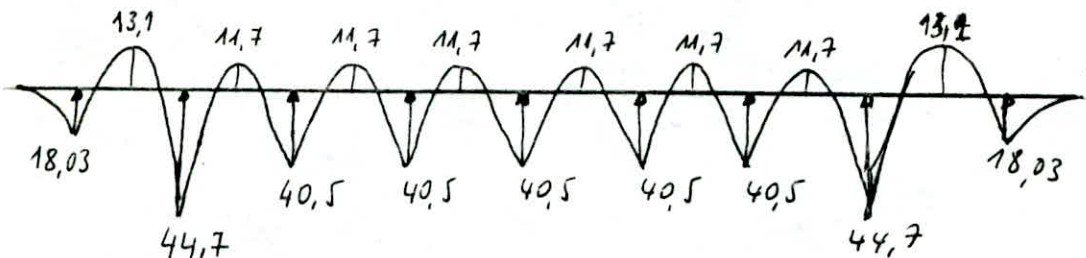
$$-q = -29,8 \text{ t/m}^2$$



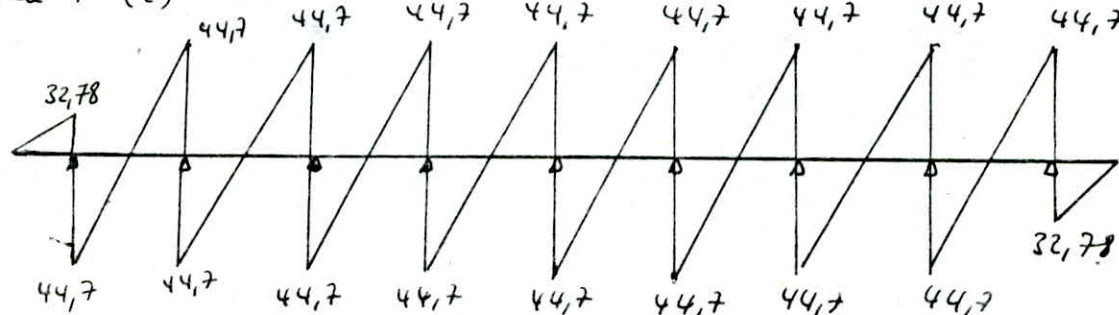
Pour la détermination des efforts M et T agissant en travées et sur les appuis, on utilise un programme que nous avons élaboré dans le cadre du séminaire comme mini projet de la 4^e année. Ce programme comme l'a été défini est valable pour des poutres continues.

Les résultats sont présentés ici sous forme de listing, comme suit,

Diagramme des moments : en (t.m)



Diag de T (t)



* En travée :

$$M_{\max} = 13,1 \text{ t.m.} ; d = 45 \text{ cm}$$

$$\mu_{lu} = 0,3 ; b = 200 \text{ cm.}$$

$$\mu_{bu} = \frac{M_{\max}}{bd^2 f_{bu}} = \frac{13,17}{2 \cdot 0,45^2 \cdot 14,2 \cdot 10^2} = 0,02$$

$$\mu_{bu} < \mu_{lu} \rightarrow A' = 0 \quad (\text{pas d'aciérs comprimés}).$$

armatures tendues :

$$\alpha = 1,25(1 - \sqrt{1-2\mu_{bu}}) = 0,025$$

$$Z_b = d(1 - 0,4\alpha) = 0,45(1 - 0,4 \cdot 0,025) = 0,44 \text{ m.}$$

$$A_{su} = \frac{13,1}{0,44 \cdot 348 \cdot 10^2} = 7,29 \text{ cm}^2. \quad \underline{\text{soit } 9 \text{ T14}} \quad (A = 13,85 \text{ cm}^2)$$

* En appui :

$$M_{\max} = 44,7 \text{ t.m.}$$

$$\mu_{bu} = \frac{44,7}{2 \cdot 0,45^2 \cdot 14,2 \cdot 10^2} = 0,08 < \mu_{lu} = 0,3 \rightarrow \text{pas d'aciérs comp} (A' = 0)$$

armatures tendues : $\alpha = 0,104$

$$Z_b = 0,43 \text{ m} \quad \left\{ \quad A_{su} = \frac{44,7}{0,43 \cdot 348 \cdot 10^2} = 29,87 \text{ cm}^2. \right.$$

s'agit de $10T20$ ($A = 31,41 \text{ cm}^2$)

• Armatures transversales :

vérification au cisaillement :

$$V_{\text{umax}} = 44,7 \text{ t.}$$

$$\tau_u = \frac{V_{\text{umax}}}{b \cdot d} = \frac{44,7 \cdot 10^3}{2 \cdot 0,45 \cdot 10^4} = 4,96 \text{ kg/cm}^2.$$

$$\bar{\tau}_u = \min[0,13 f_{c28}; 40 \text{ bars}] = 32,5 \text{ bar}$$

$\tau_u < \bar{\tau}_u$ vérifié.

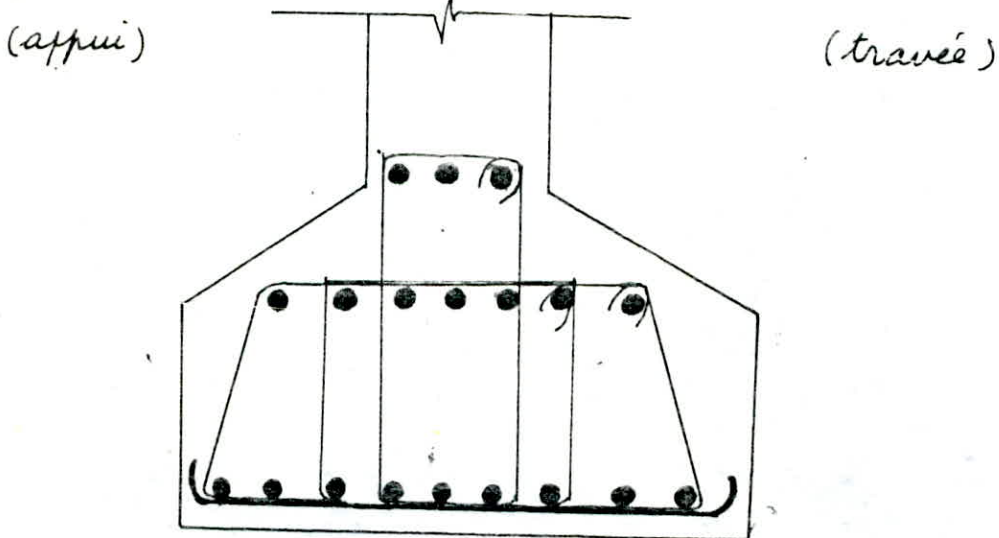
soit 3 cadre $\phi 8$ (6 brins) $\rightarrow A_t = 2,26 \text{ cm}^2$.
on prend un écartement uniforme de 15 cm.

• Armatures de répartition : A_2

$$\frac{A}{4} \leq A_2 \leq \frac{A}{2} \Rightarrow 7,85 \text{ cm}^2 \leq A_2 \leq 15,7 \text{ cm}^2.$$

on prend : $A_2 = 11,72 \text{ cm}^2$ soit 10T12 (11,89 cm²)

schéma de ferrailage de la semelle :



Calcul de la 2^e semelle filante (cage d'écalier)

$$N_1 = 79,11 \text{ t} ; N_2 = N_3 = 79,11 \text{ t.}$$

$$S.L. \geq \frac{\sum N_i}{\bar{v}_s} \Rightarrow B = 2,00 \text{ m} ; L = 8,20 \text{ m}$$

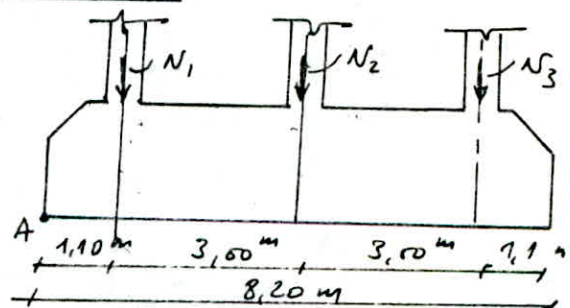
$$h_f = 50 \text{ cm} ; e = 20 \text{ cm}$$

$$F_{\text{TOT}} = \sum N_i + N_{\text{terre}} + N_s$$

$$F_{\text{TOT}} = 3 \times 79,11 + 9,925 + 11,01 = 259,06 \text{ t}$$

$$c = 3,76 \text{ (position de la résultante R / } A \text{)}$$

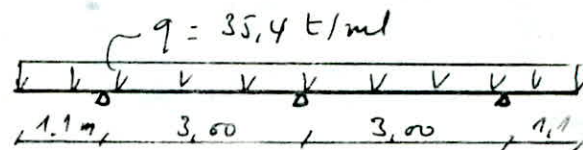
$$e = 0,34 \text{ m (excentricité de R)}$$



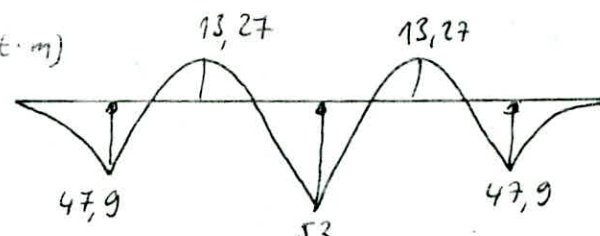
$$\begin{cases} \sigma_1 = 1,97 \text{ bars} < \bar{\sigma}_s = 2,5 \text{ bars} & (\text{vérifié}) \\ \sigma_2 = 1,18 \end{cases}$$

$$\sigma_m = \sigma(A/4) = \frac{3\sigma_1 + \sigma_2}{4} = 1,77 \text{ kg/cm}^2$$

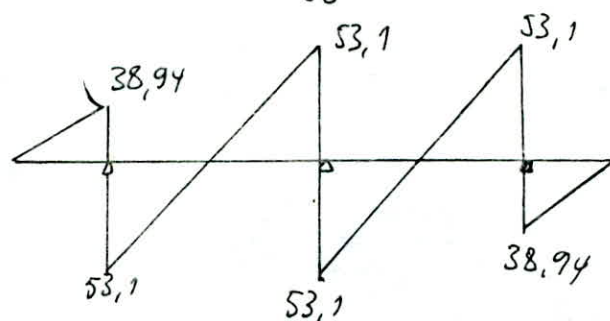
$$q = 35,4 \text{ t/ml.}$$



• Diagramme des moments, (t.m)



• Diagramme de T (t)



Ferraillage:

* En travée : $M_u = 13,27 \text{ t.m}$

$$M_{bu} = \frac{13,97}{2 \cdot 0,45^2 \cdot 14,2 \cdot 10^2} = 0,023 \quad < \mu_{bu} = 0,3 \rightarrow A' = 0$$

armatures tendues :

$$\left. \begin{array}{l} \alpha = 0,029 \\ Z_b = 0,44 \text{ m} \end{array} \right\} \rightarrow A_{su} = 8,66 \text{ cm}^2 \quad \text{soit } 7 \text{ T14} \quad (A = 10,77 \text{ cm}^2)$$

* En appui : $M_u = 53 \text{ t.m}$

$$M_{bu} = \frac{53}{2 \cdot 0,45^2 \cdot 14,2 \cdot 10^2} = 0,092 \quad < \mu_{bu} = 0,3 \rightarrow A' = 0$$

armatures tendues :

$$\left. \begin{array}{l} \alpha = 0,12 \\ Z_b = 0,43 \end{array} \right\} \rightarrow A_{su} = 35,4 \text{ cm}^2 \quad \text{soit } 12 \text{ T20} \quad (A = 37,7 \text{ cm}^2)$$

• Armatures transversale: $V_{max} = 53,1 \text{ t}$.

$$C_u = \frac{53,1 \cdot 10^3}{280 \cdot 45} = 5,9 \text{ bars} < \bar{\sigma}_u = 32,5 \text{ bars} \quad \text{vérifié.}$$

on prend un écartement de 15 cm.

avec 6 barres $\phi 8$ ($A_f = 2,1 \text{ cm}^2$) ou bien 3 cadres $\phi 8$.

• Armatures de répartition, A_2

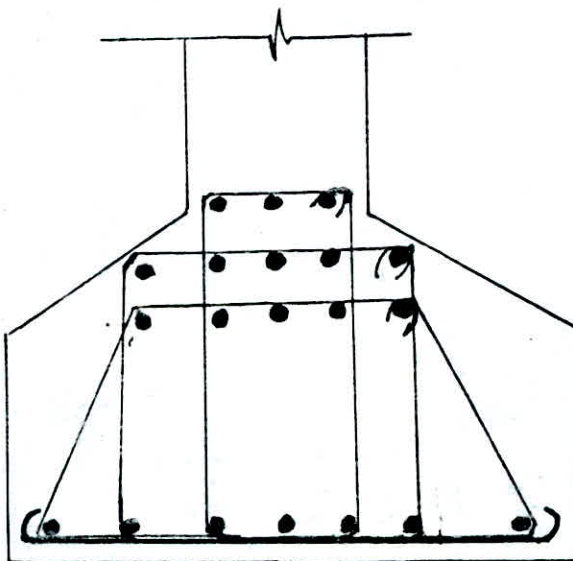
$$\frac{A}{4} \leq A_2 \leq \frac{A}{2} \Rightarrow 10,05 \leq A_2 \leq 20,1 \text{ cm}^2$$

on prend $\underline{A_2 = 10 \text{ T12}} \quad (11,31 \text{ cm}^2)$

• Schéma de ferrailage:

(appui)

(traversé)



CALCUL DES LONGRINES

Les longrines sont prévues entre les semelles dans le sens transversal du bâtiment pour reprendre les moments à la base des poteaux.

Les longrines sont calculées conformément à l'article 4.2.33 (RPA) pour résister à la traction sous l'action d'une force égale à :

- $N/15$ pour les terrains de consistance moyenne.
- $N/10$ pour les terrains meubles.

Le Ferrailage minimum doit-être 4T14 ou 4T92 avec un éspacement ne dépassant pas 20 cm.

avec: $N =$ l'effort axial du poteau considéré

Dimensionnement et Ferrailage des longrines

$$N_{\max} = 79,11 \text{ t} \Rightarrow N/15 = 5,27 \text{ t}$$

la section nécessaire à la traction est :

$$A_f, \frac{N}{f_{su}} = \frac{5270}{4000/1,15} = 1,5 \text{ cm}^2$$

on prendra donc $A_{RPA} = 4T14 \quad (6,15 \text{ cm}^2)$

Condition de non fragilité

$$B_f \leq \frac{A_f \cdot f_e}{f_{t23}} = \frac{6,15 \cdot 4000}{21} = 1171,43 \text{ cm}^2$$

B_f : section droite de la longrine

$$\text{soit } B_f = 30 \times 40 \text{ cm}^2 = 1200 \text{ cm}^2$$

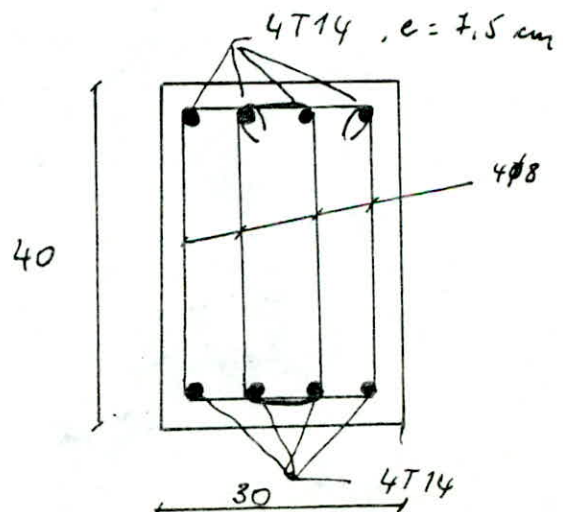
Ferrailage

on prendra 2 cordes Ø8

$$\Rightarrow A_c = 2,01 \text{ cm}^2$$

éspacement $e = 7,5 \text{ cm}$

Les longrines doivent-elle être armée symétriquement.



Chapitre 8.

Organisation de chantier Conduision - Perspectives

ORGANISATION DE CHANTIER

Introduction : Nous donnerons ici quelques éléments d'information concernant surtout les durées de réalisation des tâches clés du procédé SCOPE. Ainsi pour une équipe composée de : 1 OHQ + 2 MO + 1 grutier, les cadences moyennes de mise en œuvre sont :

- 10 mn pour 1 poteau
- 5 mn " 1 poutre
- 10 mn " 1 pré dalle.

Temps de pose des poteaux : Poteaux prêts à recevoir les poutres après levage, réglage scellement en pied et étaiement :

En 8,5 h/jour → 16 à 20 poteaux par jour.

Temps de pose des poutres : Poutres prêtes à recevoir le plancher après levage, coffrage et ferrailage du nœud, réglage, étaiement : coulage de la partie basse de la liaison :

En 8,5 h/j → 13 à 16 poutres par jour.

Temps de pose des planchers : La dalle est prête à couler au béton après étaiement, la pose des pré dalles, les ferrailages complémentaires de la dalle, le chainage, la mise en place des chapeaux et le coulage à béton de dalle :

0,60 h/m² à 0,90 h/m²

Titre d'exemple, on prend notre bâtiment qui sera supposé être réalisé par 1 équipe composée de 1 OHQ + 2 MO par le procédé SCOPE et le procédé traditionnel de construction :

• 1) Avec SCOPE :

$$\begin{aligned}
 & - 21 \text{ poteaux} \xrightarrow{16/2} 1,5 \text{ j} \\
 & - 30 \text{ poutres} \times 4 \xrightarrow{13/2} 6 \text{ j} \\
 & - 1 \text{ plancher} \times 4 \xrightarrow{0,6 \text{ h/m}^2} 4 \times 0,6 \cdot (24,3 \times 9,3) = 64 \text{ j} \\
 & - 4 \text{ voiles} \times 4 \xrightarrow{20/2} 4 \times 2 = 8 \text{ j}
 \end{aligned}$$

D'où la durée de réalisation de la superstructure est de 3 mois

2) Avec le procédé traditionnel : avec la même équipe :

$$\begin{aligned}
 & - 21 \text{ poteaux} \times 4 \xrightarrow{3/2} 28 \text{ j} \\
 & - \text{ plancher} \times 4 \xrightarrow{30 \text{ j}} 120 \text{ j} \\
 & - \text{ Décoffrage} \times 4 \xrightarrow{7/2} 30 \text{ j}
 \end{aligned} \quad \left. \begin{array}{l} \text{soit au total une durée de} \\ 6 \text{ mois} \end{array} \right\}$$

Compte tenu des retards éventuels dans les livraisons des matériaux de construction évalués en moyenne de 1 mois, la durée globale devient de 7 mois.
Et : dans une durée de 21 mois on aura construit 7 bâtiments en SCOPE 3 bâtiments en traditionnel

Marge importante : Dans le cas des terrains accidentés ou de forte déclivité, la différence sera frappante à l'avantage de SCOPE.

CONCLUSION - PERSPECTIVES

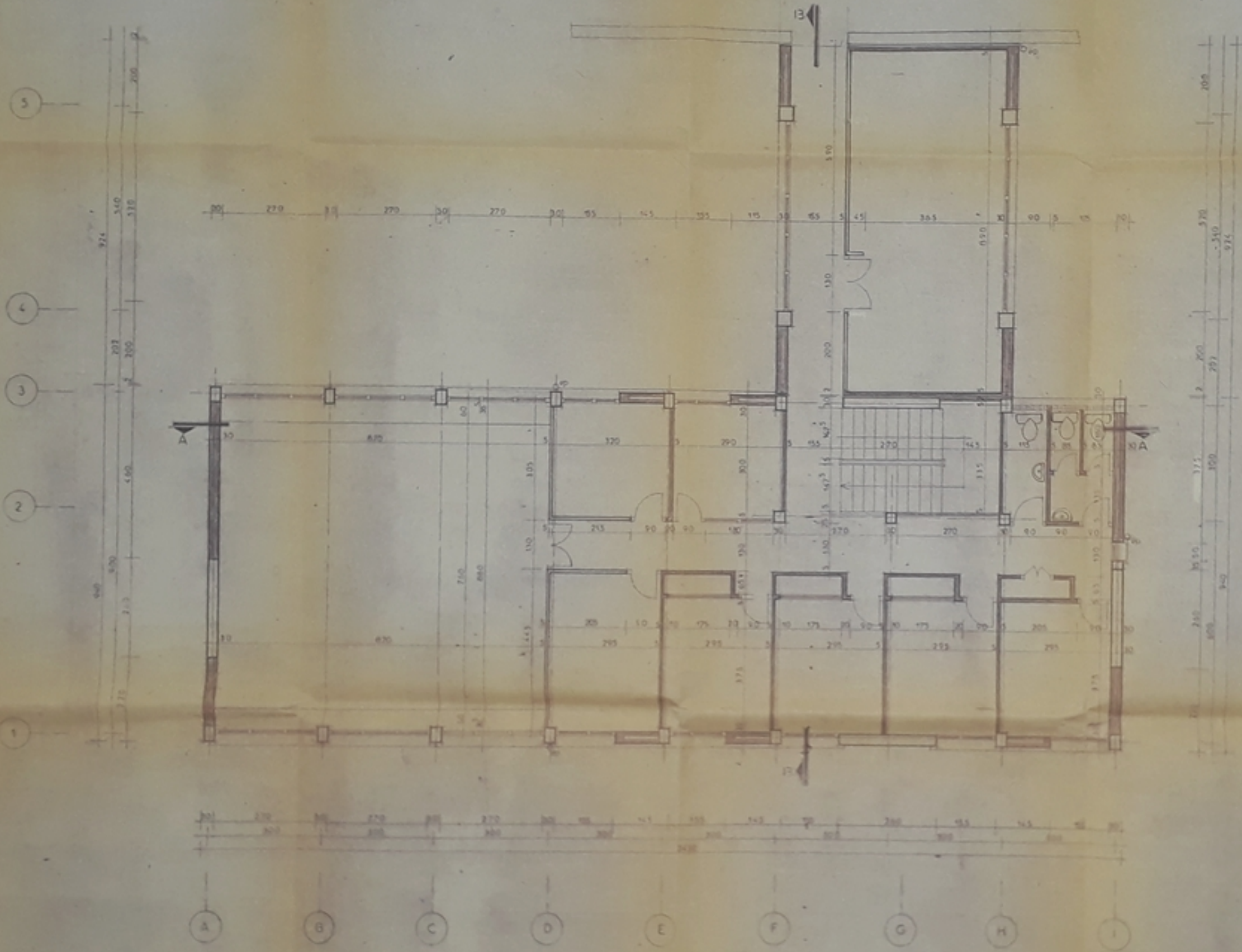
- Le procédé SCOPE étant basé sur un assemblage d'éléments préfabriqués, nous avons présenté les études (théoriques) avec calculs ainsi que les techniques de réalisation des principaux éléments à savoir les poutres et les poteaux et les prédalles.

Pour une très bonne maîtrise de cette technique et son éventuel élargissement vers d'autres structures, nous avons présenté certains développements théoriques et recommandations données par les documents techniques de construction (étude à la manutention, jonction poutre-poteau, jonction poteau-fondation ... etc) en plus de certains dessins représentant quelques détails pratiques de construction.

Nous avons enfin mis en évidence l'élément essentiel de ce procédé qui est le gain important dans le temps de réalisation des ouvrages ainsi que le coût à travers le calcul du bâtiment proposé par SIDEM. Ces deux éléments militent en la faveur de ce procédé afin que son utilisation soit généralisée dans le domaine de la construction dans notre pays, surtout, en ces temps de crise économique et de crise de logements. Toute fois, les études devraient être poursuivies et approfondies dans l'objectif de adapter ce procédé aux règles Parasiomiques Algériennes.

BIBLIOGRAPHIE

- Documents Techniques SARET
- PPB info.
- Cahier des prescriptions techniques PREDALLES (C.P.T)
- Recommandations de l'association Scientifique de la précontrainte. (juin 1965)
- Instruction provisoire n° 2 IPZ.
- Calcul des Ouvrages en Béton Armé selon BAEL (P. CHARON)
- Cours pratique du Béton Précontraint (G. DREUX)
- La précontrainte dans le bâtiment (FUENTES)
- Calcul des ouvrages en Béton Armé (BÉLAZOUSSI)
- Règlements Parasiomiques Algériens (RPA 83)
- Règles N.V 65
- Règles BAEL 83
- Règlements CM 86.



PE 005/3
A.

Chambre 1	Chambre 2	Chambre 3	Chambre 4	Chambre 5	Chambre 6	Chambre 7	Chambre 8	Chambre 9
... 100 100 100 100 100 100 100 100 100 ...

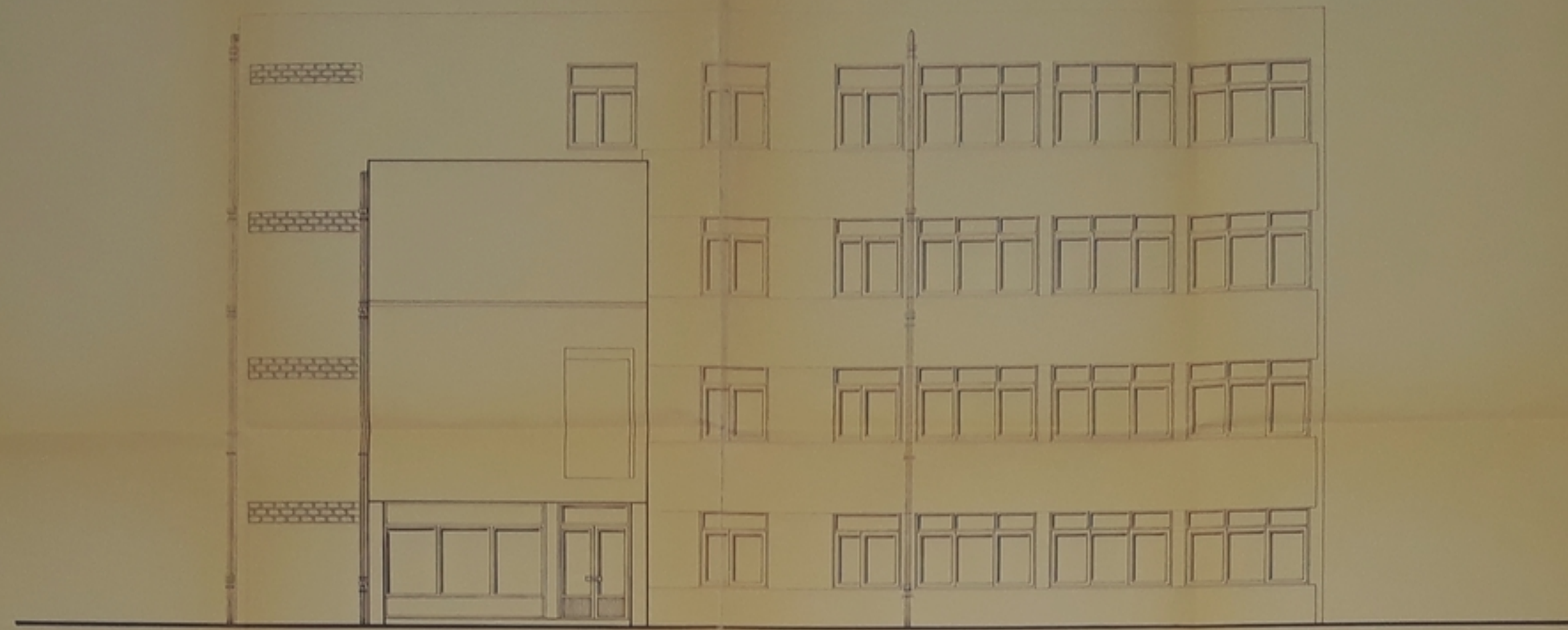
EXTENSION SIEGE SODEM BOUXHEM

VUE EN PLAN - ETAGE 1

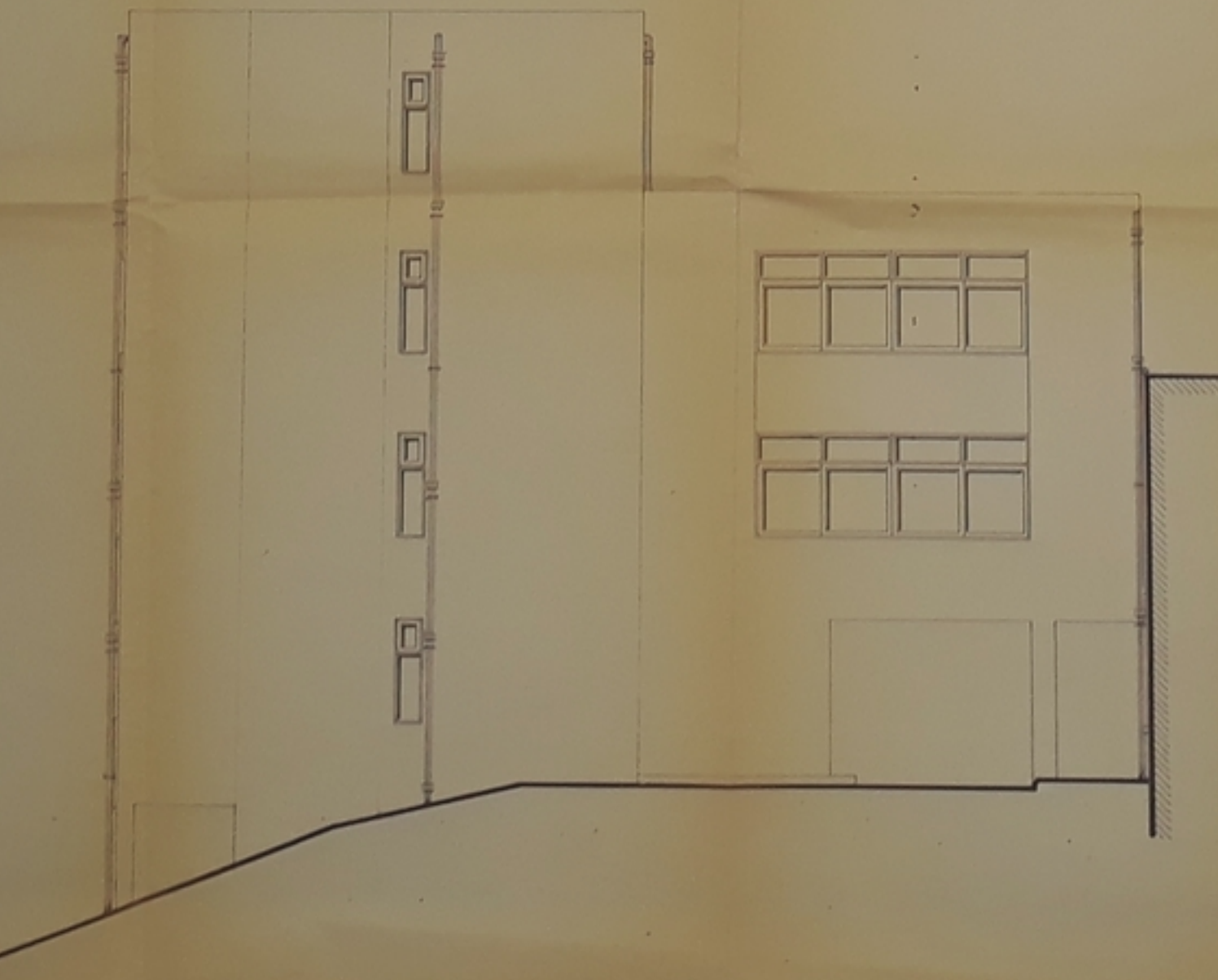
BIDEM

D.P.B. 31021

FACADE NORD-EST



FACADE SUD-EST



PB 005 / X9
- 2 -



SIEGE SIDEM (EXTENSION)

FACADE NORD-EST
FACADE SUD-EST

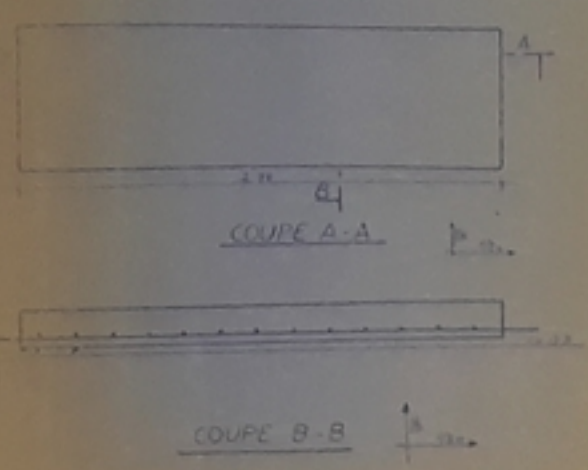
RPB 31026

RPB 160-7700
RPB 2500

SIDEM

RENDERING FAACADE NORD-EST ET SUD-EST
SIEGE SIDEM (EXTENSION) PARIS

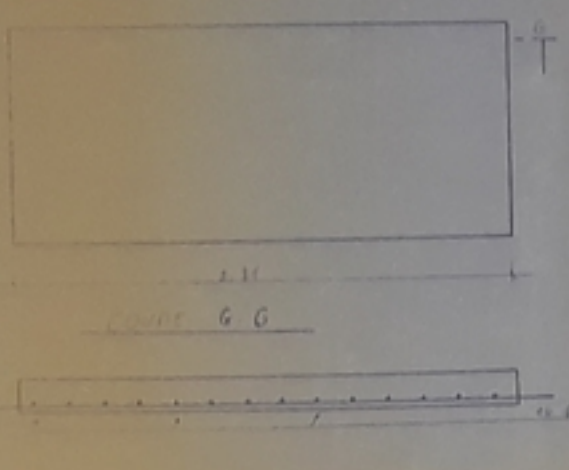
P1 (276.080)



COUPE A-A

P2

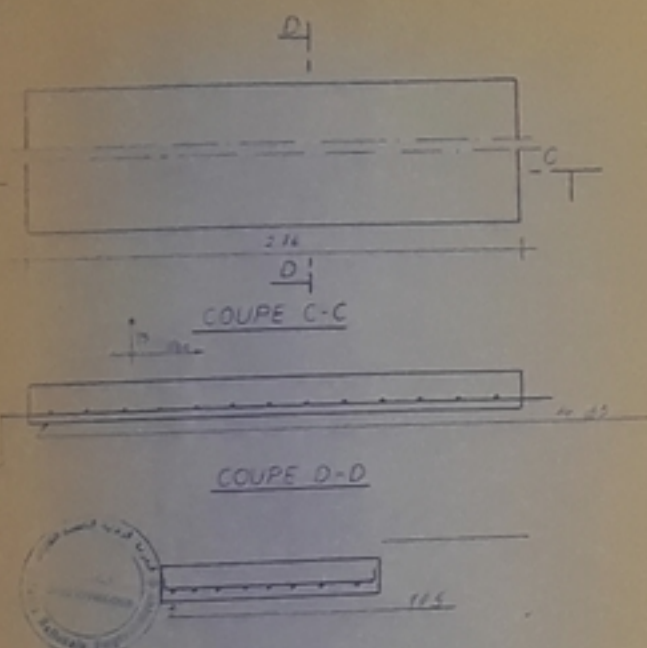
P2 (276.080)



COUPE G-G

COUPE B-B

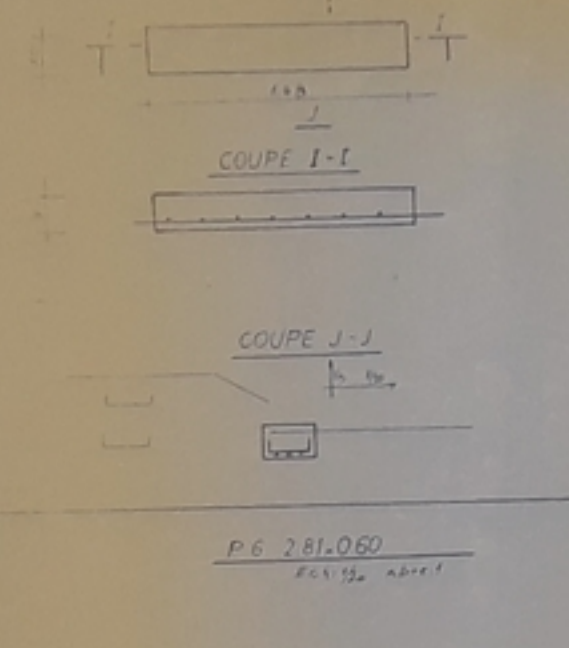
P3 (276.080)



COUPE C-C

P4

P4 (276.080)

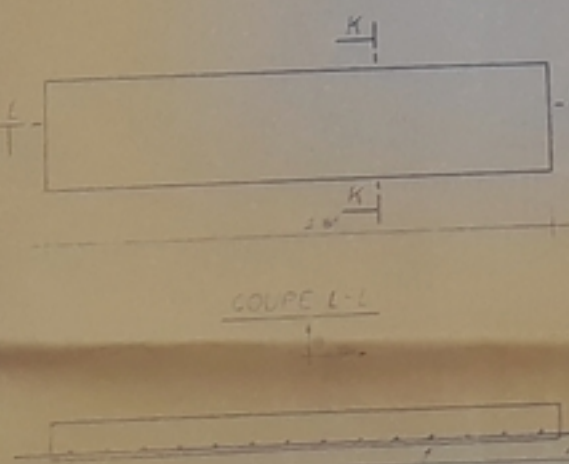


COUPE J-J

COUPE D-D

P5 (276.080)

P5 (276.080)

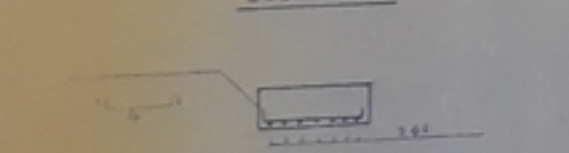


COUPE L-L

P6 (281.060)

ESTRIGE ABRI

P6 (281.060)

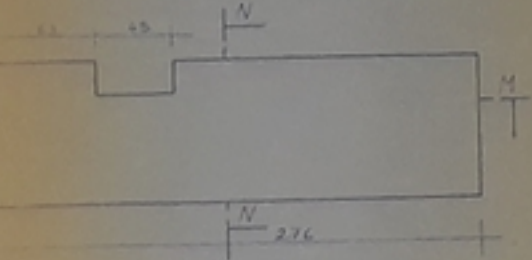


COUPE K-K

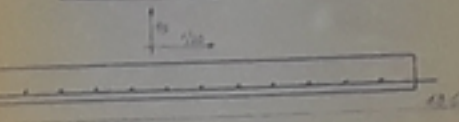
COUPE F-F

P7 (276.080)

P7 (276.080)



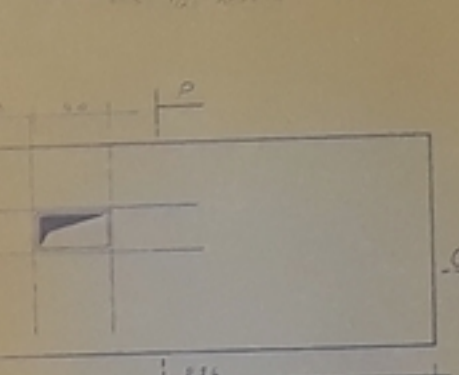
COUPE M-M



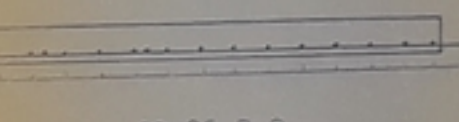
COUPE N-N



P8 (276.080)

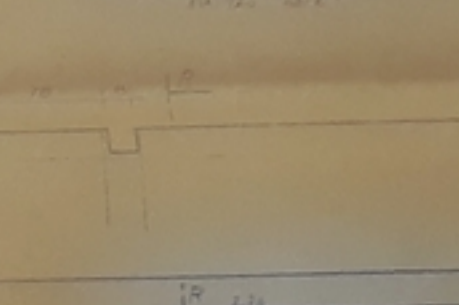


COUPE O-O



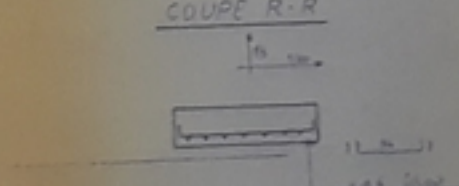
COUPE P-P

P9 (276.080)



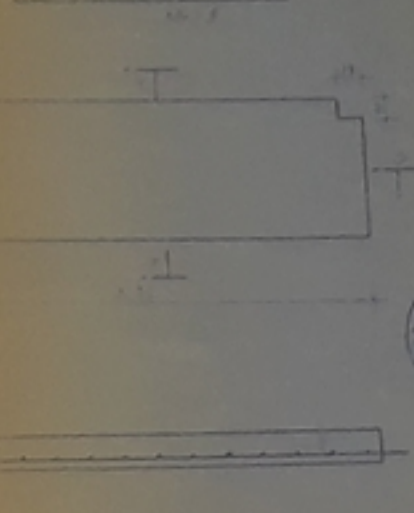
COUPE O-O

P10 (276.080)



COUPE R-R

P10 (276.080)



DETAIL TYPE 1 FERR

DETAIL TYPE 2 FERR

S.I.D.E.M
SIEGE SIDEM

PREDALLES
OFFRAGE - FERRAILLAGE

PIÈCE	PIÈCE	PIÈCE
E.N.P.		

PB 005/89
-3-

